

การวิเคราะห์หน่วยแรงในรางเชื่อมยาวโดยคำนึงถึงพฤติกรรมแบบปฏิสัมพันธ์กัน
ระหว่างสะพานและทางวิ่ง

Stress Analysis of Continuous Welded Rail Considering Track-bridge
Interaction Phenomena

นายเชาวฤทธิ์ หาสินปี	รหัส 54361251
นายณัฐุ์ณิ สำราญใจ	รหัส 54361275
นายสุรชาติ สีตระภูล	รหัส 54365020
นายปริญ ตันตราเจนนานนิช	รหัส 54364740

ปริญญาอินพนธ์นี้เป็นส่วนหนึ่งของการศึกษาหลักสูตรปริญญาวิศวกรรมศาสตรบัณฑิต
สาขาวิชาชีวกรรมโยธา ภาควิชาชีวกรรมโยธา
คณะชีวกรรมศาสตร์ มหาวิทยาลัยแม่ฟ้าหลวง
ปีการศึกษา 2557

ห้องสมุดคณะชีวกรรมศาสตร์
ที่รับ..... 30/01/2558
บาร์โค้ด..... 1690984X
หมายเหตุหักหั่นสีสี..... ผู้รับ.....
หมายเหตุหักหั่นสีสี..... ผู้รับ.....
หมายเหตุหักหั่นสีสี..... ผู้รับ.....

๒๕๕๘



ใบรับรองปริญญาบัณฑิต

ชื่อหัวข้อโครงการ

การวิเคราะห์หน่วยแรงในร่างเชื่อมยางโดยคำนึงถึงพฤติกรรมแบบปฏิสัมพันธ์กันระหว่างสะพานและทางวิ่ง

ผู้ดำเนินโครงการ

นายเชาวฤทธิ์ หาสินปี	รหัส 54361251
นายณัฐาภิ สำราญใจ	รหัส 54361275
นายสุรชาติ ลีตระกูล	รหัส 54365020
นายปวิณ ตันสาโรจน์วนิช	รหัส 54364740
ดร.ทรงศักดิ์ สุชาสุประดิษฐ์	
วิศวกรรมโยธา	
วิศวกรรมโยธา	
2557	

ที่ปรึกษาโครงการ
สาขาวิชา
ภาควิชา
ปีการศึกษา

คณะวิศวกรรมศาสตร์ มหาวิทยาลัยนเรศวร อนุมัติให้ปริญญาบัณฑิตบันนี้เป็นส่วนหนึ่ง
ของการศึกษาตามหลักสูตรวิศวกรรมศาสตรบัณฑิต วิศวกรรมโยธา

ที่ปรึกษาโครงการ

(ดร.ทรงศักดิ์ สุชาสุประดิษฐ์)

กรรมการ

(ดร.รัชฎา ปริชาตปรีชา)

กรรมการ

(ผู้ช่วยศาสตราจารย์ ดร. สสิกรรณ์ เหลืองวิชชเจริญ)

ชื่อหัวข้อโครงการ	การวิเคราะห์การวิเคราะห์หน่วยแรงในรางเชื่อมยาวโดยคำนึงถึงพฤติกรรมแบบปฏิสัมพันธ์กันระหว่างสะพานและทางวิ่ง		
ผู้ดำเนินโครงการ	นายเชาวฤทธิ์ หาสินปี	รหัส 54361251	
	นายณัฐุ์พิ สำราญใจ	รหัส 54361275	
	นายสุรชาติ ลีธรรมูล	รหัส 54365020	
	นายปีรุณ ตัณสาโรจน์วนิช	รหัส 54364740	
ที่ปรึกษาโครงการ	ดร.ทรงศักดิ์ สุชาสุประดิษฐ์		
สาขาวิชา	วิศวกรรมโยธา		
ภาควิชา	วิศวกรรมโยธา		
ปีการศึกษา	2557		

บทคัดย่อ

โครงการนี้เป็นการศึกษาเกี่ยวกับหน่วยแรงในรางเชื่อมยาวโดยคำนึงถึงพฤติกรรมแบบปฏิสัมพันธ์กันระหว่างสะพานและทางวิ่ง ปัจจัยที่ทำการศึกษาหน่วยแรงในรางรถไฟฟ้าเปลี่ยนแปลงไปประกอบไปด้วย อุณหภูมิ แรงเบรก และการแย่นตัวของสะพาน โดยสะพานกำหนดความยาวคงที่ที่ระยะ 60 เมตร จากผลการศึกษาพบว่า หน่วยแรงในรางรถไฟฟ้าขึ้นอยู่กับปัจจัยทุกด้านที่ศึกษา การวิเคราะห์ที่จะใช้โปรแกรม CSI SAP2000 ศึกษาความแตกต่างระหว่างการติดตั้งวัสดุยึดรถ (Fastener) แบบธรรมดากับการติดตั้งที่ยื่นให้รางเคลื่อนที่ได้ตามแนวยาวหรือที่เรียกว่า Zero Longitudinal Restraint (ZLR) ว่าจะสามารถลดหน่วยแรงที่เกิดขึ้นจากอุณหภูมิ แรงเบรก และการแย่นตัวของสะพานได้มากน้อยเพียงใด เน้นมาที่จะนำมาใช้งานหรือไม่ ตัวแปรที่จะใช้ในการศึกษารังนั่งจะคำนึงถึงรูปแบบของสะพานที่แตกต่างกัน มีการแบ่งช่วงความยาวของสะพานเป็น 1, 2 และ 3 ช่วงในระยะที่เท่ากันทั้งในสะพานช่วงเดียว(Simple Beam) และสะพานต่อเนื่อง(Continuous Beam)

Project title	(Stress Analysis of Continuous Welded Rail Considering Track-bridge Interaction Phenomena)			
Name	Mr. Chaowarith	Hasinpee	ID.	54361251
	Mr. Nuttawut	Sumranjai	ID.	54361275
	Mr. Surachart	Leetrakul	ID.	54365020
	Mr. Paween	Tunsarojwanich	ID.	54364740
Project advisor	Dr. Songsak Suthasupradit			
Major	Civil Engineering			
Department	Civil Engineering			
Academic year	2015			

Abstract

The purpose of this research was to study a longitudinal stress by considering interaction between bridge and runways. There are three factors to study variation of longitudinal stress consist of temperature, brake force, and bridge deflection which fixed the length in 60 meter. The study was found that longitudinal stress is depends on every factor that we have study. Moreover, the analysis will use CSI SAP2000 program to study distinction between normal fastener and Zero Longitudinal Restraint (ZLR) that how it can decrease a longitudinal stress which came from temperature, brake force, and bridge deflection and it appropriate to use or not. In addition, the variant that use to study is regard to the different form of the bridge that divide the length into three range with equal distance in both of simple beam and continuous beam

กิตติกรรมประกาศ

รายงานโครงการโปรแกรมวิเคราะห์โครงสร้างฉบับนี้สำเร็จได้ด้วยความอนุเคราะห์ของบุคคลหลายท่าน ซึ่งไม่อ้างจะนำมากล่าวได้ทั้งหมด ซึ่งผู้มีพระคุณท่านแรกที่ผู้ศึกษาได้รับพระคุณคือ ท่านอาจารย์ ดร.ทรงศักดิ์ สุชาสุประดิษฐ์ ผู้สอนที่ได้ให้ความรู้ คำแนะนำตรวจทานและแก้ไขข้อบกพร่องต่าง ๆ ด้วยความเอาใจใส่ทุกขั้นตอน เพื่อให้การเขียน รายงานโครงการ โปรแกรมวิเคราะห์โครงสร้างฉบับนี้สมบูรณ์ที่สุด ท่านที่สอง คือ ท่านอาจารย์ ดร.รัชฎา บริชาต ปรีชา และท่านที่สาม ท่านอาจารย์ ผู้ช่วยศาสตราจารย์ ดร.สสิกรรณ์ เหลืองวิชชเจริญ ที่ให้คำแนะนำตรวจทานและแก้ไขข้อบกพร่องต่าง ๆ เทคนิคการนำเสนอรายงานปากเปล่า ผู้ศึกษาได้รับพระคุณเป็นอย่าสูง ไว้ ณ โอกาสนี้

ขอขอบคุณคณะอาจารย์คณะวิศวกรรมศาสตร์สาขาวิศวกรรมโยธาฯ มหาวิทยาลัยเรศวร ที่ได้ฝึกสอน ได้คำแนะนำในการจัดทำรายงานโครงการโปรแกรมวิเคราะห์โครงสร้างฉบับนี้ที่ไม่ได้กล่าวนาม

คณะผู้จัดทำ

นายเชาวฤทธิ์ หาสินปี

นายณัฐวุฒิ สำราญใจ

นายสุรชาติ ลีธรรมูล

นายปริญ ตันสาโรจน์วนิช

สารบัญ

	หน้า
ใบรับรองปริญญาในพนธ์	ก
บทคัดย่อภาษาไทย	ข
บทคัดย่อภาษาอังกฤษ	ค
กิตติกรรมประกาศ.	ง
สารบัญ	จ
สารบัญตาราง	ช
สารบัญรูป	ซ
บทที่ 1 บทนำ	1
1.1 ความเป็นมาและความสำคัญของโครงการ	1
1.2 วัตถุประสงค์ของโครงการ	1
1.3 ประโยชน์ที่คาดว่าจะได้รับ	1
1.4 ขอบเขตการทำงาน.	2
1.5 ขั้นตอนการดำเนินงาน	3
1.6 แผนการดำเนินงาน	4
1.7 งบประมาณ	4
บทที่ 2 หลักการและทฤษฎี	5
2.1 โครงสร้างทางรถไฟ	5
2.2 โครงสร้างทางรถไฟ Ballast-track	6
2.3 การวิเคราะห์การโถ่ของของรางเชื่อมยาง	14
2.4 แบบจำลองการโถ่ของของทางรถไฟและปัจจัยที่มีผล	16
บทที่ 3 วิธีดำเนินโครงการ	21
3.1 ข้อมูลที่ใช้ในการวิเคราะห์โครงสร้างสะพานและทางเดินรถไฟ	21
3.2 ปัจจัยที่มีผลให้เกิดหน่วยแรงในทางรถไฟ	24
3.3 วิธีการเปลี่ยนแปลงวัสดุยึดรางแบบธรรมด้าให้เป็นวัสดุยึดรางมีข้อมูลให้เคลื่อนที่ได้ตามแนวยาง (Zero Longitudinal Restraint)	27
3.4 แบบจำลองโครงสร้างสะพานและทางเดินรถไฟ	28
3.5 รูปแบบของสะพานที่ใช้ในการวิเคราะห์ข้อมูล	30

สารบัญ (ต่อ)

	หน้า
บทที่ 4 ผลการทดลองและวิเคราะห์ผลการทดลอง	32
4.1 ผลการวิเคราะห์หน่วยแรงที่เกิดขึ้น กรณีไม่ติดตั้งวัสดุยึดร่างแบบปกติ	32
4.2 ผลการวิเคราะห์หน่วยแรงที่เกิดขึ้น กรณีติดตั้งวัสดุยึดร่างแบบ ZLR	38
บทที่ 5 สรุปผลการทดลองและข้อเสนอแนะ	45
5.1 สรุปผลการวิเคราะห์	45
5.2 ข้อเสนอแนะ	47
เอกสารอ้างอิง	48
ภาคผนวก ก	50
ภาคผนวก ข	82



สารบัญตาราง

ตารางที่	หน้า
1.6 แผนการดำเนินงาน	4
2.1 ตารางแสดงขนาดและคุณสมบัติร่าง (ตัวอย่างร่าง 80 A และ 100 A)	8
2.2 ตารางแสดงขนาด (Gradation) ของหินโดยทาง	14
3.1 อุณหภูมิที่เปลี่ยนแปลงจริง ณ ช่วงเวลาต่างๆ	25



สารบัญรูป

รูปที่	หน้า
2.1 หน้าตั้ดราง	6
2.2 วัสดุยึดร่างสำหรับหมอนน้ำ	9
2.3 สลักเกลี้ยงปัลอย	9
2.4 Elastic Rail spike	10
2.5 ขนาดของหมอนน้ำรดไฟไทย	12
2.6 การโถ่ของทางรดไฟ	15
2.7 นูมนองด้านบนของทางรดไฟ	16
2.8 นูมนองแนวตั้ง	16
2.9 ข้อมูลการทดสอบแรงบิดของหมุดยึดร่าง 4 ชนิด	17
2.10 การเสียรูปในแนวตั้งอันเนื่องมาจากแรงในแนวแกนที่กระทำบนคานที่มีฐานรากวิงเคลอร์ (Winkler foundation).	18
2.11 การต้านทานการเคลื่อนที่ตามแนวยาวของหินโดยทาง	18
2.12 การต้านทานการเคลื่อนที่ด้านข้างของหินโดยทาง	19
2.13 องค์ประกอบการต้านทานการเคลื่อนที่ด้านข้างของหินโดยทาง	19
2.14 อิทธิพลของแรงในแนวตั้งที่กระทำต่อการต้านทานการเคลื่อนที่ด้านข้างของหินโดยทาง	20
3.1 หน้าตั้ดสะพานแบบ Box Girder	21
3.2 หน้าตั้ดราง UIC 60	22
3.3 จุดรองรับยึดหมุน (Hinge Support)	23
3.4 จุดรองรับยึดหมุนเคลื่อนที่ (Roller Support)	24
3.5 แสดงแบบจำลองโครงสร้างสะพานความยาว 60 เมตร ที่อุณหภูมิปกติ	25
3.6 แสดงแบบจำลองโครงสร้างสะพานความยาว 60 เมตร เมื่ออุณหภูมิเปลี่ยนแปลงไป 30°C	25
3.7 แสดงแบบจำลองโครงสร้างสะพานความยาว 60 เมตร ที่สภาพปกติ	26
3.8 แสดงแบบจำลองโครงสร้างสะพานความยาว 60 เมตร เมื่อรับน้ำหนักจากการรดไฟ	26
3.9 แสดงภาพรวมของแบบจำลองโครงสร้างสะพานและทางรดไฟ	28
3.10 แสดงแบบขยายสะพานความยาว 60 เมตร	29
3.11 สะพานแบบคานช่วงเดียว	30
3.12 สะพานแบบคานช่วงเดียว 2 ช่วงความยาว	30
3.13 สะพานแบบคานต่อเนื่อง 2 ช่วงความยาว	30
3.14 สะพานแบบคานช่วงเดียว 3 ช่วงความยาว	30
3.15 สะพานแบบคานต่อเนื่อง 3 ช่วงความยาว	31

สารบัญรูป (ต่อ)

4.1 กราฟแสดงหน่วยแรงที่เกิดขึ้นเนื่องจากอุณหภูมิในคานช่วงเดียว	32
4.2 กราฟแสดงหน่วยแรงที่เกิดขึ้นเนื่องจากแรงเบรคในคานช่วงเดียว	33
4.3 หน่วยแรงที่เกิดขึ้นเนื่องจากการแอล์ตัวในคานช่วงเดียว	34
4.4 กราฟแสดงหน่วยแรงที่เกิดขึ้นเนื่องจากอุณหภูมิในคานต่อเนื่อง	34
4.5 กราฟแสดงผลรวมหน่วยแรงที่เกิดขึ้นเนื่องจากแรงเบรคในคานต่อเนื่อง	35
4.6 กราฟแสดงหน่วยแรงที่เกิดขึ้นเนื่องจากการแอล์ตัวในคานต่อเนื่อง	36
4.7 กราฟแสดงผลรวมหน่วยแรงที่เกิดจากอุณหภูมิ แรงเบรคและ การแอล์ตัว สะพานช่วงเดียว	36
4.8 กราฟแสดงผลรวมหน่วยแรงที่เกิดจากอุณหภูมิ แรงเบรคและ การแอล์ตัว สะพานต่อเนื่อง	37
4.9 กราฟแสดงหน่วยแรงที่เกิดขึ้นเนื่องจากอุณหภูมิในคานช่วงเดียว	38
4.10 กราฟแสดงหน่วยแรงที่เกิดขึ้นเนื่องจากแรงเบรคในคานช่วงเดียว	39
4.11 กราฟแสดงหน่วยแรงที่เกิดขึ้นเนื่องจากการแอล์ตัวในคานช่วงเดียว	40
4.12 กราฟแสดงหน่วยแรงที่เกิดขึ้นเนื่องจากอุณหภูมิในคานต่อเนื่อง	40
4.13 กราฟแสดงหน่วยแรงที่เกิดขึ้นเนื่องจากแรงเบรคในคานต่อเนื่อง	41
4.14 กราฟแสดงหน่วยแรงที่เกิดขึ้นเนื่องจากการแอล์ตัวในคานต่อเนื่อง	42
4.15 กราฟแสดงผลรวมหน่วยแรงที่เกิดจากอุณหภูมิ แรงเบรคและ การแอล์ตัว สะพานช่วงเดียว	42
4.16 กราฟแสดงผลรวมหน่วยแรงที่เกิดจากอุณหภูมิ แรงเบรคและ การแอล์ตัว สะพานต่อเนื่อง	43

บทที่ 1

บทนำ

1.1 ที่มาและความสำคัญของโครงการ

งานเชื่อมยางเป็นที่นิยมใช้มากกว่าร่างธรรมด้า เพราะจำนวนจุดต่อของรั่วมีน้อย ทำให้รถไฟฟ้าสามารถวิ่งได้เรียบขึ้นและการกระแทกน้อยลง แต่เมื่อนำมาเชื่อมต่อกันมากขึ้น จะเกิดการยึดหยัดตัวสูง มีผลให้เกิดการตุ้ยในร่าง (Bucking) เมื่อจากหน่วยแรงมีมากเกินไป ปัจจัยที่มีผลให้เกิดหน่วยแรงในร่างเมื่อศึกษาสามารถแบ่งได้เป็น อุณหภูมิ แรงเบรคและน้ำหนักของรถไฟ ในปัจจุบันได้มีการออกแบบวัสดุยึดร่างแบบยอมให้เคลื่อนที่ตามยาวหรือ Zero Longitudinal Restraint (ZLR) เป็นระบบที่สามารถลดหน่วยแรงในร่าง โดยจะให้วัสดุยึดร่างยอมให้ตัวร่างเคลื่อนที่ไปตามแนวยาว ซึ่งในปัจจุบันเริ่มมีการประยุกต์ใช้วัสดุยึดร่างแบบ ZLR เพื่อช่วยในการลดหน่วยแรงที่เกิดขึ้นในร่าง ในการศึกษาครั้งนี้จะศึกษาถึงผลที่ติดตั้ง ZLR ว่ามีประสิทธิภาพในการลดหน่วยแรงได้มากน้อยเพียงใด

1.2 วัตถุประสงค์

1. ศึกษาและเปรียบเทียบพฤติกรรมของหน่วยแรงในร่างรถไฟที่เปลี่ยนแปลงไปเมื่อจากน้ำหนักของร่าง
2. ศึกษาและเปรียบเทียบพฤติกรรมของหน่วยแรงที่เกิดขึ้นในร่างรถไฟจากการติดตั้ง ZLR และไม่ติดตั้ง ZLR
3. ศึกษาและเปรียบเทียบพฤติกรรมของหน่วยแรงในร่างรถไฟที่เปลี่ยนแปลงไป เมื่อทำการติดตั้ง ZLR และไม่ติดตั้ง ZLR

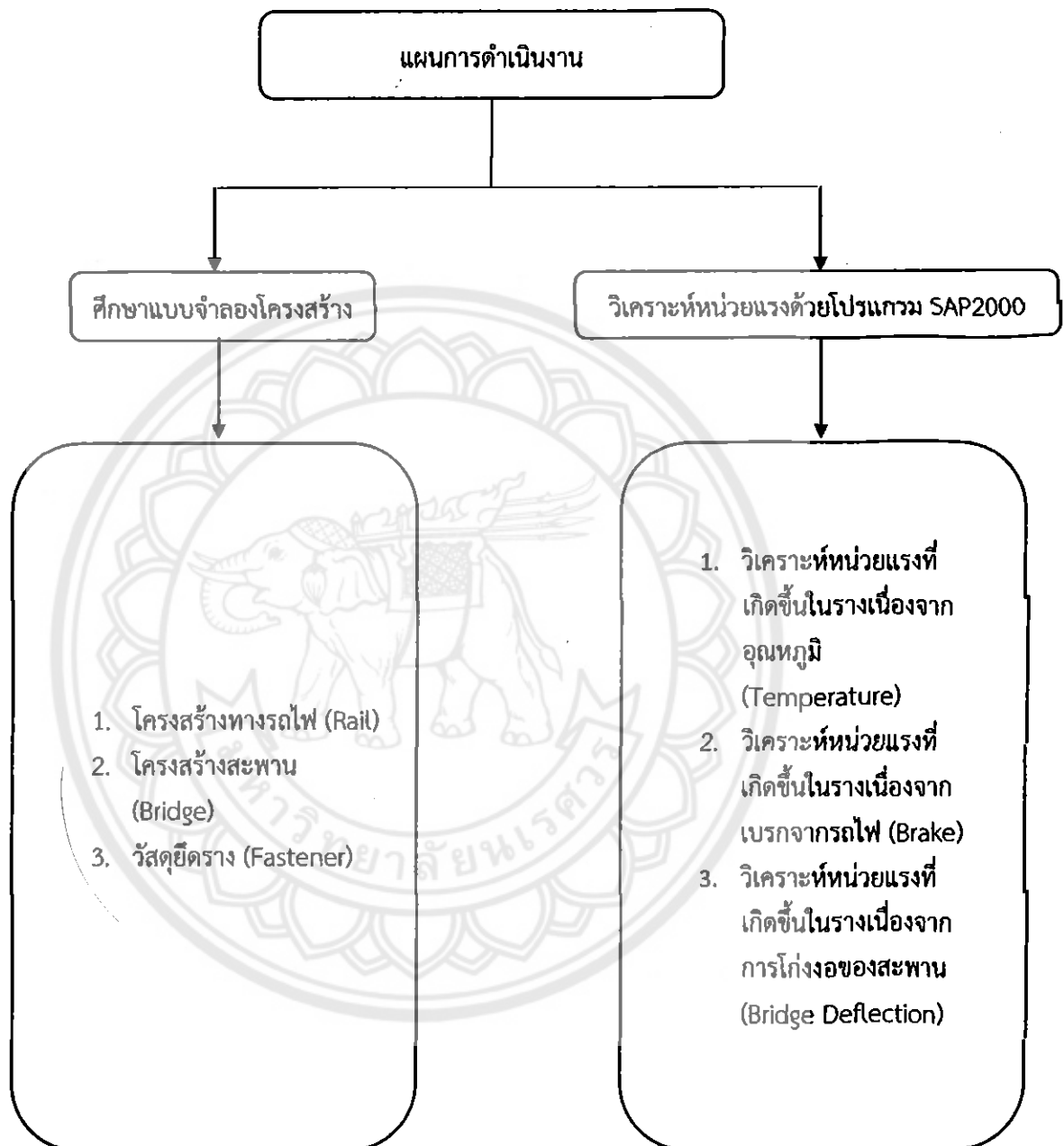
1.3 ประโยชน์ที่คาดว่าจะได้รับ

- 2.1 ทราบพฤติกรรมของหน่วยแรงในร่างรถไฟที่เปลี่ยนแปลงไปเมื่อจาก อุณหภูมิ แรงเบรค และการแอนต์วของสะพาน
- 2.2 ทราบถึงพฤติกรรมของหน่วยแรงในร่างรถไฟที่เปลี่ยนแปลงไป เมื่อทำการติดตั้ง ZLR และไม่ติดตั้ง ZLR

1.4 ขอบเขตของงานวิจัย

- ลักษณะของสะพานที่ใช้ในการสร้างแบบจำลอง (Model)
 - สะพานแบบช่วงเดียว (Simple Beam)
 - ✓ สะพาน 1 ช่วง ยาวช่วงละ 60 เมตร
 - ✓ สะพาน 2 ช่วง ยาวช่วงละ 30 เมตร
 - ✓ สะพาน 3 ช่วง ยาวช่วงละ 20 เมตร
 - สะพานแบบต่อเนื่อง (Continuous Beam)
 - ✓ สะพาน 1 ช่วง ยาวช่วงละ 60 เมตร
 - ✓ สะพาน 2 ช่วง ยาวช่วงละ 30 เมตร
 - ✓ สะพาน 3 ช่วง ยาวช่วงละ 20 เมตร
- อุณหภูมิ 30° องศาเซลเซียส [1]
- แรงเบรก +20000 นิวตัน/เมตร [1]
- ความยาวรวม 260 เมตร
- ความคื้นดึงวิกฤติที่ทำให้เกิดการอักขัด (ultimate tensile strength) 92×10^6 นิวตัน/ตารางเมตร
- ความคื้นอัดวิกฤติที่ทำให้เกิดการดึง (ultimate compressive strength) -72×10^6 นิวตัน/ตารางเมตร
- วัสดุยึดราง แบบปกติและ Zero Longitudinal Restraint (ZLR)
- รางรถไฟ UIC60

1.5 ขั้นตอนการดำเนินงาน



1.6 แผนการดำเนินงาน

กิจกรรม	เดือน				
	มกราคม	มีนาคม	เมษายน	พฤษภาคม	มิถุนายน
	สัปดาห์ที่	สัปดาห์ที่	สัปดาห์ที่	สัปดาห์ที่	สัปดาห์ที่
	1 2 3 4	1 2 3 4	1 2 3 4	1 2 3 4	1 2 3 4
การนำเสนองาน	→				
ศึกษารูปแบบโปรแกรม	→				
เลือกพื้นที่		→			
สำรวจพื้นที่และโครงสร้างสะพาน			→		
วิเคราะห์โครงสร้างด้วยโปรแกรม			→		
วิเคราะห์ผล				→	
เขียนโครงการ					→

1.7 งบประมาณ

- ค่าวัสดุสำนักงาน 500 บาท
- ค่าถ่ายเอกสาร 500 บาท

บทที่ 2

หลักการและทฤษฎี

2.1 โครงสร้างทางรถไฟ

การออกแบบโครงสร้างทางรถไฟ เพื่อรองรับน้ำหนักจากล้อรถไฟนั้น ได้มีการออกแบบและพัฒนามาหลายรูปแบบจนถึงปัจจุบัน เป็นที่ยอมรับที่ใช้งานมี 2 รูปแบบ คือ

1. โครงสร้างทางแบบมีหินโรยทาง (Ballast Track)
2. โครงสร้างทางแบบปูไม่ได้ใช้หินโรยทาง Slab – Track (Ballastless Track)

โครงสร้างทางแบบมีหินโรยทาง (Ballast Track) เป็นที่นิยมแพร่หลาย (Conventional Track) เนื่องจากค่าก่อสร้างไม่สูงเป็นที่รับได้ในทางเทคนิค และเป็นโครงสร้างที่สามารถใช้กับรถไฟฟาร์มด้าไปจนถึงรถไฟความเร็วสูง เช่น รถไฟความเร็วสูง (TGV) ของการรถไฟฝรั่งเศส เป็นต้น โครงสร้างทางแบบนี้จะประกอบไปด้วยราง เครื่องยืดเห็นี่ยว รวม หมอนรองราง และหินโรยทาง ประกอบร่วมเป็นโครงสร้างทางรถไฟเพื่อใช้งานรองรับน้ำหนัก จากล้อรถไฟได้ดีด้วยคุณสมบัติ ความยืดหยุ่น เหมาะสมกับการรับน้ำหนักกระแทก (Impact) จากล้อเหล็กทางรถไฟได้ดีกว่ารูปแบบอื่น ๆ เท่าที่เคยใช้มาในอดีตตลอดจนการบำรุงรักษาทาง ไม่ยุ่งยาก

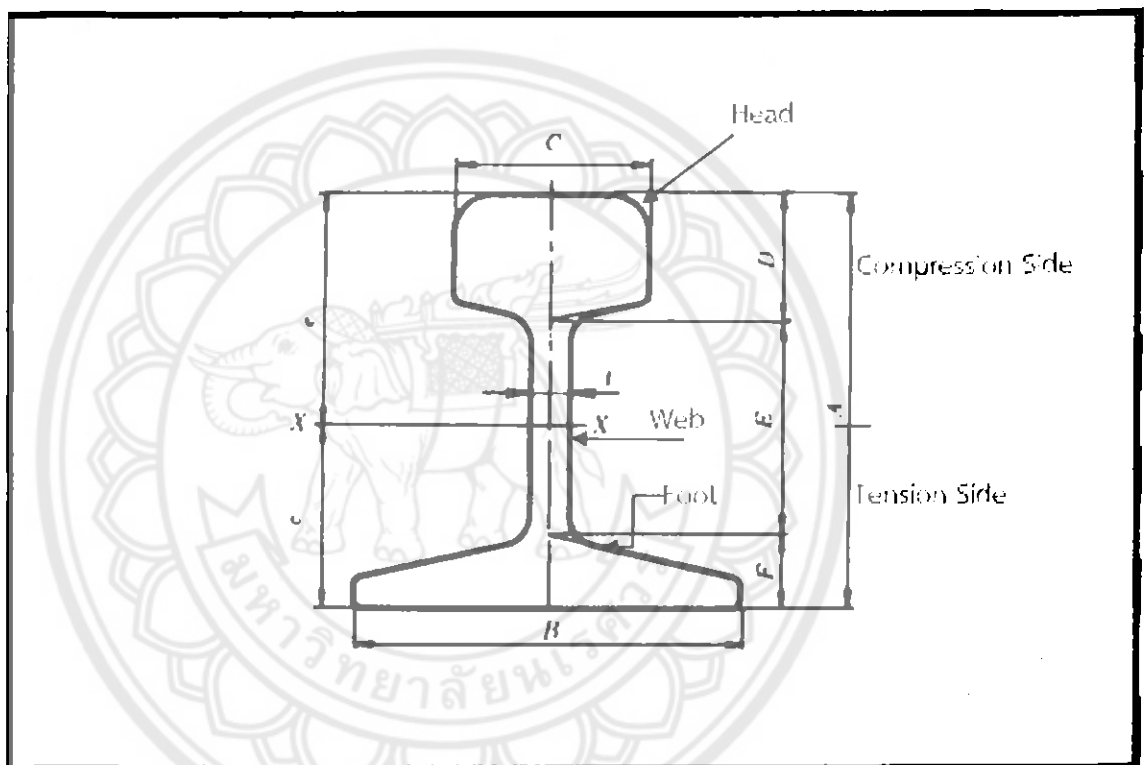
เนื่องจากโครงสร้างทางรถไฟแบบปูไม่ได้ใช้หินโรยทาง (Ballastless Track) จะมี รูปแบบเทคนิคอีกด้านอื่น โดยออกแบบให้รางวางอยู่บนคอนกรีต มีแผ่นยางรองรับในแต่ละ ส่วนเพื่อช่วยดูดซับออกแบบโครงสร้างเป็นรูปแบบการใช้งานแบบถาวร นิยมออกแบบใช้กับ โครงสร้างทางที่เศษ สำหรับรถไฟความเร็วสูง หรือโครงสร้างทางรถไฟที่ไม่ต้องการให้มีงาน สำหรับดูดและซ้อมบำรุงทางมาก เมื่อนั่งลงกับโครงสร้างแบบมีหินโรยทาง (Ballast Track) รวมถึงเส้นรถไฟที่มีขบวนหนาแน่น มีช่วงเวลาสำหรับการบำรุงรักษาทางน้อย รวมถึง เส้นทางที่คับแคบไม่สะดวกต่องานบำรุงรักษาทาง เช่นรถไฟฟ้าใต้ดิน รถไฟฟลังแม่เหล็ก หรือ รถไฟฟ้าความเร็วสูง เป็นต้น แต่ค่าก่อสร้างเริ่มแรกสูง เมื่อเปรียบเทียบกับโครงสร้างทางแบบมี หินโรยทาง (Ballast Track) หาก แต่ให้ความมั่นใจ ความปลอดภัยในการเดินรถสูงกว่า เนื่องจากวัสดุต่าง ๆ ที่นำมาใช้งานจะคงทนถาวร มีอายุการใช้งานยาวนาน

ในประเทศไทย มีทางรถไฟแบบปูไม่ได้ใช้หินโรยทาง (Ballastless Track) ใช้งานอยู่ หลายเส้นทาง

2.2 โครงสร้างทางรถไฟ Ballast Track จะประกอบไปด้วยวัสดุทางที่สำคัญ คือ

2.1 ราง (Rail)

รูปแบบของรางรถไฟ จะมีหน้าตัดคล้ายกับเหล็กรูปพรรณตัวไอ (I) เป็นรูปแบบที่ได้รับการยอมรับการใช้งานด้านเทคนิคและเป็นหน้าตัดรางที่ประหยัด (Economic) ให้ความแข็งแรง (Stiffness) และมีความคงทนต่อการใช้งาน (Durability) รูปปั้นรีไฟล์ (Profile) ของรางจะประกอบด้วยส่วนของหัวราง (Head) เอวราง (Web) และฐานราง (Foot) ดังรูปที่ 2.1



รูปที่ 2.1 หน้าตัดราง

มาตรฐานขนาดราง จะมีมาตรฐานที่แตกต่างกัน ตามข้อกำหนดการใช้งานของการรถไฟ ในแต่ละประเทศ เช่น

UIC. มาตรฐานราง International Union of Railway

BS. มาตรฐานรางของการรถไฟอังกฤษ

SNCF. มาตรฐานรางของการรถไฟฝรั่งเศส

JNR. มาตรฐานรางของการรถไฟญี่ปุ่น

AREA. มาตรฐานรางของการรถไฟเอมริการา

และ SRT, RSR, รพท. มาตรฐานรางของการรถไฟแห่งประเทศไทย

2.1.1 ขนาดของราง ขนาดรางที่ใช้งานจะกำหนดเป็นน้ำหนักของรางต่อความยาวราง เช่น น้ำหนักรางเป็นกิโลกรัมต่อมเมตรหรือน้ำหนักเป็นปอนด์ต่อลูก ราง

ขนาด 100 A ปอนด์ คือหน้าตั้ดรางตามมาตรฐาน BS. มีน้ำหนัก 100 ปอนด์ต่อตารางเมตร หรือ แรงกด 50 นิวตัน คือหน้าตั้ดรางตามมาตรฐานญี่ปุ่น (JIS) มีน้ำหนัก 50 กิโลกรัมต่อ เมตร เป็นต้น

ขนาดน้ำหนักของหน้าตั้ดรางที่แตกต่างกัน จะให้คุณสมบัติความแข็งแรงรับ น้ำหนักได้ไม่เท่ากันจำเป็นต้องออกแบบคำนวณท่าน้ำดของรางที่เหมาะสมเพื่อนำมาใช้ งานได้เต็มที่มาตรฐานกำหนด

การรถไฟไทยกำหนดขนาดรางใช้กับทางประปาธนรับน้ำหนักเพลา 20 ตัน ความเร็ว 120 กิโลเมตรต่อชั่วโมง ขนาด 100 ปอนด์ A คือ ราง 100 ปอนด์ A ตามโปร ไฟล์ของ BS. คุณสมบัติของเนื้อวัสดุรางตามมาตรฐาน “UCI 860 Grade 900 A”

คุณสมบัติกำลังของวัสดุราง อยู่ในชั้นเหล็กกล้า โดยที่ว่าไปคุณสมบัติของรางที่ใช้ งานจะมีค่าความเค้นดึงวิกฤติที่ทำให้เกิดการฉีกขาด (Ultimate Tensile Strength) ระหว่าง 7,000 – 13,000 กิโลกรัมต่อตารางเซนติเมตร

วัสดุรางจะกำหนดเกรด เป็นชนิด A หรือ B เช่น

ราง 100 A แรงชนิดนี้ค่าความเค้นดึง (Tensile Strength) จะขึ้นอยู่กับค่า ส่วนผสมของ คาร์บอน (C) ในเนื้อโลหะเป็นตัวแปรหลัก ราง ชนิด A จะมีคุณสมบัติเชื่อมต่อ กันได้ง่าย因为ส่วนหัวเป็นเชิง แรงเชื่อมยาน

ราง 100 B แรงชนิดนี้ค่าความเค้นดึง จะขึ้นอยู่กับค่าส่วนผสมของ แมงกานีส (Mn) ในเนื้อโลหะเป็นตัวแปรหลัก รางชนิด B จะมี คุณสมบัติเชื่อมยากไปกว่าแรงน้ำหน้าใช้งานเชื่อมต่อ กัน แต่ให้ความ เหนียวแข็ง (Toughness) สูงกว่ารางชนิด A เนื่องจากหัวรับใช้ เป็นรางสั้น ชนิดที่มีหัวต่อ แรงที่ใช้งานจะมีค่าความแข็ง (Hardness) สูงกว่า 260 HB ซึ่งนำไป

ตารางที่ 2.1 ตารางแสดงขนาดและคุณสมบัติร่าง(ตัวอย่างร่าง 80 A และ 100 A)

มาตรฐานอังกฤษ "A" ออกแบบหน้าตัดร่าง		
	80 A	100 A
ความสูงของร่าง A (มิลลิเมตร)	133.35	152.40
ความกว้างฐานร่าง B (มิลลิเมตร)	117.47	133.35
ความกว้างส่วนของหัวร่าง (มิลลิเมตร)	63.50	96.85
ความหนาของเอวร่างที่น้อยที่สุด D	13.10	15.08
พื้นที่หน้าตัดหัวร่าง (ตารางมิลลิเมตร)	2270	2856
พื้นที่หน้าตัดเอวร่าง (ตารางมิลลิเมตร)	1007	1350
พื้นที่หน้าตัดฐานร่าง (ตารางมิลลิเมตร)	1789	2187
พื้นที่หน้าตัดรวม (ตารางมิลลิเมตร)	5065	6393
หน้าตัดน้ำหนัก กิโลกรัมต่อมเมตร	39.76	50.18
โนเมนต์ความเฉื่อย xx เช่นติเมตร ⁴	1205	1961
โนเมนต์ความเฉื่อย l yy เช่นติเมตร ⁴	220	340
ระยะเส้นแกนกลางจากหัวร่าง บนสุด (มิลลิเมตร)	67.89	77.69
Section Modulus Z xx ลูกบาศก์เซนติเมตร	117	252
Section Modulus Z yy ลูกบาศก์เซนติเมตร	37	51

**2.1.2 การผลิตร่าง การผลิตร่างใน
ปัจจุบันส่วนใหญ่ผลิตโดยวิธี เทโอดเพนชาร์ท
Openhearth จากกรรมวิธีอื่น ๆ อีกหลายวิธี ดังเช่น**

Openhearth	=	OH
Openhearth, Basic	=	OB
Bessemer, Acid	=	BA
Bessemer, Basic	=	BB
Electric	=	E
Oxygen Bloo	=	O

2.1.3 การรีดร่าง (Rolling of Rails) กรรมวิธีในการผลิตร่าง จะมีการจัดทำ Casting Process เหล็กที่หลอมละลายแล้วจะถูกเทจากเทาหลอม (Furnace) มาที่ Ladle หนึ่งจะหนักประมาณ 60-70 ตัน และสามารถเทลงใน Ingot ได้ 12 – 17 Ingots ภายหลังที่ปล่อยไว้ให้เย็นประมาณ 30 นาที แล้วจึงนำแบบออกน้ำ ingot ที่ได้ เป็น วัสดุดิบ (แท่งเหล็ก) เพื่อนำไปเข้าขบวนการรีดเหล็ก (Rail Rolling) ตามขั้นตอนต่าง ๆ ให้ได้ขนาดหน้าตัดของร่างที่ต้องการ

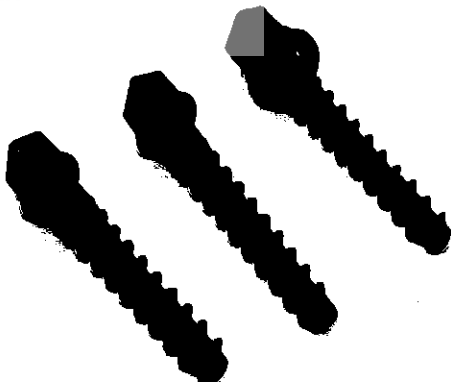
2.2 วัสดุยึดร่าง (Fastener)

วัสดุยึดร่างถือเป็นวัสดุทางที่ใช้สำหรับตรึงร่างให้ติดกับหมอนรองร่างเพื่อให้ได้ ระยะห่างระหว่างร่างได้ขนาดเท่ากัน (Gauge) ตามที่ต้องการ

2.2.1 วัสดุยึดร่างสำหรับหมอนไม้ วัสดุยึดร่างสำหรับหมอนไม้ที่นิยมจะ เป็น ตะปูร่างสลักเกลียวปัลอย ด้วยมีราคาไม่แพง หรือเรียกว่า แบบยึดติด เครื่องยึด เหนี่ยวแบบนี้จะช่วยให้ร่างไม่พลิกตัวหรือฐานร่างขยับตัว แม้มีแรงอัดยื้อ (Spring) บน ฐานร่างได้น้อยหรือไม่มีเลยจึงไม่สามารถป้องกันร่างเคลื่อนตัวในแนวยาว (ร่างเดิน) จาก การขยายตัวของร่างอันเนื่องจากการเปลี่ยนแปลงอุณหภูมิ หรือการเคลื่อนตัวของร่างอัน เนื่องจากการเบรกของล้อ เป็นต้น



รูปที่ 2.2 วัสดุยึดร่างสำหรับหมอนไม้



รูปที่ 2.3 สลักเกลียวปัลอย

วัสดุยึดรางชนิดหนึ่ง หรือเรียกว่า สปริงไทร์ (Spring Types) ใช้สำหรับหมอนไม้ วัสดุยึดรางแบบนี้นิยมกันในให้รางพลิกตัว หรือฐานรางขับตัว (รางพอก) และป้องกันรางเดินได้อีกด้วย ซึ่งจะเหมาะสมที่จะใช้กับรางเชื่อมยาวด้วยมีรูปแบบสปริงให้เกิดแรงอัดที่ฐานรางป้องกันไม้ให้รางขับตัว หรือเคลื่อนตัวโดยง่าย หรือเรียกว่า Elastic Rail Spike มีหลายรูปแบบที่บริษัทต่าง ๆ ผลิตออกมานา เพื่อใช้งานทางรถไฟฟ้า



รูปที่ 2.4 Elastic Rail spike

2.2.2 วัสดุยึดรางสำหรับหมอนคอนกรีต วัสดุยึดรางสำหรับหมอนคอนกรีตจะออกแบบเป็นแบบสปริง เพื่อให้มีคุณสมบัติครอบคลุมในการยึดฐานรางและป้องกันรางเดินเนื่องจากหมอนคอนกรีตมีคุณสมบัติที่เหมาะสมใช้กับรางเชื่อมยาว เครื่องยืดเหนี่ย瓦ที่ใช้จึงจำเป็นใช้แบบตัวยึดแบบสปริง (Spring Clip) ปัจจุบันมีหลายบริษัทผลิตชิ้นส่วนเพื่อใช้งานหลายรูปแบบ

คุณสมบัติที่เหมาะสมทางเทคนิคของเครื่องยืดเหนี่ยวราง

- 1) มีคุณสมบัติรักษาระยะนาคทาง (Gauge) ได้ดี
- 2) ให้แรงอัดฐานรางได้ดี ตลอดการใช้งานการเดินรถ
- 3) มีคุณสมบัติรับแรงสั่นสะเทือนได้ดี (Vibration) ไม่เกิดการสั่นสะท้านตลอดอายุการใช้งาน
- 4) มีการคงรูปได้ดี ไม่มีผลกระทบต่องานบำรุงรักษาทาง
- 5) มีแรงอัดสูงเพียงพอที่ต่อต้านการเดินของรางได้ดี
- 6) ควรจะเป็นรูปแบบเมื่อติดตั้งแล้วคงอยู่ได้ถาวรไม่หลุดหรือคลายตัวได้ง่าย (Fit and Forget)
- 7) ควรมีคุณสมบัติ เมื่อถอดออกมานแล้ว สามารถนำกลับมาใช้งานใหม่ได้โดยไม่เสื่อมเดิม
- 8) ควรมีรูปแบบน้อยชิ้น เพื่อง่ายต่อการติดตั้งและบำรุงรักษา
- 9) ควรมีลักษณะป้องกันการขโมยได้ดี

- 10) ควรเป็นชนิดที่นิยมใช้งานโดยทั่วไปเพื่อสะดวกต่อการรักษา และ การสำรองอะไหล่ในอนาคต
- 11) ควรมีราคาถูก และมีอายุการใช้งานยาวนาน เช่นเดียวกับอายุการใช้งานเหมือนคอนกรีต

2.3 ajanrongrang (Base Plate)

ajanrongrang เป็นวัสดุที่ใช้วางใต้รางกับหมอนไม้ เพื่อช่วยดูดซับกระเจาแรงจากฐานรางลงผิวนมอนไม้ให้น้อยลง ช่วยให้หมอนไม้มีอายุการใช้งานได้ยาวนานขึ้น โดยเฉพาะหากใช้หมอนไม้ชนิดแข็งปานกลาง สำหรับในทางโค้งมีความจำเป็นต้องติดตั้ง janrongrang ทุกท่อนหมอน เนื่องจากในทางโค้งจะเกิดแรงเหวี่ยงด้านข้างของตัวรถสูง มีผลให้เนื้อไม้เสียหายได้มากกว่าในส่วนของทางตรง janrongrang มีหลายรูปแบบขึ้นอยู่กับความเหมาะสมและมีช่องสำหรับจำนวนของตะปูร่างที่จะใช้งาน janrongrang ที่ใช้กับทางโค้ง จะใช้จำนวนตะปูร่างมากกว่าทางตรง ในทางตรงทั่วไปจะใช้ตะปูร่าง 2 -3 ตัวต่อหนึ่งฐานรางแต่สำหรับในทางโค้งจะใช้ตะปูร่างมากถึง 4 ตัว ต่อฐานราง เป็นต้น

2.4 หมอนรองราง

หมอนรองรางถือเป็นวัสดุที่ใช้งานรองรับน้ำหนักจากฐานหรือ janrongrang ลงสู่ผิวน้ำหนักหมอนเพื่อช่วยกระจายแรงผ่านหมอน ลงไปยังชั้นพื้นroyทาง ปัจจุบันหมอนรองรางมีใช้งานอยู่ 3 ชนิด คือ

- 1) หมอนไม้ (Timber Sleeper)
 - 2) หมอนคอนกรีต (Concrete Sleeper)
 - 3) หมอนเหล็ก (Steel Sleeper)
- หมอนไม้ (Timber Sleeper) ไม้ที่นำมาใช้เป็นหมอนทาง จะกำหนดเป็นไม้เนื้อแข็ง เพื่อให้ความแข็งแรง อายุการใช้งานได้นาน แต่หากเป็นไม้เนื้อแข็งปานกลางแล้วจะกำหนดให้อบก้น้ำยา (Treatment) เพื่อให้เนื้อไม้มีความคงทน อายุการใช้งานได้ยาวขึ้น

ข้อดีของการใช้หมอนไม้

- 1) ราคาไม่แพง (ในบางประเทศ) จ่ายต่อการผลิต
- 2) ช่วยดูดซับ (Absorbs) แรงกระแทก (Impact) ได้ดี
- 3) ง่ายต่อการขนส่งและบรรทุก
- 4) ง่ายต่อการซ่อมบำรุงในการวางและปรับแก้ระยะห่างของรางและระยะหมอนได้ง่าย
- 5) สามารถใช้งานร่วมกับพื้นroyทางได้ดี

6) สามารถใช้เป็นไม้ทอนบนสะพานได้

7) เป็นอุปกรณ์ที่มีความเสี่ยงต่ำ

ข้อเสียของหมอนไม้

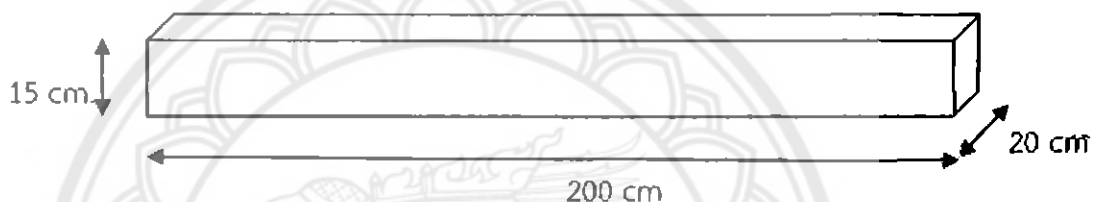
1) อายุใช้งานไม่ยาวนาน เสื่อมสภาพตามอากาศ

2) เมื่อเสื่อมสภาพ เช่น หมอนยุบ หรือแตก ยากต่อการบำรุงรักษา สภาพทางให้ดีได้慢่อนเดิม

3) ติดไฟได้ง่าย

4) หมอนไม้ที่ใช้กับทางรถไฟไทย เป็นหมอนไม้เนื้อแข็ง ขนาดความกว้าง

20 เซนติเมตร หนา 15 เซนติเมตร



รูปที่ 2.5 ขนาดของหมอนไม้รัฐไฟไทย

- หมอนคอนกรีต (Concrete Sleeper) หมอนคอนกรีตยังเป็นที่นิยมใช้กันอย่างแพร่หลายด้วยปัญหาไม่มีขาดแคลน เช่น ในประเทศไทย รัฐบาลได้กำหนดนโยบายปิดป่า จำเป็นต้องจัดทำหมอนไม้จากต่างประเทศ ทำให้มีราคาแพง เพราะคุณภาพไม่ได้พอ เมื่อเทคโนโลยีคอนกรีตพัฒนาขึ้นมาก ทำให้สามารถออกแบบและผลิตหมอนคอนกรีตมาใช้งานทดแทน ค่าใช้จ่ายโดยรวมจะไม่แพง เมื่อเปรียบเทียบกับราคามหอนไม้ในปัจจุบัน หมอนคอนกรีตที่ใช้งานมี 2 แบบคือ แบบคอนกรีตอัดแรง (Prestress Concrete) และแบบคอนกรีตรับแรงดึง (Post Tension Concrete) ตามความต้องการใช้งานในแต่ละประเทศ

ข้อดีของหมอนคอนกรีต

1) มีความแข็งแรงสูง น้ำหนักของหมอนมีส่วนช่วยต่อต้านการเคลื่อนตัวของรางเชื่อมยาวได้ดี

2) อุปกรณ์เครื่องยืดเหนี่ยวนหมอนคอนกรีตมีคุณภาพสูง โดยกำหนดเลือกใช้แบบสปริง

3) สามารถเป็นอุปกรณ์ป้องกันกระแสไฟฟ้าได้ดี

4) มีอายุการใช้งานยาวนานโดยทั่วไปกำหนดไว้ 50 ปี

5) สามารถผลิตได้ครั้งละจำนวนมาก ๆ

ข้อสืบของหมอนคอนกรีต

- 1) การขนส่งและการบรรทุกยุ่งยากกว่าหมอนอิฐ เนื่องจากหมอนมี น้ำหนัก
มากต้องใช้เครื่องมือ เครื่องจักรกลช่วย
- 2) การนำรุ่งรักษาก่อ การอัดหินต้องใช้เครื่องมือกลหนัก เช่น อัดหิน เป็น
ต้น
- 3) หมอนจะแตกชำรุดมาก หากเกิดเหตุรถกร่าง และการซ่อมเปลี่ยน
หมอนใหม่ยากกว่าหมอนอิฐ

หมอนคอนกรีตที่ใช้กับการรถไฟไทย เป็นหมอนคอนกรีตแบบคอนกรีตอัดแรง (Prestress Concrete) มีขนาดความกว้างประมาณ 25 เซนติเมตร หนาประมาณ 22 เซนติเมตร ความยาว 200 เซนติเมตร

2.5 หินroyทาง (Ballast)

หินroyทางที่ใช้จะเป็นหินย้อยขนาดใหญ่จากโรงไม่ใช้หินประเททินปูน (Lime Stone) หรือหินแกรนิต (Granite) สำหรับหมอนคอนกรีตแล้วนิยมใช้หินแกรนิตเป็นหินroyทาง เนื่องจากมีความแข็งแกร่ง ไม่ถูกย่อหย่อนเสียหายจากแรงอัดทับของหมอนคอนกรีตที่มีกำลังสูงได้กว่าหินปูน ขนาดมวลรวมคละของหินroyทางจะมีขนาดใหญ่คือตั้งแต่ 50 มิลลิเมตร 25 มิลลิเมตร ลงไป ต้องปราศจากมวลขนาดเล็ก หรือผุ่นที่จะทำให้เกิดผุ่นโคลนหรือความสกปรกในชั้นหินroyทางได้

คุณสมบัติของหินroyทาง

- 1) ช่วยกระจายน้ำหนักจากใต้หมอนแผ่กระจายลงยังผิวถนนให้สม่ำเสมอ
- 2) ให้ความต้านทานของการเคลื่อนตัวของทางทั้งแนวยาวและด้านข้างได้ดี
- 3) มีการระบายน้ำได้ดี
- 4) มีความหนาแน่น และอัดตัวกันได้ดี เมื่อได้รับอัดหินแล้ว
- 5) มีความยืดหยุ่นตัวในการรับน้ำหนักกระแทก (Impacted load) ได้ดี

คุณสมบัติของวัสดุหินroyทาง

- 1) ควรจะมีราคาถูก
- 2) มีความแข็ง (Hard) คงทน (durable) ทนต่อการสึกหรอ (Tough and wear Resistance) ได้ดี
- 3) มีรูปร่างเป็นเหลี่ยมคม (Cubical size , Sharp Edges)
- 4) มีโครงสร้างที่เกาะยึดกันแล้วมีโพรงเพื่อการระบายน้ำได้ดี

ขนาดนวัตกรรมคละ (Gradation) ของหินโดยทางในแต่ละการรถไฟจะกำหนด Gradation ของหินโดยทางไม่เหมือนกันแต่จะใกล้เคียงกัน ทั้งนี้ขึ้นอยู่กับผลการใช้งานศึกษา และบำรุงรักษาทางในแต่ละประเภทนั้นๆ ที่ได้ใช้กันมาจนเป็นที่พอใจ

ตารางที่ 2.2 ตารางแสดงขนาด (Gradation) ของหินโดยทาง

ขนาดตะแกรง (มิลลิเมตร)	76	60	50	40	25	20
เปอร์เซนต์ ตะแกรง	100	80- 100	25- 70	0-20	0-55	0-5

2.3 การวิเคราะห์การดีดงของรางเชื่อมยาว

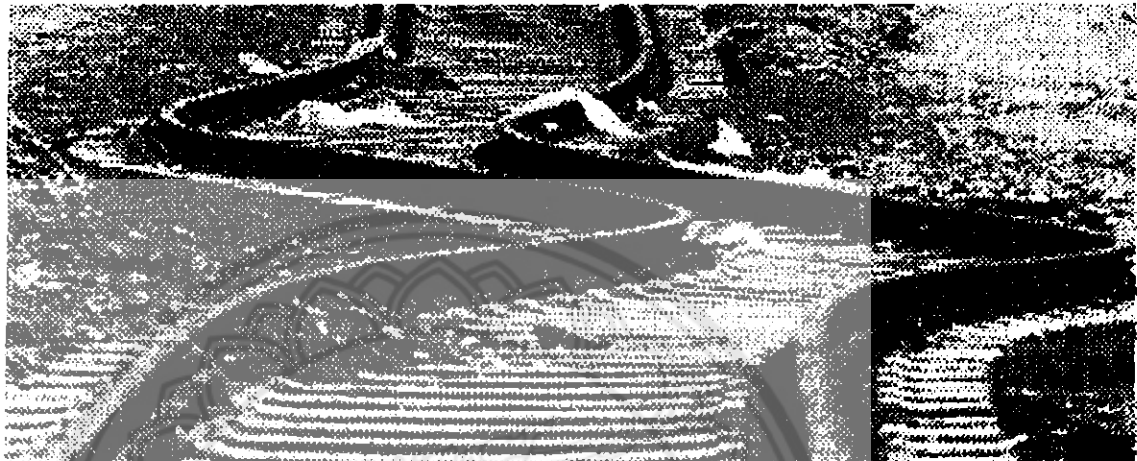
รางเชื่อมยาวเมื่อเปรียบเทียบกับรางแบบบรรอยต่อไม้เพียงแค่ลดค่าบำรุงรักษา แต่ยังเพิ่มอายุการใช้งานขององค์ประกอบต่างๆในทางรถไฟและเพิ่มความสะดวกปลอดภัยแก่ผู้โดยสาร เนื่อง เพราะรางเชื่อมยาวจะเกิดการขยายตัวของรางยกที่จะคาดเดา การเพิ่มขึ้นของอุณหภูมิมีผลให้เกิดหน่วยแรงดึงและการโค้งงออาจอุบัติ เพราะฉะนั้นจึงได้มีการพัฒนาโปรแกรมคอมพิวเตอร์ โดยจะคำนึงถึงเสถียรภาพของรางเชื่อมยาวในทางรถไฟบนพื้นฐานและบนสะพาน โดยที่สามารถจำลอง และคำนวณเป็นรูปแบบสามมิติได้ เป็นเครื่องมือเพื่อหาแนวทางปลอดภัยใหม่ๆ ซึ่งแนวคิดนี้จะส่งเสริมเพื่อใช้สำหรับการปรับปรุง Leaflet 720R(มาตรฐานกำหนดการติดตั้งและซ่อมบำรุงทางรถไฟแบบเชื่อมยาว)

ในเอกสารแบบจำลองเสถียรภาพของทางรถไฟนี้จะเป็นรูปแบบของการตรวจสอบ โดยจะแสดงว่ามีปัจจัยใดบ้างของแบบจำลองทางรถไฟที่สามารถหาได้จากการตรวจวัด การวิเคราะห์การตอบสนองเป็นการทำเพื่อหาปัจจัยที่สำคัญที่สุดที่มีผลต่อเสถียรภาพ สรุปได้ว่าความโค้ง ความแข็งแกร่งของหินโดยทางในแนวโน้มและการเยื่องศูนย์เป็นปัจจัยสำคัญที่ทำให้เกิดการดีดงอ มีเพียงวัสดุยึดราง (fasteners) ที่แข็งมากๆเท่านั้นที่จะปรับปรุงเสถียรภาพทางรถไฟให้ดีขึ้นได้ ส่วนวัสดุยึดรางที่มีความแข็งน้อยและความทนทานตามยาวและทางด้านข้างของหินโดยทางจะไม่สำคัญ

เมื่อ 20 ปีที่แล้วรางแบบบรรอยต่อมีมากในประเทศไทยและแลนด์แลนด์เกือบจะทุกที่ในถนนประเทศไทยวันตกลงจากนั้นถูกแทนที่ด้วยรางแบบเชื่อมยาว รางจะถูกเชื่อมในโรงงาน ในหนึ่งช่วงราง จะมีความยาวถึง 360 เมตรและหลังจากติดตั้งในทางรถไฟในแต่ละช่วงก็จะถูกเชื่อมต่อเข้าด้วยกัน กระบวนการนี้จะได้ร่วงยาวที่ป้องกันการขยายตัวได้ โดยมักจะเกิดขึ้นบ่อยบริเวณสะพานและจุดต่อขยายตัว เพราะความซับซ้อนของความคืบและการเสียรูปถ้าใช้ที่บริเวณดังกล่าว ถ้าความคืบและ การเสียรูปเหล่านี้สามารถลดการณ์ได้อย่างถูกต้อง จะทำให้หลักเลี่ยงค่าใช้จ่ายที่สูงและความไม่สะดวกได้

ทางรถไฟจะติดตั้งขณะที่หน่วยแรงในรางเท่ากับศูนย์ที่อุณหภูมิทั่วไปประมาณ 25 องศาเซลเซียส อุณหภูมิที่คล่องที่ -20 องศาเซลเซียส บริเวณส่วนบนของหน้าตั้งรางจะเกิดหน่วยแรงดึงถ้าอุณหภูมิต่ำๆจะทำให้รางเบรอะจันทำให้เกิดรอยแตก โดยขนาดของรอยแตกต้องไม่เกินค่าที่ยอม

ให้เพื่อป้องกันไม่ให้รถไฟฟ้ารุ่ง ที่อุณหภูมิสูงถึง 70 องศาเซลเซียส หน่วยแรงอัดจะเกิดขึ้นในราง ถ้าอุณหภูมิในรางสูงมากอาจจะเกิดขันหารายเป็นอย่างมากเนื่องจากการโค้งของรางอุบัติขึ้นได้ โดยในความยาวประมาณ 20 เมตร ทางรถไฟฟ้าสามารถเลื่อนออกทางซ้ายได้ถึง 1 เมตร การเสียรูปส่วนใหญ่จะเกิดมุมของรูปร่าง ในช่วงๆครึ่งร้อนทางรถไฟฟ้าจะเกิดการโค้งอนันดร้อยในที่โลกราช[4]



รูปที่ 2.6 การโก่งของทางรถไฟฟ้า

ในปี 1993 ได้มีการเริ่มนักวิจัยโปรแกรมเพื่อแนบมาเสียรูปภาพของรางรถไฟฟ้า เช่นยาฯ ได้มีการพัฒนาโปรแกรมคอมพิวเตอร์ โดยคำนึงถึงเสถียรภาพของรางเชื่อมยานหันขวาและบนสะพาน สามารถทำเป็นแบบจำลองและคำนวณในรูป 3 มิติได้[5] และยังใช้งานกับคอมพิวเตอร์ ส่วนตัวใน user-friendly การคำนวณเครื่องเรนล(Kernel (linear algebra)) เป็นพื้นฐานที่แยกมา จากโปรแกรมวิเคราะห์ท่ออุปกรณ์แบบไม่ต่อเนื่อง(discrete element program) จะใช้ โปรแกรมเพื่อหาแนวแนวทางปลดภัยใหม่ๆ แนวคิดนี้จะส่งเสริมเพื่อใช้สำหรับการปรับปรุง Leaflet 720R (มาตรฐานกำหนดการติดตั้งและซ่อมบำรุงทางรถไฟฟ้าแบบเชื่อมยาฯ)

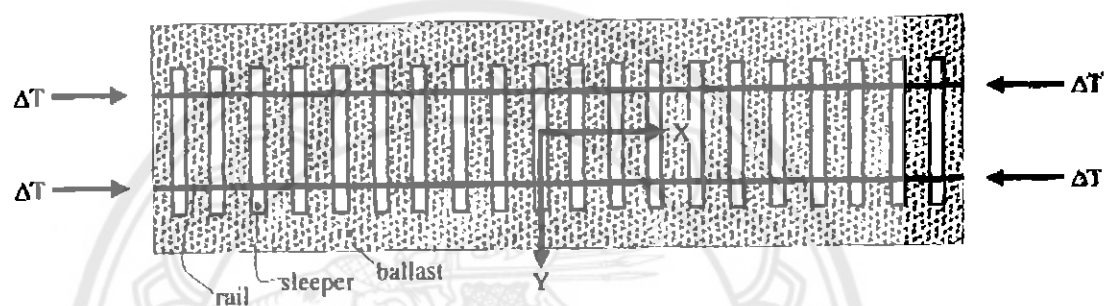
เอกสารนี้เป็นแบบจำลองการโค้งของทางรถไฟฟ้าสำหรับหาคำตอบได้ แล้วจะทราบ ประเด็นสำคัญที่เป็นปัจจัยโดยวิธีทดลองทางวิทยาศาสตร์และผลการทดลองบางอย่างจากบทความ จากนั้นการวิเคราะห์การตอบสนองของการโค้งของทางโค้งรถไฟโดยมีปัจจัย ดังนี้

- รัศมีความโค้ง
- ค่าความต้านทานสูงสุดและต่ำสุดของหินโดยทางต่อความคงทนด้านซ้าย
- ค่าการเสียรูปสูงสุดและต่ำสุดของหินโดยทางต่อความคงทนด้านซ้าย
- ความต้านทานตามยาวของหินโดยทาง
- ค่าความคงทนต่อแรงบิดของอิฐสูญญากาศ
- ความยาวคลื่นทั้งหมดและครึ่งหนึ่งของการเยื่องศูนย์

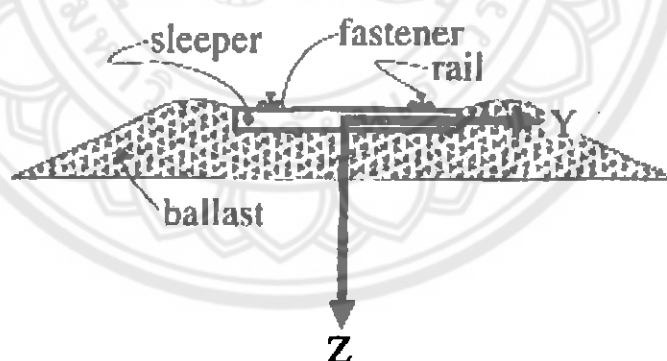
2.4 แบบจำลองการโค้งงอของทางรถไฟและปัจจัยที่มีผล

ในส่วนนี้จะอธิบายปัจจัยแบบจำลองการโค้งงอของทางรถไฟให้ทราบค่าของแนวโน้มดังต่อไปนี้

การโค้งงอที่เกิดขึ้นในทางรถไฟส่วนมากจะเกินในระนาบแนวนอน การโค้งงอทางแนวตั้งจะสังเกตได้จากอุณหภูมิ การโค้งงอกิดจากหน่วยแรงจากอุณหภูมิ(Thermal Load) และหรือน้ำหนักจากเครื่องยนต์ทำให้เกิดแรงอัดสูง ถ้าทางรถไฟมีความหนาแน่นที่ต่ำ ไม่โค้งงอ เยื่องศูนย์เล็กน้อย อุณหภูมิ น้ำหนักเครื่องยนต์และการเยื่องศูนย์จะมีผลต่อทิศทางแรงด้านข้าง แรงนี้จะต่อต้านโดยแรงต้านทานด้านข้างของหมอนรองรับที่อยู่ในทินรอยทาง

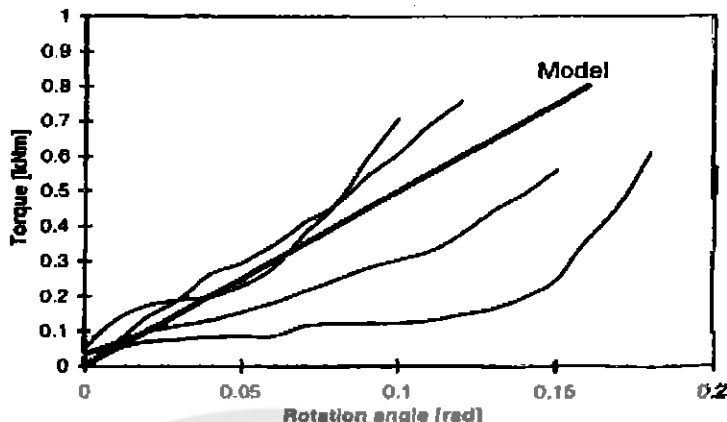


รูปที่ 2.7 นมุมมองด้านบนของทางรถไฟ



รูปที่ 2.8 นมุมมองแนวตั้งของทางรถไฟ

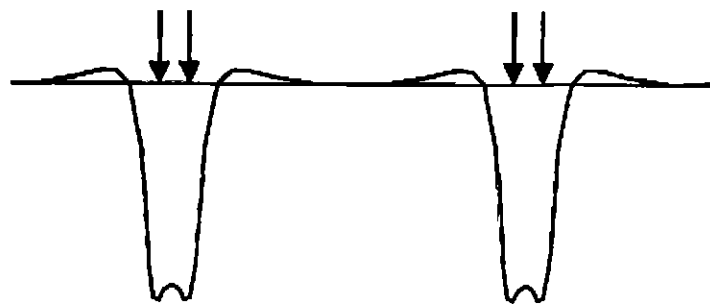
รูปที่ 2.8 แสดงให้เห็นการเสียรูปหลังการโค้งงอ จึงเป็นสิ่งสำคัญในการเลือกแบบจำลอง คานทางเรขาคณิตไม่เชิงเส้น(non-linear) สำหรับงานคู่ แรงที่เกิดขึ้นจริงสามารถคำนวณการเสียรูปได้จาก พื้นที่หน้าตัด ยังโมดูลัส โมเมนต์อินเนอร์เซย์ และค่าสัมประสิทธิ์ของอุณหภูมิในร่างเป็นปัจจัยที่สำคัญ ปัจจัยเหล่านี้จะทราบได้จากprofile กล่าวคือ ระยะระหว่างรากคู่จะมากหรือน้อยและการเคลื่อนตัวที่ไม่เท่ากันของร่างในวัสดุยึดร่างตามแนวยาว(X) จะโคนต้าน รางทั้งสองสามารถออกแบบโดยคานเดียว



รูปที่ 2.9 ข้อมูลการทดสอบแรงบิดของหมุดยึดราง 4 ชนิด

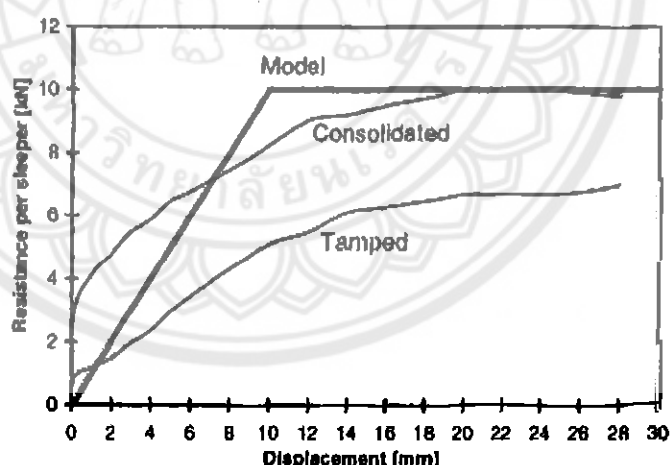
วัสดุยึดราง(Fasteners) ที่ต้านการหนุนและการดึงของรางในแนวยาวจะสัมพันธ์กับไม้หมอนรถไฟ จากการทดสอบสามารถหาค่าโมเมนต์แรงบิดในตัวยึดที่กระทำกับหมุนของการหนุน จากการทดสอบดังกล่าวพบว่า รางถูกยึดโดยวัสดุยึดราง(Fasteners) วางบนไม้หมอนรถไฟที่ยืดแน่น และมีแรงกระทำเนื่องจากโมเมนต์จากการการบิดดังรูป รูปที่ 2.9 แสดงข้อมูลจากการวัด[6] ในที่นี้ วัสดุยึดราง(Fasteners) เป็นการจำลองเชิงเส้น(linear) ในช่วงอิเลสติก (elastic) จะเป็นการคำนวณผลลัพธ์ของจุดสูงสุดที่รับได้เท่านั้นของค่าความแข็ง (stiffness) ในวัสดุยึดราง(Fasteners)

ถ้านำน้ำหนักที่กระทำของเพลาตามแนวแกนในแนวตั้งถูกนิ่มไว้ในรางและไม้หมอนรถไฟ จะทำให้มีการเคลื่อนที่ในแนวตั้งในหินroyทาง(ballast) วิธีที่ง่ายที่สุดในการจำลองคือใช้สปริงแบบเชิงเส้น(linear) ในช่วงอิเลสติก (elastic) รู้ดีจากฐานรากยึดหยุ่นแบบบิงเคลอร์ (Winkler foundation) แรงสกิดในแนวตั้งเนื่องจากการเสียรูปจากน้ำหนักที่กระทำ 4 เพลาที่กระทำบนฐานรากยึดหยุ่นแบบบิงเคลอร์ (Winkler foundation) ที่แสดงในรูป รูปที่ 2.12 การเสียรูปในแนวตั้งของรางมีข้อจำกัดในการเลี่ยงการเกิดความล้าของราง ซึ่งจุดประสงค์ของผลลัพธ์ในค่าความแข็ง (stiffness) ในแนวตั้งของชั้นฐานรากใต้ทางรถไฟ โดยค่าทั่วไปค่าความแข็ง (stiffness) ในสปริงเท่ากับ 100 กิโลนิวตันต่อมิลลิเมตร ต่อ ความยาวทางรถไฟ 1 เมตร



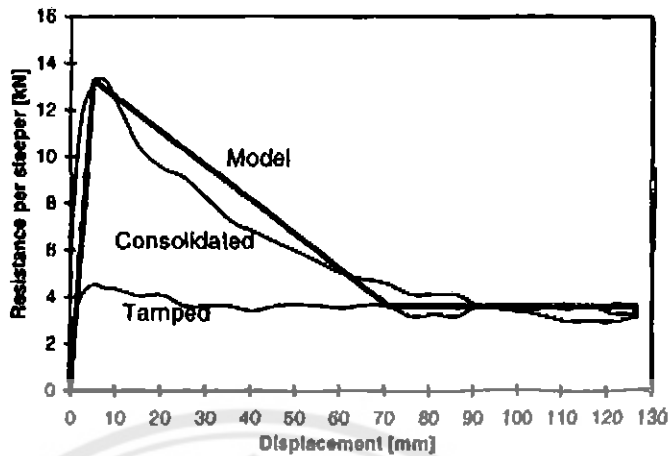
รูปที่ 2.10 การเสียรูปในแนวตั้งอันเนื่องมาจากการแรงในแนวแกนที่กระทำบนคานที่มีฐานรากวิงเคลอร์(Winkler foundation).

การด้านการเคลื่อนที่ในแนวยาวของหินroyทาง(ballast) สามารถวัดได้จาก การตึงหรือ การดันของไม้หมอนแบบเดียว หรือส่วนของทางรถไฟในทิศทางตามแนวยาว การเสียรูปตามแนว ยาวจากการทดสอบได้จากการแม่เหล็กและเครื่องตรวจสอบแรงกระทำ ตัวอย่างของการทดสอบ tamped และ consolidated track ดังรูป รูปที่ 2.11 จากรูปได้แสดงผล consolidation เนื่องมาจากการสั่นสะเทือนเมื่อรถไฟวิ่งผ่าน จุดคราบตามยาวจะเพิ่มขึ้น พฤติกรรมของไม้หมอน รถไฟและหินroyทาง (ballast) ในแนวตามยาวเป็นแบบจำลองแบบพลาสติกตั้งที่แสดงเป็นเส้นหนา ใน รูปที่ 2.11

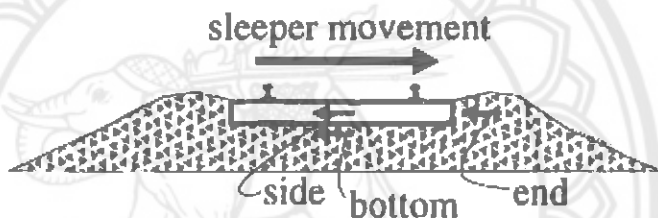


รูปที่ 2.11 การด้านหานการเคลื่อนที่ตามแนวยาวของหินroyทาง

พฤติกรรมด้านข้างของทางรถไฟสามารถวัดได้จากการอัดหรือตึง ได้จากการดันของ ความสัมพันธ์ของทางรถไฟหรือไม้หมอนในแนวด้านข้าง ผลของการทดสอบการอัดไม้หมอนแบบ เดียวใน consolidated และ tamped track ดังแสดงในรูป รูปที่ 2.12 เนื่องมาจากการ สั่นสะเทือนทำให้มีการเกิดการอัดกันและหินroyทาง(ballast) มีการต้านกันเพิ่มขึ้น หลังจากที่มี การเคลื่อนที่ ความหนาแน่นของเม็ดกรวดที่อัดกันจะลดลงในช่วงแรกและการต้านจะมีค่าลดลง

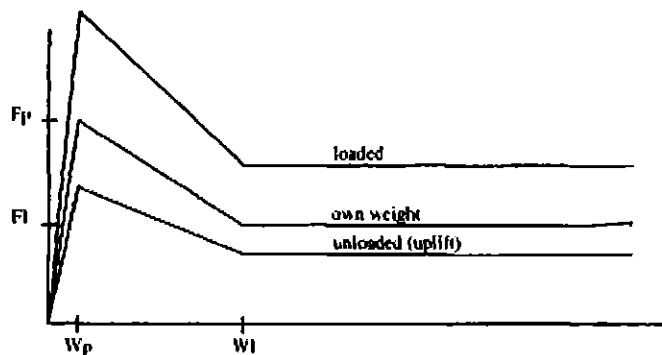


รูปที่ 2.12 การต้านทานการเคลื่อนที่ด้านข้างของหินโรยทาง



รูปที่ 2.13 องค์ประกอบการต้านทานการเคลื่อนที่ด้านข้างของหินโรยทาง

แรงต้านด้านข้างของน้ำหนักนอน ดังรูป รูปที่ 2.12 คือการรวมกันของแรงต้านของน้ำหนักนอน รถไฟด้านข้าง ด้านบน และด้านปลาย ดังรูป รูปที่ 2.13 การซับพอดกันจะประมาณได้จาก 1/3 ของผลรวมของแรงต้าน(กล่าวคือ ไม่มีน้ำหนักลงเพลลา) ความเค้นในแนวตั้งระหว่างน้ำหนักนอนรถไฟ กับหินโรยทาง(ballast) ที่เป็นผลลัพธ์ของน้ำหนักลงเพลลาตามแนวแกนในแนวตั้งเป็นการเพิ่มหรือลดลงของแรงต้านด้านข้างของหินโรยทาง (ballast) ที่ด้านบนของน้ำหนักนอนรถไฟ การตรวจวัด ยืนยันได้จาก ความสัมพันธ์ระหว่างความเค้นในแนวตั้งและแรงต้านด้านข้างโดยสมมติเป็นแบบเชิง เส้น(linear) แบบจำลองของหินโรยทาง(ballast) ในด้านข้าง ซึ่งจะใช้แรงในแนวตั้งที่ต่างกันดังรูป รูปที่ 2.14



รูปที่ 2.14 อิทธิพลของแรงในแนวตั้งที่ทำต่อการด้านท่านการเคลื่อนที่ด้านข้างของหินโรยทาง

สำหรับการเสียรูปเนื่องจากแรงที่กระทำแรกของทางรถไฟ ดังรูปที่ 12. ที่ได้จาก การคำนวณ การคุณการเสียรูปกับผลลัพธ์ของค่าความแข็ง (stiffness) ของหินโรยทาง (ballast) ในแรงกระจายในแนวตั้ง R_v ระหว่างไม้มอนรถไฟและหินโรยทาง(ballast) สำหรับไม้มอนแต่ละอัน ขนาดของแรงในช่วงวิกฤติในแนวตัวแนวน้ำ F_p คำนวณได้จากการ

$$F_p = F_{po} + \mu_t R_v$$

ปริมาณค่าสัมประสิทธิ์แรงเสียดทานของไม้มอนรถไฟและหินโรยทาง(ballast) μ_t เท่ากับ 0.86 และเป็นค่าเฉลี่ยของ ความสัมพันธ์ของคอนกรีต[6] ถ้าขนาดของ R_v เป็นบวก จะอยู่ในกรณีที่ทางรถไฟยกขึ้น ค่าต่ำสุดของ R_v คือ 0 ถึง ติดลบ จากน้ำหนักตัวมันเองของทางรถไฟ

ขนาดสูงสุดของแรงเสียดทานด้านข้าง F_1 ขึ้นอยู่กับค่า R_v กับอัตราส่วนที่ซึ้กัน เช่น F_p ดังสมการ

$$F_1 = F_{10} \cdot \frac{F_p}{F_{po}}$$

บทที่ 3

วิธีการดำเนินงาน

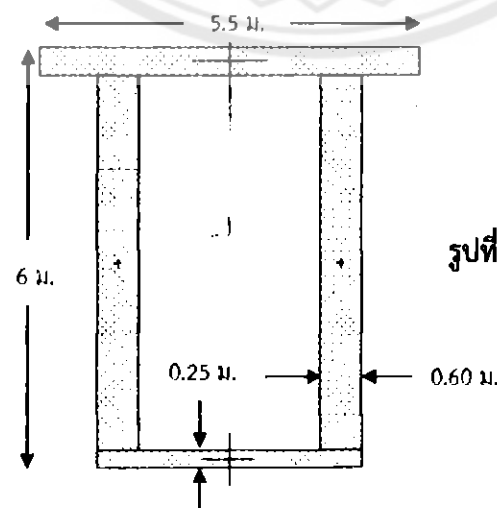
ในบทที่สามนี้จะอธิบายถึงข้อมูลที่ใช้ในการวิเคราะห์โครงสร้างสะพานและรถไฟ ปัจจัยที่มีผลให้เกิดหน่วยแรงในร่าง การใส่วัสดุยึดรวมแบบยอนให้เคลื่อนที่ตามยาว (ZLR) แบบจำลองโครงสร้างและรูปแบบสะพานที่ใช้ในการวิเคราะห์ข้อมูลโดยใช้โปรแกรม CSI SAP2000 เพื่อศึกษาว่าข้อมูลตั้งกล่าวมีรูปแบบ องค์ประกอบและภาพรวมในการวิเคราะห์อย่างไร

3.1 ข้อมูลที่ใช้ในการวิเคราะห์โครงสร้างสะพานและทางเดินรถไฟ

3.1.1 โครงสร้างสะพาน (Bridge Structure)

สะพานมีความยาว 60 เมตร หน้าตัดสะพานเป็นแบบ Box Girder ดังรูปที่ 3.1 ใช้คอนกรีตเป็นวัสดุออกแบบ มีคุณสมบัติ ดังนี้

- Weight per Unit Volume	23563.122 N/m ³
- Modulus of Elasticity	3.400×10^{10} N/m ²
- Poisson's Ratio	0.2
- Coefficient of Thermal Expansion	9.900×10^{-6}
- Shear Modulus	1.417×10^{10} N/m ²
- Specified Concrete Compressive Str.	28000000 N/m ²



รูปที่ 3.1 หน้าตัดสะพานแบบ Box Girder

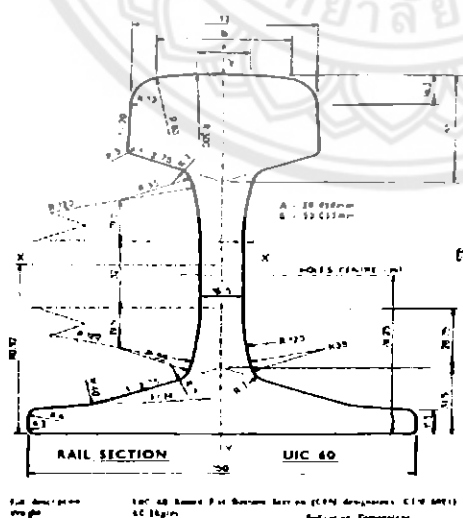
ลักษณะโครงสร้างสะพานที่ใช้ในการสร้างแบบจำลองเป็นแบบคานช่วงเดียว(Simple Beam) และคานต่อเนื่อง(Continuous Beam) แบ่งเป็น

- สะพาน 1 ช่วง ยาวช่วงละ 60 เมตร
- สะพาน 2 ช่วง ยาวช่วงละ 30 เมตร
- สะพาน 3 ช่วง ยาวช่วงละ 20 เมตร

3.1.2 ทางเดินรถไฟ (Railway)

ทางเดินรถไฟมีความยาวทั้งสิ้น 260 เมตร ตลอดช่วงความยาว ใช้รางขนาด UIC 60 หรือรางหนัก 60 กิโลกรัม/เมตร ในการออกแบบมีคุณสมบัติ ดังนี้

- Weight per Unit Volume	76972.86	N/m ³
- Modulus of Elasticity	2.100×10^{11}	N/m ²
- Poisson's Ratio	0.3	
- Coefficient of Thermal Expansion	1.170×10^{-5}	
- Shear Modulus	8.077×10^{10}	N/m ²
- Minimum Yield Stress	3.447×10^8	N/m ²
- Minimum Tensile Stress	4.482×10^8	N/m ²
- Effective Yield Stress	3.792×10^8	N/m ²
- Effective Tensile Stress	4.930×10^8	N/m ²



รูปที่ 3.2 หน้าตัดราง UIC 60

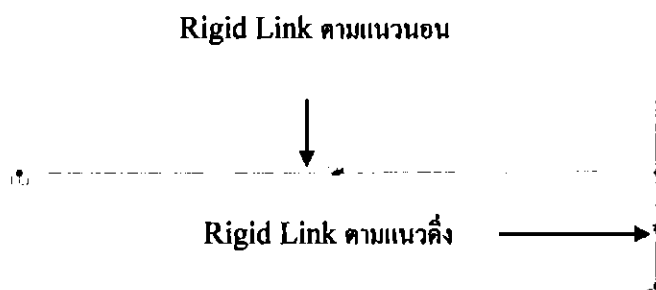
3.2.2 ขั้นส่วนแข็งเกริง (Rigid Link)

การศึกษานี้ได้จำลองแบบจำลองสปริงหลายชิ้นเป็นโครงข้อแข็งเพื่อเชื่อมต่อกับวัสดุโครงสร้างให้ยึดติดกัน แบ่งตามค่าความต้านทานของวัสดุต่อการเสียรูป(Stiffness) ได้ ดังนี้

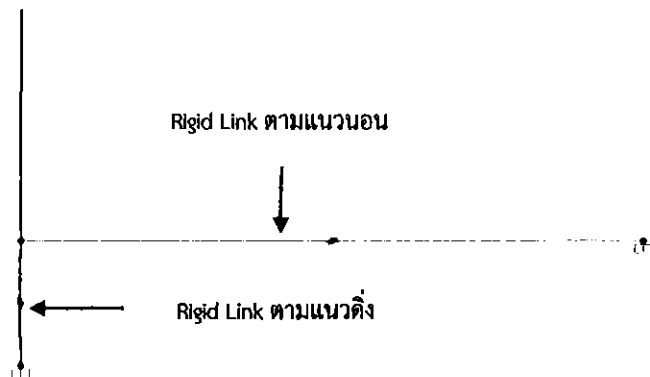
- ขั้นส่วนแข็งเกริง (Rigid Link) เชื่อมต่อระหว่างทินรอยทางกับแรงกดให้มีค่าความต้านทานของวัสดุต่อการเสียรูป $U_1 = 6.0 \times 10^8$ $U_2 = 3.0 \times 10^7$
- ขั้นส่วนแข็งเกริง (Rigid Link) เชื่อมต่อระหว่างโครงสร้างสะพานและทินรอยทางกับแรงกดให้มีค่าความต้านทานของวัสดุต่อการเสียรูป $U_1 = 7.2 \times 10^9$ $U_2 = 7.2 \times 10^6$
- ขั้นส่วนแข็งเกริง (Rigid Link) เชื่อมต่อจุดรองรับไฟฟ้าปลายทั้งสองด้านมีค่าความต้านทานของวัสดุต่อการเสียรูป $U_1 = 4.402 \times 10^8$
- ขั้นส่วนแข็งเกริง (Rigid Link) ใช้แทนโครงสร้างสะพานเชื่อมต่อระหว่างแรงกดฐานรองรับมีค่าความต้านทานของวัสดุต่อการเสียรูป $U_1 = 1.1 \times 10^{11}$ $U_2 = 1.1 \times 10^{11}$ $U_3 = 1.1 \times 10^{11}$
- ขั้นส่วนแข็งเกริง (Rigid Link) เชื่อมต่อจุดรองรับบีดหมุน(Hinge Support)ตามแนวอนและแนวตั้งมีค่าความต้านทานของวัสดุต่อการเสียรูป $U_1 = 6.0 \times 10^8$ และ $U_1 = 1.0 \times 10^{11}$ ตามลำดับ
- ขั้นส่วนแข็งเกริง (Rigid Link) เชื่อมต่อจุดรองรับบีดหมุนเคลื่อนที่(Roller Support)ตามแนวอนและแนวตั้งมีค่าความต้านทานของวัสดุต่อการเสียรูป $U_1, U_2 = 0$ และ $U_1 = 1.0 \times 10^{11}$ ตามลำดับ

3.2.3 จุดรองรับ (Support)

ประกอบด้วยจุดรองรับบีดหมุน(Hinge Support) และจุดรองรับบีดหมุนเคลื่อนที่(Roller Support) ดังรูปที่ 3.2 และ 3.3



รูปที่ 3.3 จุดรองรับบีดหมุน(Hinge Support)



รูปที่ 3.4 จุดรองรับยึดหมุนเคลื่อนที่(Roller Support)

3.2 ปัจจัยที่มีผลให้เกิดหน่วยแรงในรางรถไฟ

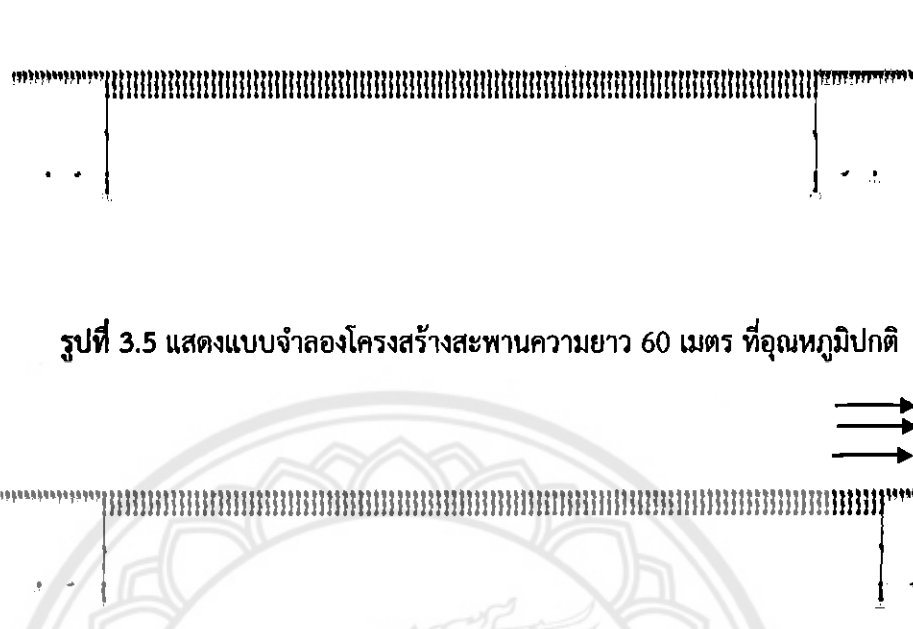
3.2.1 หน่วยแรงที่เกิดขึ้นเมื่องจากอุณหภูมิ

อุณหภูมิที่สูงขึ้นในรางรถไฟจะทำให้เกิดหน่วยแรงมากขึ้น ในที่นี้จะตั้งค่าให้อุณหภูมิเปลี่ยนแปลงไป 30 องศาเซลเซียส เพื่อศึกษาหน่วยแรงและพฤติกรรมที่เปลี่ยนแปลงไป

จาก	Coefficient of Thermal Expansion	9.900×10^{-6}	[1]
ช่วงความยาวสะพาน		60	เมตร
อุณหภูมิที่เปลี่ยนแปลง		30	องศาเซลเซียส
จะได้ว่า ระยะยึดของสะพาน	=	$9.900 \times 10^{-6} \times 60 \times 30$	
	=	0.01782	เมตร

เมื่ออุณหภูมิที่เปลี่ยนแปลงไป 30 องศาเซลเซียส มีผลให้สะพานขยายตัวออกไปประมาณ

1.782 เซนติเมตร



รูปที่ 3.6 แสดงแบบจำลองโครงสร้างสะพานความยาว 60 เมตร เมื่ออุณหภูมิเปลี่ยนแปลงไป 30°C

International Union of Railways (UIC) คือมาตรฐานของสถานีรถไฟทั่วโลกที่คณะผู้จัดทำนำมาใช้ในการอ้างอิง แต่เนื่องจากสภาพอากาศในประเทศไทยแตกต่างจากประเทศในแถบยุโรป เพาะฉะนั้นผู้จัดทำจึงได้ทำการวัดอุณหภูมิที่เปลี่ยนแปลงจริง จากนั้นจะนำวิเคราะห์ต่อไป

ตาราง 3.1 อุณหภูมิที่เปลี่ยนแปลงจริง ณ ช่วงเวลาต่างๆ

เวลา	อุณหภูมิร่อง (องศาเซลเซียส)	อุณหภูมิอากาศ (องศาเซลเซียส)
09.00 น.	42	36
13.00 น.	55.6	40
17.00 น.	49	38
21.00 น.	38	33

3.2.2 หน่วยแรงที่เกิดขึ้นเนื่องจากแรงเบรก

แรงเบรกที่เกิดขึ้นจากการดีบ่มีผลให้เราเกิดแรงเสียดทานและการกระชากในรถไฟฟ้าแรงดึงและแรงอัด

มาตรฐาน UIC 774-3 ได้กำหนด หน่วยแรงเบรกต่อระยะทางเท่ากับ 20000 N/m

ความเร่งในการลดความเร็วของรถไฟฟ้าเท่ากับ $0.8g$

$$\begin{aligned}
 \text{จาก} \quad \text{ช่วงความยาวสะพาน} &= 60 \text{ เมตร} \\
 \text{แรงเบรก} &= 20000 \text{ นิวตัน/เมตร} \quad [1] \\
 \text{ความเร่งในการลดความเร็ว} &= 0.8g \text{ เมตร/วินาที}^2 \quad [2] \\
 \text{จะได้ว่า แรงเบรกในรถ} &= 60 \times 20000 \\
 &= 1200000 \text{ นิวตัน} \\
 \text{ความเร่งในการลดความเร็ว} &= 0.8 \times 9.806 \\
 &= 7.845 \text{ เมตร/วินาที}^2
 \end{aligned}$$

รถไฟความยาว 60 เมตร จะทำให้แรงเบรกจารถไฟมีค่าเท่ากับ 120 ตัน และต้องใช้ความเร่งในการลดความเร็วเท่ากับ $7.845 \text{ เมตร/วินาที}^2$

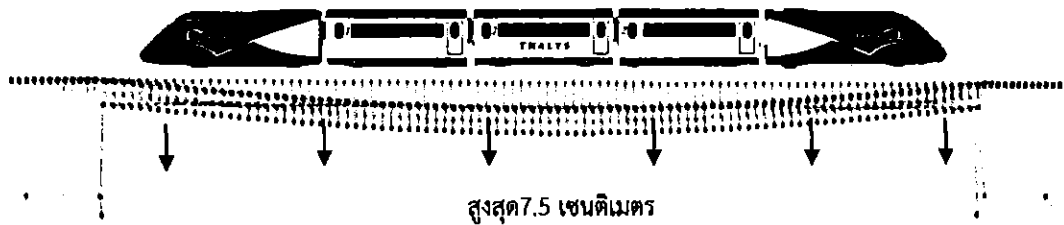
3.2.3 หน่วยแรงที่เกิดขึ้นเนื่องจากการอ่อนตัว

น้ำหนักของรถไฟมีผลต่อการอ่อนตัวของโครงสร้างสะพาน มาตรฐาน UIC ได้กำหนดการอ่อนตัวแนวตั้งบนสะพานห้ามเกิน $L/800$ [3]

$$\begin{aligned}
 \text{จาก} \quad \text{ช่วงความยาวสะพาน} &= 60 \text{ เมตร} \\
 \text{การอ่อนตัวบนสะพานที่ยอมให้} &= L/800 \quad [3] \\
 \text{จะได้ว่า การอ่อนตัวบนสะพานที่ยอมให้} &= 60/800 \\
 &= 0.075 \text{ เมตร}
 \end{aligned}$$

สะพานยาว 60 เมตร สามารถอ่อนตัวได้สูงสุดที่ 0.075 เมตร

รูปที่ 3.7 แสดงแบบจำลองโครงสร้างสะพานความยาว 60 เมตร ที่สภาพปกติ



รูปที่ 3.8 แสดงแบบจำลองโครงสร้างสะพานความยาว 60 เมตร เมื่อรับน้ำหนักจากการไฟ

จากรูปที่ 3.7 และ 3.8 จะสังเกตได้ว่าเมื่อสะพานรับน้ำหนักจากการดึงแล้วจะเกิดการเอ่นตัวสูงสุดที่บริเวณกลางสะพาน บริเวณจุดรองรับทั้งสองฝั่งมีโอกาสเกิดแรงดึง ส่วนบริเวณกลางสะพานจะเกิดแรงอัดเข้าหากัน

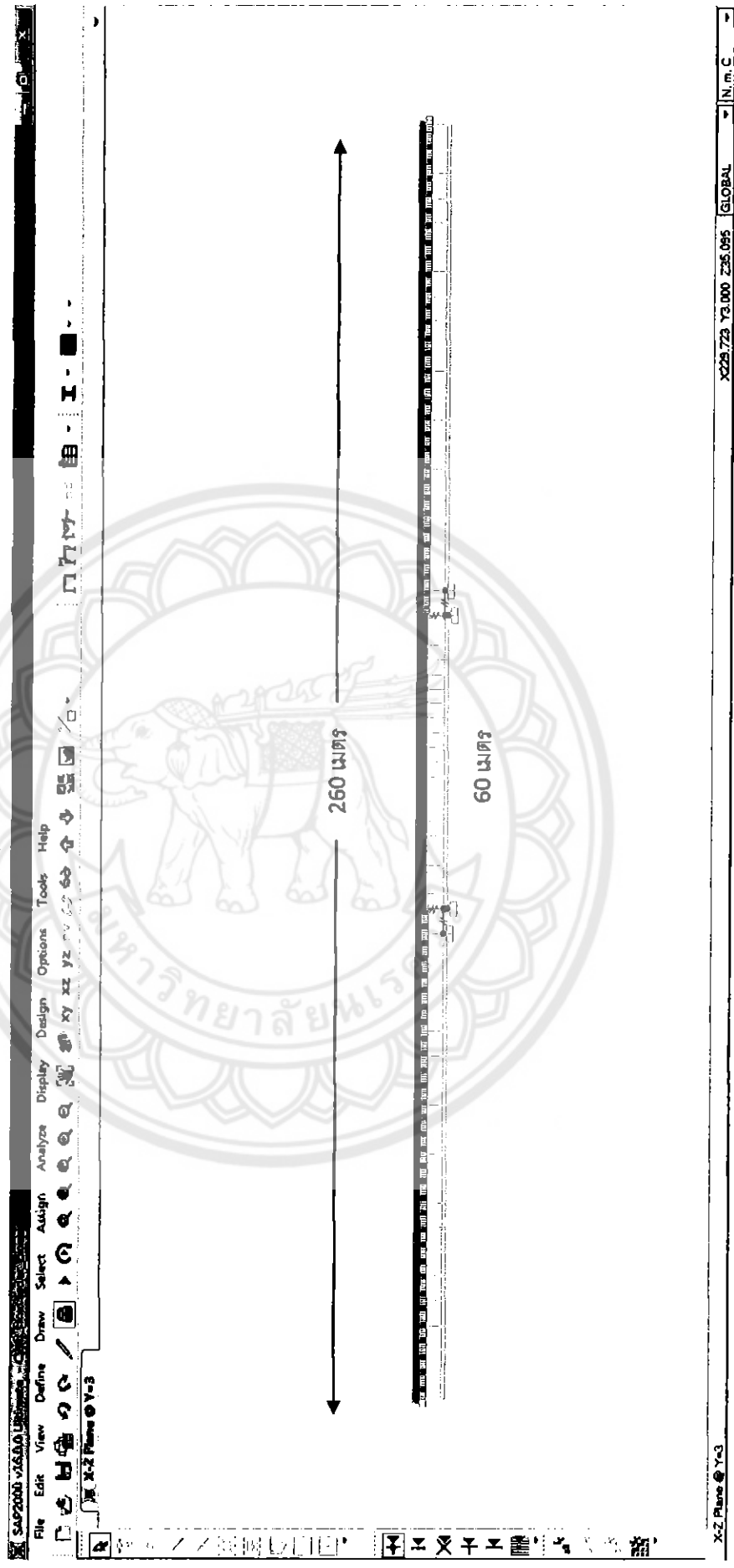
3.3 วิธีการเปลี่ยนวัสดุยึดรางแบบธรรมดามาเป็นวัสดุยึดรางที่ยอมให้เคลื่อนที่ได้ตามแนวยาว (Zero Longitudinal Restraint)

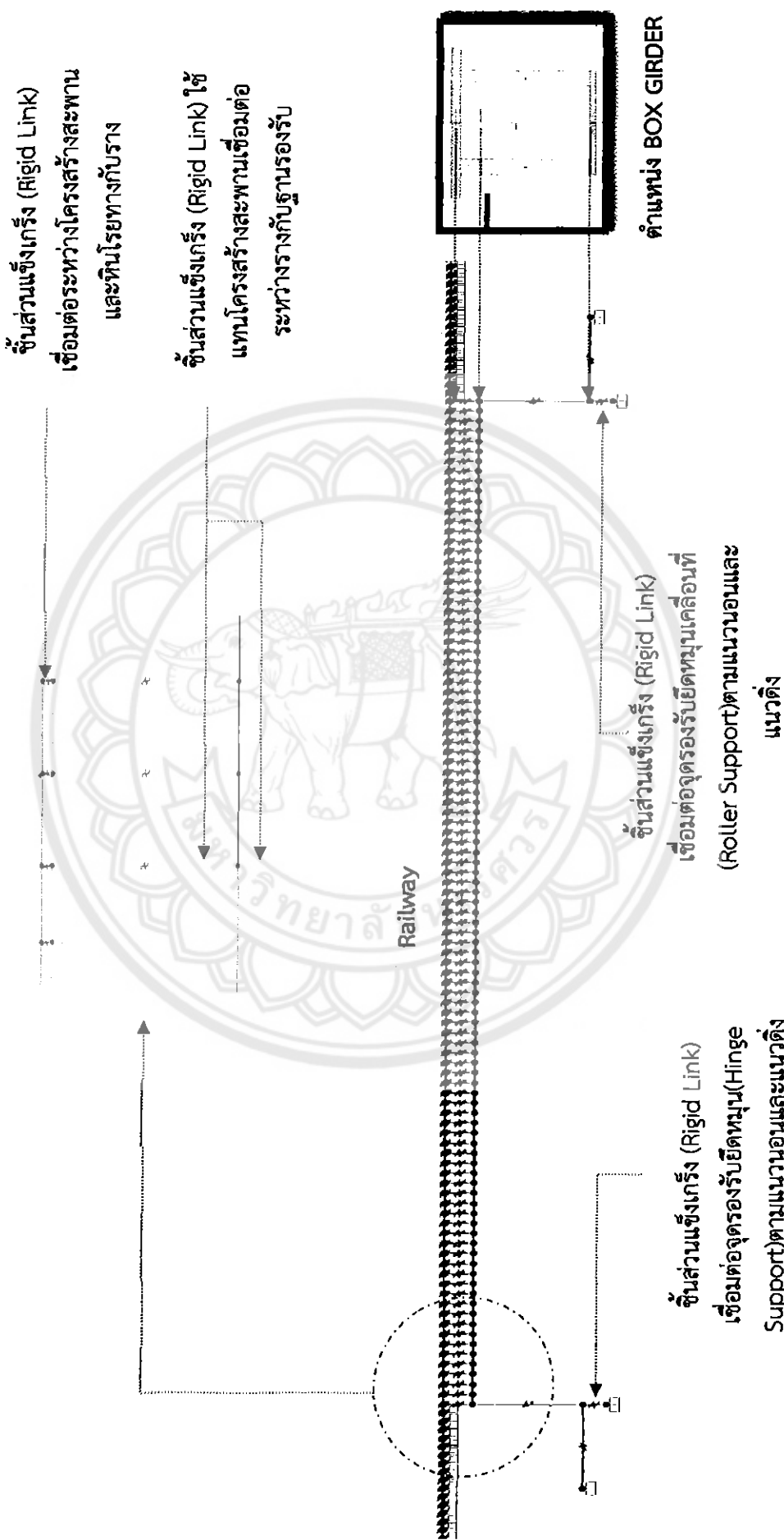
การเปลี่ยนรูปแบบของวัสดุยึดรางมาเป็นวัสดุยึดรางที่ยอมให้เคลื่อนที่ได้ตามยาวนั้น สามารถทำได้โดยการปรับค่าความต้านทานของวัสดุต่อการเสียรูป (Stiffness) ให้มีค่าเข้าใกล้ศูนย์ ในวัสดุยึดรางแบบปกติ ชิ้นส่วนแข็งเกร็ง (Rigid Link) เชื่อมต่อระหว่างโครงสร้างสะพานและพื้นเรียบทางกับรถไฟฟ้านั้นมีค่าความต้านทานของวัสดุต่อการเสียรูป $U_1 = 7.2 \times 10^9$ $U_2 = 7.2 \times 10^6$ เมื่อต้องการเปลี่ยนรูปแบบวัสดุให้เคลื่อนที่ได้ตามยาว สามารถกระทำได้โดยปรับค่า U_2 ให้มีค่าเท่ากับศูนย์เพื่อไม่ให้มีค่าความต้านทานของวัสดุตามแนวยาว ดังนั้น ร่างจะสามารถเคลื่อนที่ได้ตามแนวยาว



3.4 แบบจำลองโครงสร้างสะพานและหาดใหญ่รัตน์

จากหัวข้อ 3.1 และ 3.2 เมื่อนำร่องามาใช้ในการจำลองแบบโครงสร้างสะพานแหลมพะการต์ที่ออกแบบได้ ต่อไป

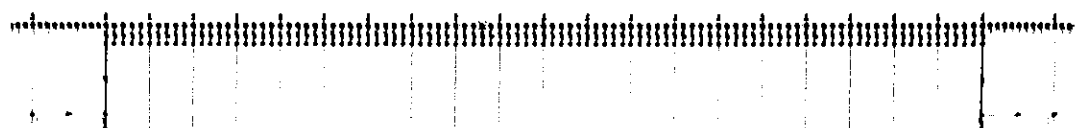




3.5 รูปแบบของสะพานที่ใช้ในการวิเคราะห์ข้อมูล

ลักษณะโครงสร้างสะพานที่ใช้ในการสร้างแบบจำลองเป็นแบบคานช่วงเดียว(Simple Beam) และคานต่อเนื่อง(Continuous Beam) แบ่งเป็น

3.5.1 สะพาน 1 ช่วง ยาวช่วงละ 60 เมตร



รูปที่ 3.11 สะพานแบบคานช่วงเดียว

3.5.2 สะพาน 2 ช่วง ยาวช่วงละ 30 เมตร



รูปที่ 3.12 สะพานแบบคานช่วงเดียว 2 ช่วงความยาว

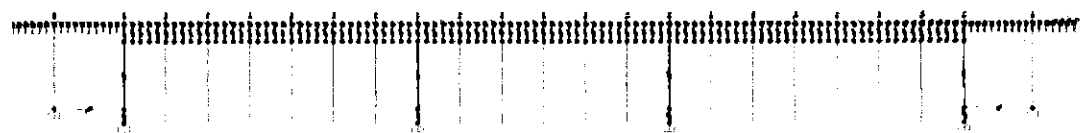


รูปที่ 3.13 สะพานแบบคานต่อเนื่อง 2 ช่วงความยาว

3.5.3 สะพาน 3 ช่วง ยาวช่วงละ 20 เมตร



รูปที่ 3.14 สะพานแบบคานช่วงเดียว 3 ช่วงความยาว



รูปที่ 3.15 สะพานแบบคานต่อเนื่อง 3 ช่วงความยาว

หมายเหตุ ความยาวสะพานคงไว้ที่ระยะ 60 เมตร



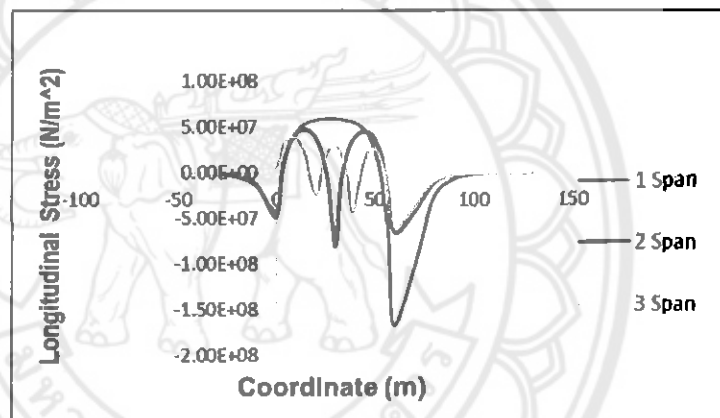
บทที่ 4

ผลการทดสอบและวิเคราะห์ผลการทดลอง

ในบทนี้จะแสดงถึงปัจจัยต่างๆ ที่มีผลการต่อการเปลี่ยนแปลงหน่วยแรงในรางเชื่อมยาว ได้แก่ ช่วงความยาวสะพาน รูปแบบสะพาน อุณหภูมิ แรงเบรกและการอ่อนตัว โดยส่วนแรกจะเป็นผลการวิเคราะห์หน่วยแรงที่เกิดขึ้นกรณีใช้วัสดุยึดรางแบบปกติ และติดตั้ง Zero Longitudinal Restraint (ZLR)

4.1 ผลการวิเคราะห์หน่วยแรงที่เกิดขึ้น กรณีติดตั้งวัสดุยึดรางแบบปกติ

1. หน่วยแรงที่เกิดขึ้นเนื่องจากอุณหภูมิในคานช่วงเดียว (Simple Beam)



รูปที่ 4.1 กราฟแสดงหน่วยแรงที่เกิดขึ้นเนื่องจากอุณหภูมิในคานช่วงเดียว

1.1 หน่วยแรงสูงสุดในรางที่สะพานช่วงเดียว (Simple Beam) 1 ช่วงความยาว แบ่งเป็น

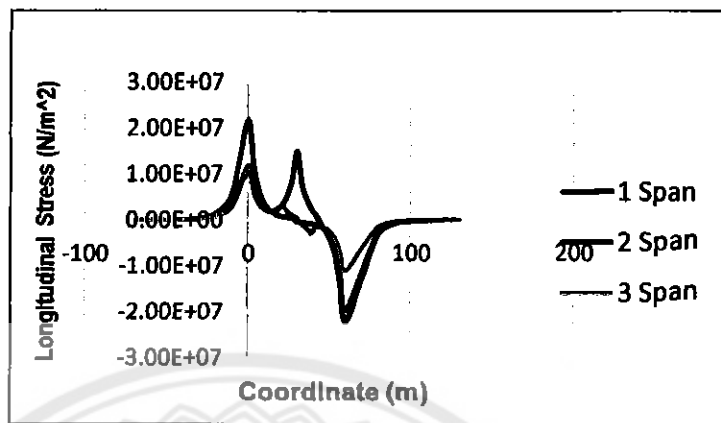
- หน่วยแรงดึงสูงสุดเกิดบริเวณกลางสะพานมีค่าเท่ากับ 0.646 เท่าของหน่วยแรงดึงที่ยอมให้
- หน่วยแรงอัดสูงสุดเกิดบริเวณกลางสะพานมีค่าเท่ากับ 2.306 เท่าของหน่วยแรงอัดที่ยอมให้

1.2 พฤติกรรมหน่วยแรงที่เกิดขึ้นในรางริมจากหน่วยแรงอัดที่จุดรองรับยึดหมุน (Hinge Support) จากนั้นไปเป็นหน่วยแรงดึงสูงสุดบริเวณกึ่งกลางของช่วงสะพานแล้วลงมาเกิดเป็นหน่วยแรงอัดสูงสุดที่จุดรองรับยึดหมุนเคลื่อนที่ (Roller Support)

1.3 จำนวนช่วงความยาวของสะพานที่เพิ่มขึ้นไม่มีผลต่อการเปลี่ยนแปลงพฤติกรรมหน่วยแรงที่เกิดขึ้นในราง

1.4 เมื่อเพิ่มจำนวนช่วงความยาวของสะพานจาก 1 ช่วงความยาว เป็น 2 และ 3 ช่วงความยาว มีผลให้หน่วยแรงที่เกิดขึ้นในรางลดลง

2. หน่วยแรงที่เกิดขึ้นเนื่องจากแรงเบรกในคานช่วงเดียว (Simple Beam)



รูปที่ 4.2 กราฟแสดงหน่วยแรงที่เกิดขึ้นเนื่องจากแรงเบรกในคานช่วงเดียว

2.1 เกิดหน่วยแรงสูงสุดในร่างที่สะพานช่วงเดียว (Simple Beam) 1 และ 2 ช่วงความยาว แบ่งเป็น

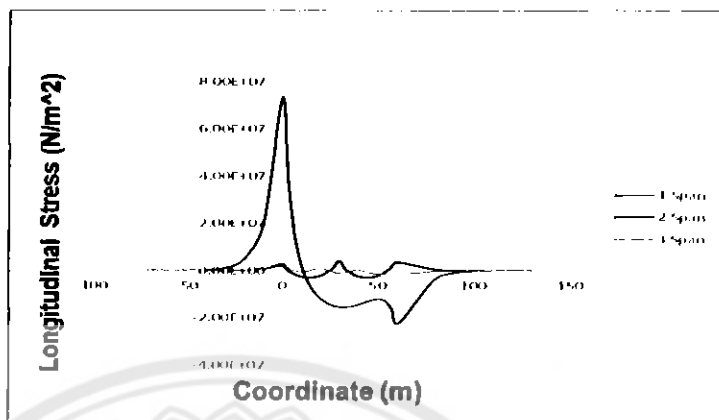
- หน่วยแรงดึงสูงสุดเกิดที่จุดรองรับยึดหมุน (Hinge Support) มีค่าเท่ากับ 0.234 เท่าของหน่วยแรงดึงที่ยอมให้ในสะพาน 1 ช่วงความยาว
- หน่วยแรงอัดสูงสุดเกิดที่จุดรองรับยึดหมุนเคลื่อนที่ (Roller Support) มีค่า เท่ากับ 0.308 เท่าของหน่วยแรงอัดที่ยอมให้ในสะพาน 2 ช่วงความยาว

2.2 พฤติกรรมหน่วยแรงที่เกิดขึ้นในร่างเริมจากหน่วยแรงดึงสูงสุดที่จุดรองรับยึดหมุน (Hinge Support) จนนั่นลงไปเป็นหน่วยแรงอัดสูงสุดที่จุดรองรับยึดหมุนเคลื่อนที่ (Roller Support)

2.3 ระยะของสะพานที่เพิ่มขึ้นมีผลให้สะพานช่วงเดียว 2 ช่วงความยาว เกิดหน่วยแรงดึงค่อนข้าง สูงที่บริเวณกลางสะพาน

2.4 เมื่อเพิ่มจำนวนช่วงความยาวของสะพานจาก 1 ช่วงความยาว เป็น 2 และ 3 ช่วงความยาว มีผลให้หน่วยแรงที่เกิดขึ้นในร่างลดลง

3. หน่วยแรงที่เกิดขึ้นเนื่องจากการอ่อนตัวในคานช่วงเดียว (Simple Beam)



รูปที่ 4.3 หน่วยแรงที่เกิดขึ้นเนื่องจากการอ่อนตัวในคานช่วงเดียว

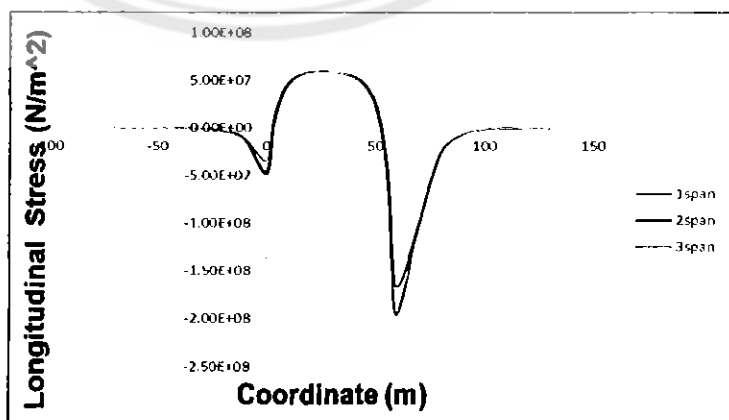
3.1 เกิดหน่วยแรงสูงสุดในรางที่สะพานช่วงเดียว (Simple Beam) 1 ช่วงความยาว แบ่งเป็น

- หน่วยแรงดึงสูงสุดเกิดที่จุดรองรับยึดหมุน (Hinge Support) มีค่าเท่ากับ 0.796 เท่าของหน่วยแรงดึงที่ยอมให้
- หน่วยแรงอัดสูงสุดเกิดที่จุดรองรับยึดหมุนเคลื่อนที่ (Roller Support) มีค่าเท่ากับ 0.314 เท่าของหน่วยแรงอัดที่ยอมให้

3.2 พฤติกรรมหน่วยแรงที่เกิดขึ้นในรางเริ่มจากหน่วยแรงดึงที่จุดรองรับยึดหมุน (Hinge Support) จากนั้นลดลงเป็นหน่วยแรงอัดสูงสุดจุดรองรับยึดหมุนเคลื่อนที่ (Roller Support)

3.3 เมื่อเพิ่มช่วงความยาวของสะพานจาก 1 ช่วงความยาว เป็น 2 และ 3 ช่วงความยาว มีผลให้หน่วยแรงที่เกิดขึ้นในรางลดลงเป็นอย่างมากเกินเข้าใกล้ศูนย์

4. หน่วยแรงที่เกิดขึ้นเนื่องจากอุณหภูมิในคานต่อเนื่อง (Continuous Beam)



รูปที่ 4.4 กราฟแสดงหน่วยแรงที่เกิดขึ้นเนื่องจากอุณหภูมิในคานต่อเนื่อง

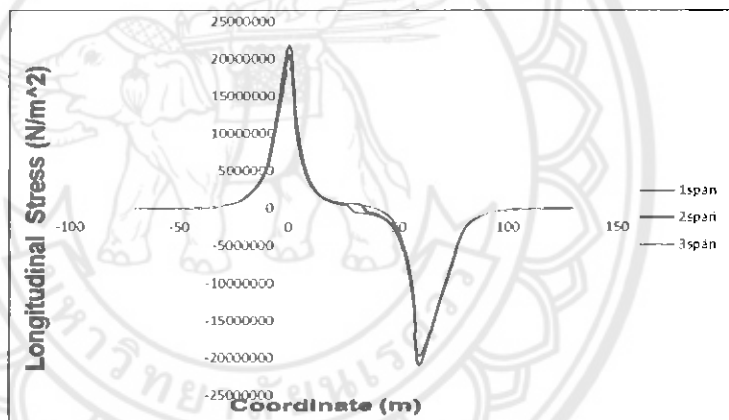
4.1 เกิดหน่วยแรงสูงสุดในรางที่สะพานต่อเนื่อง (Continuous Beam) 1, 2 และ 3 ช่วงความยาว แบ่งเป็น

- หน่วยแรงดึงสูงสุดเกิดบริเวณกึ่งกลางของช่วงสะพาน มีค่าเท่ากับ 0.607 เท่าของหน่วยแรงดึงที่ยอมให้
- หน่วยแรงอัดสูงสุดเกิดที่จุดรองรับยึดหมุนเคลื่อนที่ (Roller Support) มีค่าเท่ากับ 2.708 เท่าของหน่วยแรงอัดที่ยอมให้

4.2 พฤติกรรมหน่วยแรงที่เกิดขึ้นในรางเริ่มจากหน่วยแรงดึงสูงสุดที่จุดรองรับยึดหมุน (Hinge Support) จากนั้นลงไปเป็นหน่วยแรงอัดสูงสุดที่จุดรองรับยึดหมุนเคลื่อนที่ (Roller Support)

4.3 จำนวนช่วงความยาวของสะพานที่เพิ่มขึ้นไม่มีผลต่อการเปลี่ยนแปลงพฤติกรรมหน่วยแรงที่เกิดขึ้นในราง

5. หน่วยแรงที่เกิดขึ้นเนื่องจากแรงเบรกในคานต่อเนื่อง (Continuous Beam)



รูปที่ 4.5 กราฟแสดงหน่วยแรงที่เกิดขึ้นเนื่องจากแรงเบรกในคานต่อเนื่อง

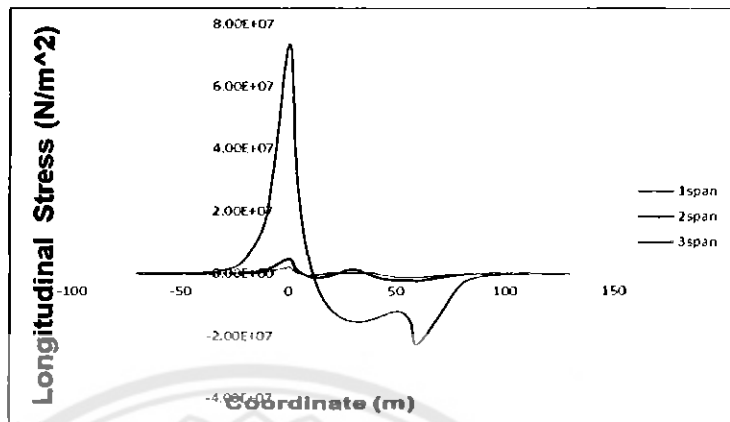
5.1 เกิดหน่วยแรงสูงสุดในรางที่สะพานต่อเนื่อง (Continuous Beam) 1, 2 และ 3 ช่วงความยาว แบ่งเป็น

- หน่วยแรงดึงสูงสุดเกิดที่จุดรองรับยึดหมุน (Hinge Support) มีค่าเท่ากับ 0.337 เท่าของหน่วยแรงดึงที่ยอมให้
- หน่วยแรงอัดสูงสุดเกิดที่จุดรองรับยึดหมุนเคลื่อนที่ (Roller Support) มีค่าเท่ากับ 0.288 เท่าของหน่วยแรงอัดที่ยอมให้

5.2 พฤติกรรมหน่วยแรงที่เกิดขึ้นในรางเริ่มจากหน่วยแรงดึงสูงสุดที่จุดรองรับยึดหมุน (Hinge Support) จากนั้นลงไปเป็นหน่วยแรงอัดสูงสุดที่จุดรองรับยึดหมุนเคลื่อนที่ (Roller Support)

5.3 จำนวนช่วงความยาวของสะพานที่เพิ่มขึ้นไม่มีผลต่อการเปลี่ยนแปลงพฤติกรรมหน่วยแรงที่เกิดขึ้นในราง

6. หน่วยแรงที่เกิดขึ้นเนื่องจากการแอลล์ตัวในคานต่อเนื่อง (Continuous Beam)



รูปที่ 4.6 กราฟแสดงหน่วยแรงที่เกิดขึ้นเนื่องจากการแอลล์ตัวในคานต่อเนื่อง

6.1 เกิดหน่วยแรงสูงสุดในร่างที่สะพานต่อเนื่อง (Continuous Beam) 1 ช่วงความยาว แบ่งเป็น

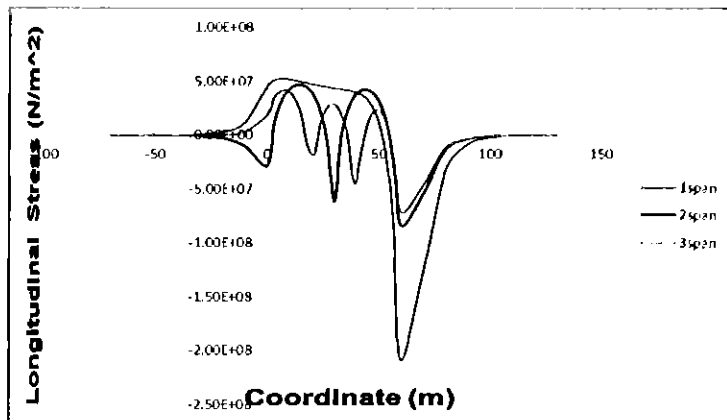
- หน่วยแรงดึงสูงสุดเกิดที่จุดรองรับยึดหมุน (Hinge Support) มีค่าเท่ากับ 0.796 เท่าของหน่วยแรงดึงที่ยอมให้
- หน่วยแรงอัดสูงสุดเกิดที่จุดรองรับยึดหมุนเคลื่อนที่ (Roller Support) มีค่าเท่ากับ 0.314 เท่าของหน่วยแรงอัดที่ยอมให้

6.2 พฤติกรรมหน่วยแรงที่เกิดขึ้นในร่างเริ่มจากหน่วยแรงดึงที่จุดรองรับยึดหมุน

(Hinge Support) จากนั้นลดลงเป็นหน่วยแรงอัดสูงสุดที่จุดรองรับยึดหมุนเคลื่อนที่ (Roller Support)

6.3 เมื่อเพิ่มจำนวนช่วงความยาวของสะพานจาก 1 ช่วงความยาวเป็น 2 และ 3 ช่วงความยาว มีผลให้หน่วยแรงที่เกิดขึ้นในร่างลดลงเป็นอย่างมากเกือบเข้าใกล้ศูนย์

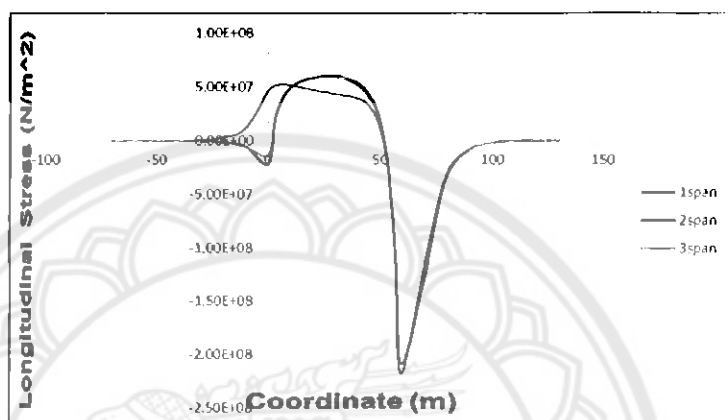
7. ผลกระทบหน่วยแรงที่เกิดขึ้นจากอุณหภูมิ แรงเบรกและการแอลล์ตัวในสะพานช่วงเดียว (Simple Beam)



รูปที่ 4.7 กราฟแสดงผลกระทบหน่วยแรงที่เกิดจากอุณหภูมิ แรงเบรกและการแอลล์ตัว สะพานช่วงเดียว

สะพานช่วงเดียว 1 ช่วงความยาวเกิดหน่วยแรงสูงสุดเนื่องจากอุณหภูมิ แรงเบรกและการแอล์ตัว โดยที่ หน่วยแรงดึงสูงสุดเป็น 0.572 เท่าของหน่วยแรงดึงที่ยอมให้ และหน่วยแรงอัดสูงสุดเป็น 2.778 เท่าของหน่วยแรงอัดที่ยอมให้

8. ผลรวมหน่วยแรงที่เกิดขึ้นจากอุณหภูมิ แรงเบรกและการแอล์ตัวในสะพานต่อเนื่อง (Continuous Beam)



รูปที่ 4.8 กราฟแสดงผลรวมหน่วยแรงที่เกิดจากอุณหภูมิ แรงเบรกและการแอล์ตัว สะพานต่อเนื่อง

สะพานต่อเนื่อง 1, 2 และ 3 ช่วงความยาวเกิดหน่วยแรงสูงสุดเนื่องจากอุณหภูมิ แรงเบรก และการแอล์ตัวใกล้เคียงกัน โดยที่หน่วยแรงดึงสูงสุดเป็น 0.646 เท่าของหน่วยแรงดึงที่ยอมให้ และหน่วยแรงอัดสูงสุดเป็น 3.014 เท่าของหน่วยแรงอัดที่ยอมให้

หมายเหตุ หน่วยแรงที่เกิดขึ้นมากกว่าหน่วยแรงที่ยอมให้ จำเป็นต้องติดตั้ง Expansion Joint เพื่อป้องกันการขยายตัวบริเวณจุดท่อ

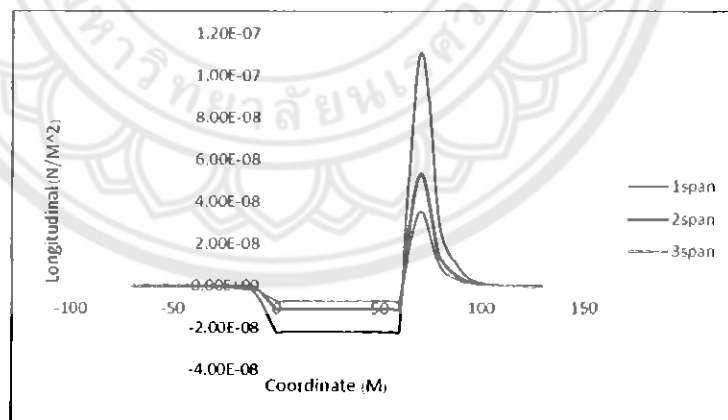
สรุปผลการวิเคราะห์หน่วยแรงที่เกิดขึ้นกรณีไม่ติดตั้ง Zero Longitudinal Restraint

- จำนวนช่วงความยาวที่เพิ่มมากขึ้นในสะพานช่วงเดียว (Simple Beam) มีผลให้หน่วยแรงที่เกิดขึ้นในรางลดลงโดยเฉพาะหน่วยแรงที่เกิดขึ้นเนื่องจากการแอล์ตัว จำนวนช่วงความยาวที่เพิ่มขึ้นทำให้หน่วยแรงในรางลดลงจนเข้าใกล้ศูนย์
- จำนวนช่วงความยาวที่เพิ่มมากขึ้นในสะพานต่อเนื่อง (Continuous Beam) หน่วยแรงที่เกิดขึ้นในรางไม่เปลี่ยนแปลง ยกเว้นหน่วยแรงที่เกิดขึ้นเนื่องจากการแอล์ตัว ช่วงความยาวที่เพิ่มขึ้นทำให้หน่วยแรงในรางลดลงจนเข้าใกล้ศูนย์
- ตัวแทนที่เกิดหน่วยแรงสูงสุดในสะพานช่วงเดียว (Simple Beam)
 - ที่จุดรองรับยึดหมุน (Hinge Support) หน่วยแรงที่เกิดขึ้นเนื่องจากการแอล์ตัว (Bridge Deflection) มีค่าสูงสุดที่ $7.320E07$ นิวตัน/ตร.ม

- บริเวณกลางสะพาน หน่วยแรงที่เกิดขึ้นเนื่องจากอุณหภูมิที่เปลี่ยนแปลงมีค่าสูงสุดที่ $5.900E07$ นิวตัน/ตารางเมตร
 - ที่จุดรองรับยึดหมุนเคลื่อนที่ (Roller Support) หน่วยแรงที่เกิดขึ้นเนื่องจากอุณหภูมิที่เปลี่ยนแปลงมีค่าสูงสุดที่ $1.660E08$ นิวตัน/ตร.ม
4. ตัวแหน่งที่เกิดหน่วยแรงสูงสุดในสะพานต่อเนื่อง (Continuous Beam)
- ที่จุดรองรับยึดหมุน (Hinge Support) หน่วยแรงที่เกิดขึ้นเนื่องจากการแอ่นตัว (Bridge Deflection) มีค่าสูงสุดที่ $7.320E07$ นิวตัน/ตร.ม
 - บริเวณกลางสะพาน หน่วยแรงที่เกิดขึ้นเนื่องจากอุณหภูมิที่เปลี่ยนแปลงมีค่าสูงสุดที่ $5.900E07$ นิวตัน/ตร.ม
 - ที่จุดรองรับยึดหมุนเคลื่อนที่ (Roller Support) หน่วยแรงที่เกิดขึ้นเนื่องจากอุณหภูมิที่เปลี่ยนแปลงมีค่าสูงสุดที่ $1.950E08$ นิวตัน/ตร.ม
5. สะพานแบบช่วงเดียวเมื่อเพิ่มจำนวนช่วงความยาวมากขึ้นสามารถลดหน่วยแรงที่เกิดขึ้นเนื่องจากอุณหภูมิ แรงเบรกและการแอ่นตัวได้ โดยเฉพาะการแอ่นตัวเมื่อเพิ่มช่วงความยาวสะพานหน่วยแรงจะลดลงอย่างมาก ส่วนสะพานต่อเนื่องการเพิ่มช่วงความยาวสะพานไม่มีผลต่อการเปลี่ยนแปลงหน่วยแรงเนื่องจากอุณหภูมิ และแรงเบรก แต่การแอ่นตัวหน่วยแรงจะลดลงอย่างมากเมื่อสะพานแบบช่วงเดียว

4.2 ผลการวิเคราะห์หน่วยแรงที่เกิดขึ้น กรณีติดตั้งวัสดุยึดรางแบบ ZLR

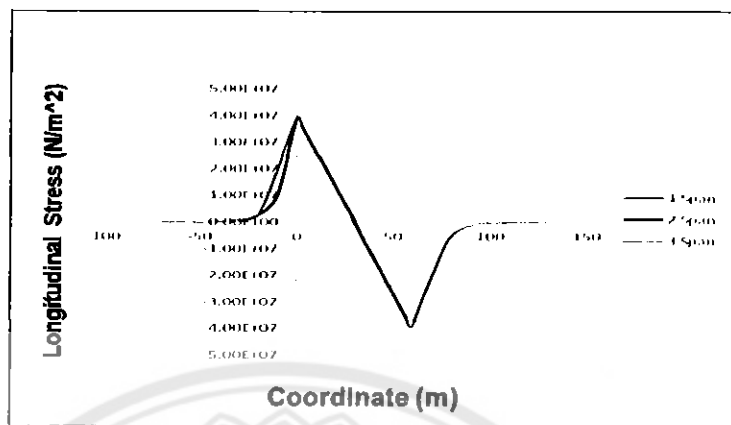
1. หน่วยแรงที่เกิดขึ้นเนื่องจากอุณหภูมิในคานช่วงเดียว (Simple Beam)



รูปที่ 4.9 กราฟแสดงหน่วยแรงที่เกิดขึ้นเนื่องจากอุณหภูมิในคานช่วงเดียว

- 1.1 หน่วยแรงที่เกิดขึ้นในสะพานช่วงเดียวทั้ง 1, 2 และ 3 ช่วงความยาว มีค่าใกล้เคียงศูนย์
- 1.2 จำนวนช่วงความยาวของสะพานที่เพิ่มขึ้นไม่มีผลต่อการเปลี่ยนแปลงพฤติกรรมหน่วยแรงที่เกิดขึ้นในร่าง

2. หน่วยแรงที่เกิดขึ้นเนื่องจากแรงเบรกในคานช่วงเดียว (Simple Beam)



รูปที่ 4.10 กราฟแสดงหน่วยแรงที่เกิดขึ้นเนื่องจากแรงเบรกในคานช่วงเดียว

2.1 เกิดหน่วยแรงสูงสุดในร่างที่สะพานช่วงเดียว (Simple Beam) 1, 2 และ 3 ช่วงความยาว แบ่งเป็น

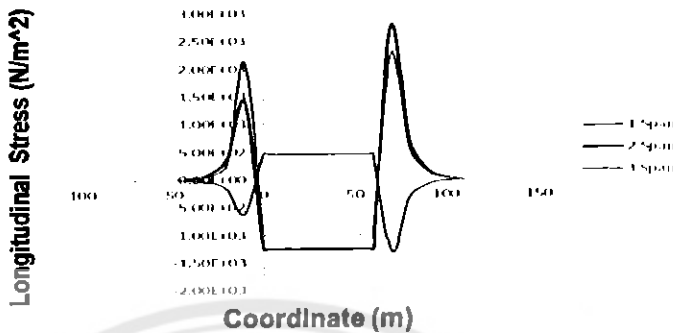
- หน่วยแรงดึงสูงสุดเกิดที่จุดรองรับยึดหมุน (Hinge Support) มีค่าเท่ากับ 0.424 เท่าของหน่วยแรงดึงที่ยอมให้
- หน่วยแรงอัดสูงสุดเกิดที่จุดรองรับยึดหมุนเคลื่อนที่ (Roller Support) มีค่าเท่ากับ 0.542 เท่าของหน่วยแรงอัดที่ยอมให้

2.2 พฤติกรรมหน่วยแรงที่เกิดขึ้นในร่างเริ่มจากเกิดหน่วยแรงดึงสูงสุดที่จุดรองรับยึดหมุน (Hinge Support) จากนั้นลงมาเกิดเป็นหน่วยแรงอัดสูงสุดที่จุดรองรับยึดหมุนเคลื่อนที่ (Roller Support)

2.3 จำนวนช่วงความยาวของสะพานที่เพิ่มขึ้นไม่มีผลต่อการเปลี่ยนแปลงพฤติกรรมหน่วยแรงที่เกิดขึ้นในร่าง

2.4 เมื่อเพิ่มจำนวนช่วงความยาวของสะพานจาก 1 ช่วงความยาว เป็น 2 และ 3 ช่วงความยาว ไม่ทำให้หน่วยแรงที่เกิดขึ้นเปลี่ยนแปลงไปจากเดิม

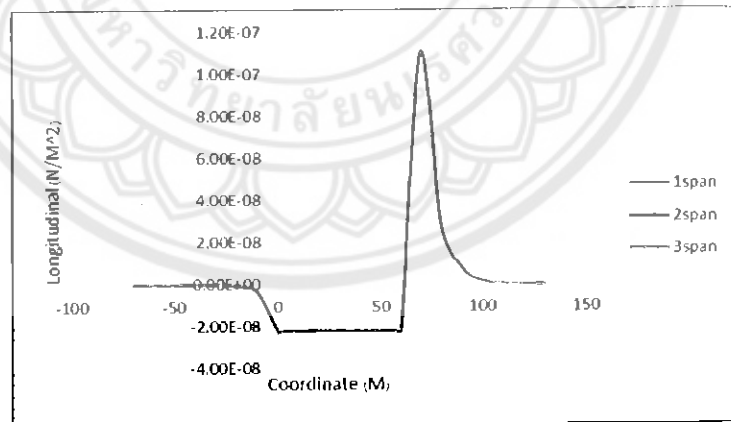
3. หน่วยแรงที่เกิดขึ้นเนื่องจากการแย่นตัวในคานช่วงเดียว (Simple Beam)



รูปที่ 4.11 กราฟแสดงหน่วยแรงที่เกิดขึ้นเนื่องจากการแย่นตัวในคานช่วงเดียว

- 3.1 หน่วยแรงที่เกิดขึ้นในสะพานช่วงเดียวทั้ง 1, 2 และ 3 ช่วงความยาว มีค่าใกล้เคียงศูนย์
- 3.2 จำนวนช่วงความยาวของสะพานที่เพิ่มขึ้นไม่ผลต่อการเปลี่ยนแปลงพฤติกรรมหน่วยแรงที่เกิดขึ้นในร่าง คือ สะพาน 2 และ 3 ช่วงความยาวจะเกิดหน่วยแรงอัดบริเวณกลางสะพาน แต่สะพาน 1 ช่วงความยาว บริเวณกลางสะพานจะเกิดหน่วยแรงดึงแทน

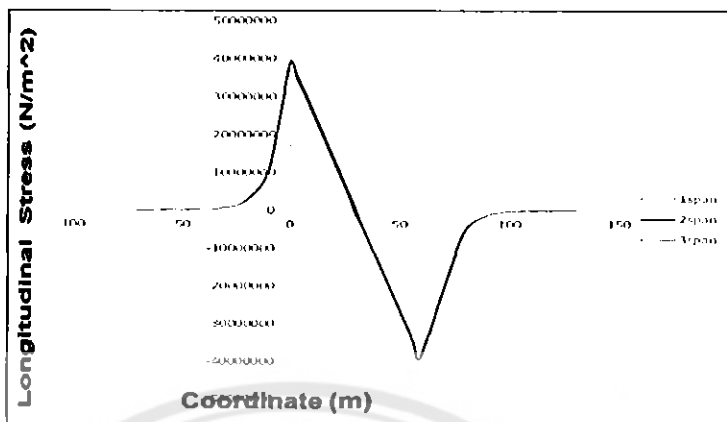
4. หน่วยแรงที่เกิดขึ้นเนื่องจากอุณหภูมิในคานต่อเนื่อง (Continuous Beam)



รูปที่ 4.12 กราฟแสดงหน่วยแรงที่เกิดขึ้นเนื่องจากอุณหภูมิในคานต่อเนื่อง

- 4.1 หน่วยแรงที่เกิดขึ้นในสะพานช่วงเดียวทั้ง 1, 2 และ 3 ช่วงความยาว มีค่าใกล้เคียงศูนย์
- 4.2 จำนวนช่วงความยาวของสะพานที่เพิ่มขึ้นไม่มีผลต่อการเปลี่ยนแปลงพฤติกรรมหน่วยแรงที่เกิดขึ้นในร่าง

5. หน่วยแรงที่เกิดขึ้นเนื่องจากแรงเบรกในคานต่อเนื่อง (Continuous Beam)



รูปที่ 4.13 กราฟแสดงหน่วยแรงที่เกิดขึ้นเนื่องจากแรงเบรกในคานต่อเนื่อง

5.1 เกิดหน่วยแรงสูงสุดในร่างที่สะพานช่วงเดียว (Continuous Beam) 1, 2 และ 3 ช่วงความยาว แบ่งเป็น

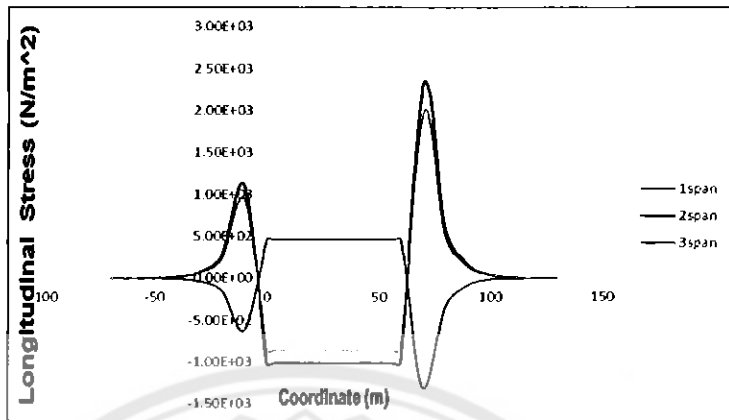
- หน่วยแรงดึงสูงสุดเกิดที่จุดรองรับยึดหมุน (Hinge Support) มีค่าเท่ากับ 0.424 เท่าของหน่วยแรงดึงที่ยอมให้
- หน่วยแรงอัดสูงสุดเกิดที่จุดรองรับยึดหมุนเคลื่อนที่ (Roller Support) มีค่าเท่ากับ 0.542 เท่าของหน่วยแรงอัดที่ยอมให้

5.2 หาดิกรรบหน่วยแรงที่เกิดขึ้นในร่างเริ่มจากเกิดหน่วยแรงดึงสูงสุดที่จุดรองรับยึดหมุน (Hinge Support) จนนั้นลงมาเกิดเป็นหน่วยแรงอัดสูงสุดที่จุดรองรับยึดหมุนเคลื่อนที่ (Roller Support)

5.3 จำนวนช่วงความยาวของสะพานที่เพิ่มขึ้นไม่มีผลต่อการเปลี่ยนแปลงพุติกรรมหน่วยแรงที่เกิดขึ้นในร่าง

5.4 เมื่อเพิ่มจำนวนช่วงความยาวของสะพานจาก 1 ช่วงความยาว เป็น 2 และ 3 ช่วงความยาว ไม่ทำให้หน่วยแรงที่เกิดขึ้นเปลี่ยนแปลงไปจากเดิม

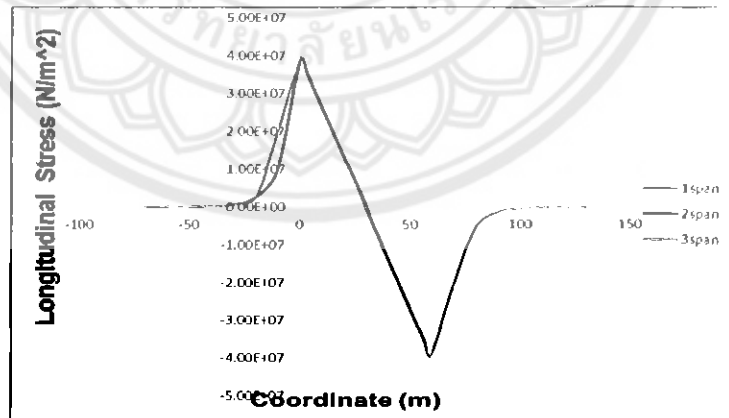
6. หน่วยแรงที่เกิดขึ้นเนื่องจากการแ่อนตัวในคานต่อเนื่อง (Continuous Beam)



รูปที่ 4.14 กราฟแสดงหน่วยแรงที่เกิดขึ้นเนื่องจากการแ่อนตัวในคานต่อเนื่อง

- 6.1 หน่วยแรงที่เกิดขึ้นในสะพานช่วงเดียวทั้ง 1, 2 และ 3 ช่วงความยาว มีค่าใกล้เคียงศูนย์
- 6.2 จำนวนช่วงความยาวของสะพานที่เพิ่มขึ้นมีผลต่อการเปลี่ยนแปลงพฤติกรรมหน่วยแรงที่เกิดขึ้นในร่าง คือ สะพาน 2 และ 3 ช่วงความยาวจะเกิดหน่วยแรงอัดบริเวณกลางสะพาน แต่สะพาน 1 ช่วงความยาว บริเวณกลางสะพานจะเกิดหน่วยแรงดึงแทน

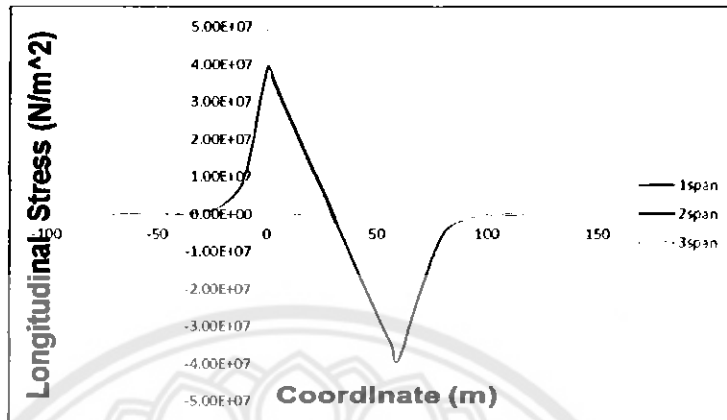
7. ผลกระทบหน่วยแรงที่เกิดขึ้นจากอุณหภูมิ แรงเบรกและการแ่อนตัวในสะพานช่วงเดียว (Simple Beam)



รูปที่ 4.15 กราฟแสดงผลกระทบหน่วยแรงที่เกิดจากอุณหภูมิ แรงเบรกและการแ่อนตัวสะพานช่วงเดียว

สะพานช่วงเดียว 1, 2 และ 3 ช่วงความยาวเกิดหน่วยแรงสูงสุดเนื่องจากอุณหภูมิ แรงเบรก และการแ่อนตัว โดยที่ หน่วยแรงดึงสูงสุดเป็น 0.424 เท่าของหน่วยแรงดึงที่ยอมให้ และหน่วยแรงอัดสูงสุดเป็น 0.542 เท่าของหน่วยแรงอัดที่ยอมให้

8. ผลกระทบหน่วยแรงที่เกิดขึ้นจากอุณหภูมิ แรงเบรกและการแอล์ตัวในสะพานต่อเนื่อง
(Continuous Beam)



รูปที่ 4.16 กราฟแสดงผลกระทบหน่วยแรงที่เกิดจากอุณหภูมิ แรงเบรกและการแอล์ตัวสะพานต่อเนื่อง

สะพานช่วงเดียว 1, 2 และ 3 ช่วงความยาวเกิดหน่วยแรงสูงสุดเนื่องจากอุณหภูมิ แรงเบรก และการแอล์ตัว โดยที่ หน่วยแรงดึงสูงสุดเป็น 0.424 เท่าของหน่วยแรงดึงที่ยอมให้ และหน่วยแรงอัด สูงสุดเป็น 0.542 เท่าของหน่วยแรงอัดที่ยอมให้

สรุปผลการวิเคราะห์หน่วยแรงที่เกิดขึ้นการณ์ติดตั้ง Zero Longitudinal Restraint (ZLR)

- จำนวนช่วงความยาวที่เพิ่มมากขึ้นในสะพานช่วงเดียว (Simple Beam) และสะพานต่อเนื่อง (Continuous Beam) ไม่มีผลให้หน่วยแรงที่เกิดขึ้นในร่างเปลี่ยนแปลง
- ตำแหน่งที่เกิดหน่วยแรงสูงสุดในสะพานช่วงเดียว (Simple Beam)
 - ที่จุดรองรับยึดหมุน (Hinge Support) หน่วยแรงที่เกิดขึ้นเนื่องจากแรงเบรกมีค่าสูงสุดที่ 3.900×10^7 นิวตัน/ตร.ม
 - บริเวณกลางสะพาน หน่วยแรงที่เกิดขึ้นเนื่องจากการแอล์ตัวที่เปลี่ยนแปลงมีค่าสูงสุดที่ 4.630×10^2 นิวตัน/ตร.ม
 - ที่จุดรองรับยึดหมุนเคลื่อนที่ (Roller Support) หน่วยแรงที่เกิดขึ้นเนื่องจากแรงเบรกที่เปลี่ยนแปลงมีค่าสูงสุดที่ 3.900×10^7 นิวตัน/ตร.ม
- ตำแหน่งที่เกิดหน่วยแรงสูงสุดในสะพานต่อเนื่อง (Continuous Beam)
 - ที่จุดรองรับยึดหมุน (Hinge Support) หน่วยแรงที่เกิดขึ้นเนื่องจากแรงเบรกมีค่าสูงสุดที่ 3.900×10^7 นิวตัน/ตร.ม
 - บริเวณกลางสะพาน หน่วยแรงที่เกิดขึ้นเนื่องจากการแอล์ตัวที่เปลี่ยนแปลงมีค่าสูงสุดที่ 4.630×10^2 นิวตัน/ตร.ม
 - ที่จุดรองรับยึดหมุนเคลื่อนที่ (Roller Support) หน่วยแรงที่เกิดขึ้นเนื่องจากแรงเบรกที่เปลี่ยนแปลงมีค่าสูงสุดที่ 3.900×10^7 นิวตัน/ตร.ม

4. สะพานแบบซ่างเดียวและสะพานแบบต่อเนื่องมีเพิ่มจำนวนซ่างความยาวมากขึ้นไม่สามารถทำให้หน่วยแรงที่เกิดขึ้นเนื่องจากอุณหภูมิ แรงเบรกและการแอนต์วเปลี่ยนแปลงไปแต่อย่างทำให้หน่วยแรงที่เกิดขึ้นเนื่องจากแรงเบรกมีค่ามากกว่ากรณีเดิมตั้ง ZLR ประมาณสองเท่า ส่วนหน่วยแรงที่เกิดขึ้นเนื่องจากอุณหภูมิและการแอนต์วมีค่าน้อยมากจนเข้าใกล้ศูนย์



บทที่ 5

สรุปผลการทดลองและข้อเสนอแนะ

โครงการศึกษานี้มุ่งเน้นศึกษาและเปรียบเทียบปัจจัยที่ส่งผลให้เกิดหน่วยแรงในรางรถไฟ เนื่องจากอุณหภูมิ แรงเบรก การแอ่นตัว ประเภทของสะพาน จำนวนช่วงความยาวของสะพาน และหน่วยแรงที่เปลี่ยนแปลงไปหลังติดตั้งหมุดยึดรางประเภท ZLR ซึ่งผลการวิเคราะห์ได้สรุป ความสัมพันธ์ดังนี้

5.1. สรุปผลการวิเคราะห์

5.1.1. อุณหภูมิ (Temperature)

การณีติดตั้งวัสดุยึดรางแบบปกติ เกิดหน่วยแรงดึงสูงสุดบริเวณกึ่งกลางของช่วงความยาวสะพานและเกิดหน่วยแรงอัดสูงสุด บริเวณจุดรองรับยึดหมุนเคลื่อนที่ (Roller Support)

การณีติดตั้งวัสดุยึดรางแบบยอมให้เคลื่อนที่ได้ตามยาว เกิดหน่วยแรงอัดสูงสุดตลอดช่วงความยาวสะพานและเกิดหน่วยแรงดึงสูงสุดบริเวณจุดรองรับยึดหมุนเคลื่อนที่ (Roller Support)

5.1.2. แรงเบรก (Braking)

การณีติดตั้งวัสดุยึดรางแบบปกติ เกิดหน่วยแรงดึงสูงสุดบริเวณจุดรองรับยึดหมุน (Hinge Support) และเกิดหน่วยแรงอัดสูงสุดบริเวณจุดรองรับยึดหมุนเคลื่อนที่ (Roller Support)

การณีติดตั้งวัสดุยึดรางแบบยอมให้เคลื่อนที่ได้ตามยาว เกิดหน่วยแรงอัดสูงสุดบริเวณจุดรองรับยึดหมุน (Hinge Support) และเกิดหน่วยแรงอัดสูงสุดบริเวณจุดรองรับยึดหมุนเคลื่อนที่ (Roller Support)

5.1.3 การแอ่นตัวของสะพาน (Bridge Deflection)

การณีติดตั้งวัสดุยึดรางแบบปกติ เกิดหน่วยแรงดึงสูงสุดบริเวณจุดรองรับยึดหมุน (Hinge Support) และเกิดหน่วยแรงอัดสูงสุดบริเวณจุดรองรับยึดหมุนเคลื่อนที่ (Roller Support)

การณีติดตั้งวัสดุยึดรางแบบยอมให้เคลื่อนที่ได้ตามยาว เกิดหน่วยแรงอัดสูงสุดบริเวณจุดรองรับยึดหมุน (Hinge Support) และเกิดหน่วยแรงอัดสูงสุดบริเวณจุดรองรับยึดหมุนเคลื่อนที่ (Roller Support)

5.1.4 ประเภทของสะพาน

5.1.4.1 สะพานแบบคานช่วงเดียว (Simple Beam)

กรณีติดตั้งวัสดุยึดรางแบบปกติ

หน่วยแรงดึงสูงสุดเป็น 0.572 เท่าของหน่วยแรงดึงที่ยอมให้
หน่วยแรงอัดสูงสุดเป็น 2.778 เท่าของหน่วยแรงอัดที่ยอมให้

กรณีติดตั้งวัสดุยึดรางแบบยอมให้เคลื่อนที่ได้ตามยาว

หน่วยแรงดึงสูงสุดเป็น 0.424 เท่าของหน่วยแรงดึงที่ยอมให้
หน่วยแรงอัดสูงสุดเป็น 0.542 เท่าของหน่วยแรงอัดที่ยอมให้

5.1.4.2 สะพานแบบคานต่อเนื่อง (Continuous Beam)

กรณีติดตั้งวัสดุยึดรางแบบปกติ

หน่วยแรงดึงสูงสุดเป็น 0.646 เท่าของหน่วยแรงดึงที่ยอมให้
หน่วยแรงอัดสูงสุดเป็น 3.014 เท่าของหน่วยแรงอัดที่ยอมให้

กรณีติดตั้งวัสดุยึดรางแบบยอมให้เคลื่อนที่ได้ตามยาว

หน่วยแรงดึงสูงสุดเป็น 0.424 เท่าของหน่วยแรงดึงที่ยอมให้
หน่วยแรงอัดสูงสุดเป็น 0.542 เท่าของหน่วยแรงอัดที่ยอมให้

สะพานแบบคานช่วงเดียว (Simple Beam) เกิดหน่วยแรงในร่างน้อยกว่าสะพานแบบคานต่อเนื่อง (Continuous Beam)

5.1.4 จำนวนช่วงความยาวสะพาน

กรณีติดตั้งวัสดุยึดรางแบบปกติ

เกิดหน่วยแรงสูงสุดในสะพานแบบคานต่อเนื่อง 3 ช่วงความยาว
เกิดหน่วยแรงต่ำสุดในสะพานแบบคานช่วงเดียว 3 ช่วงความยาว

กรณีติดตั้งวัสดุยึดรางแบบยอมให้เคลื่อนที่ได้ตามยาว

เกิดหน่วยแรงมากสุดไม่แตกต่างกันของทุกจำนวนช่วงความยาวของ สะพาน
เกิดหน่วยแรงน้อยสุดไม่แตกต่างกันของทุกจำนวนช่วงความยาวของสะพาน

การมีจำนวนช่วงความยาวของสะพานมากขึ้นสามารถช่วยลดหน่วยแรงในร่างที่เกิดขึ้นลงได้

5.1.5. วัสดุยึดระวางแบบยกให้เคลื่อนที่ได้ตามยาว (Zero Longitudinal Restraint)

กรณีติดตั้งวัสดุยึดระวางแบบปกติ

สะพานแบบคานต่อเนื่อง (Continuous Beam) 3 ช่วงความยาว เกิดหน่วยแรงอัดสูงสุดเป็น 3.014 เท่าของหน่วยแรงอัดที่ยอมให้

กรณีติดตั้งวัสดุยึดระวางแบบยกให้เคลื่อนที่ได้ตามยาว

สะพานแบบคานต่อเนื่อง (Continuous Beam) 3 ช่วงความยาว เกิดหน่วยแรงอัดสูงสุดเป็น 0.542 เท่าของหน่วยแรงอัดที่ยอมให้

สรุป

1. การติดตั้ง ZLR ทำให้หน่วยแรงในร่างเขื่อมยาวลดลง
2. การติดตั้ง ZLR ทำให้ผลกระหطمของจำนวนช่วงความยาวของสะพานหายไปและทำให้สะพานและร่างเป็นอิสระจากกัน
3. การติดตั้ง ZLR ทำให้พฤติกรรมของสะพาน Simple Beam กับ Continuous Beam ไม่แตกต่างกัน

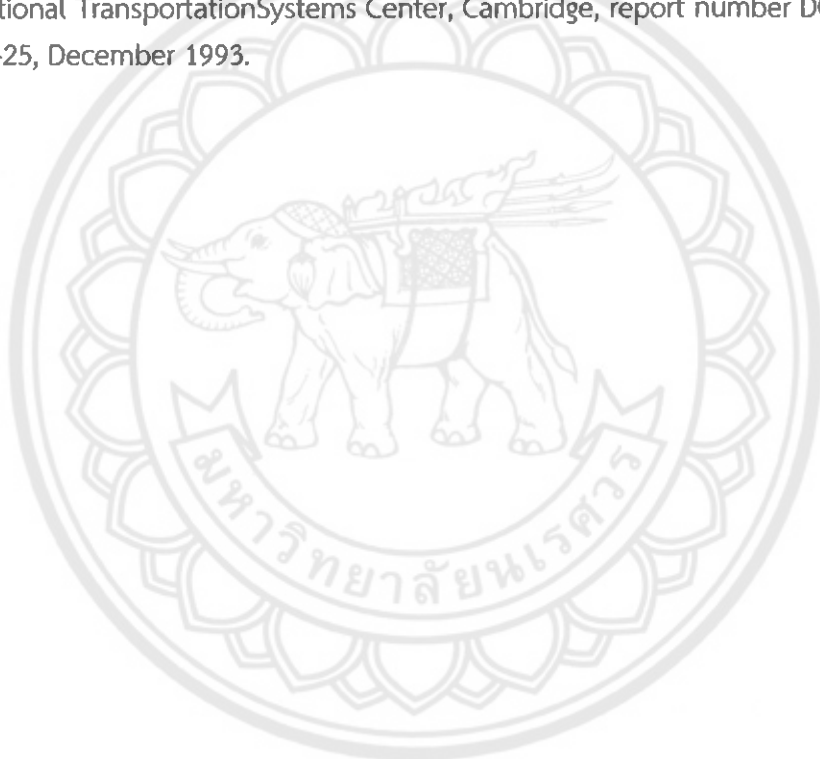
5.2. ข้อเสนอแนะ

ตำแหน่งที่เสี่ยงต่อการเกิดอันตรายบนร่างรถไฟแบบรางเขื่อมยาว คือ ตำแหน่งที่เกิดหน่วยแรงดึงสูงสุดและหน่วยแรงอัดสูงสุด เพราะตำแหน่งที่เกิดหน่วยแรงดึงสูงจะเป็นเหตุให้เกิดการขาดของรอยเชื่อมบริเวณจุดต่อร่าง ส่วนตำแหน่งที่เกิดหน่วยแรงอัดสูงสุดจะเป็นเหตุให้มีโอกาสเกิดการแยกตัวของร่าง

เนื่องจากการติดตั้ง ZLR ทำให้ร่างและสะพานเป็นอิสระจากกัน จึงสามารถช่วยลดหน่วยแรงในร่างเขื่อมยาวลงได้ สิ่งจะลดโอกาสการเกิดความเสียหายของร่างเขื่อมยาว ทำให้เพิ่มความปลอดภัยเนื่องจากการแยกตัวร่างและการขาดของรอยเชื่อมร่างได้

เอกสารอ้างอิง

- [1]UIC 774-3
- [2]UIC 776-2R
- [3]UIC 776-2R
- [4] DAVIDS, G.A., Federal Viewpoint, AREA Bulletin no. 683,1981.
- [5] DIETERMAN, H.A. and M.A. VAN, Dynamic stability of cWR-track, Description of the CWERRIprogram,TU Delft, September 1993.
- [6] SAMAVEDAM, G. , A. KISH, A. PURPLE and J. SCHOENGART, Parametric Analysis and Safety Concepts of CWR Buckling, U.s. Department of Transportation, John A. Volpe National Transportation Systems Center, Cambridge, report number DOT-VNTSC-FRA-93-25, December 1993.





ภาคผนวก ก หน่วยแรงที่เกิดขึ้นในร่าง

ตาราง ก.1 หน่วยแรงที่เกิดขึ้นเนื่องจากอุณหภูมิในโครงสร้างสะพานแบบคานช่วงเดียว
กรณีใช้วัสดุยืดแรงแบบปกติ

DISP.(m)	หน่วยแรงเนื่องจากอุณหภูมิ (N/m^2)		
	1 ช่วงความยาว	2 ช่วงความยาว	3 ช่วงความยาว
-70	-3.53E+03	-3.96E+03	-9.03E+01
-60	-1.38E+04	-1.55E+04	-3.52E+02
-50	-5.37E+04	-6.04E+04	-1.38E+03
-40	-2.10E+05	-2.36E+05	-5.68E+02
-30	-8.18E+05	-9.19E+05	-2.10E+04
-20	-3.19E+06	-3.59E+06	-8.18E+05
-10	-1.25E+07	-1.40E+07	-3.19E+05
0	-4.86E+07	-4.21E+07	5.16E+06
3	-2.96E+05	2.94E+06	2.72E+07
6	2.67E+07	2.77E+07	3.74E+07
9	4.18E+07	4.08E+07	3.92E+07
12	5.02E+07	4.68E+07	3.34E+07
15	5.48E+07	4.78E+07	1.79E+07
18	5.73E+07	4.41E+07	-1.24E+07
21	5.86E+07	3.45E+07	-2.18E+07
24	5.92E+07	1.56E+07	1.07E+07
27	5.94E+07	-1.89E+07	2.60E+07
30	5.92E+07	-8.03E+07	2.91E+07
33	5.87E+07	-1.07E+07	2.14E+07
36	5.77E+07	1.96E+07	3.53E+04
39	5.59E+07	3.59E+07	-4.23E+07
42	5.27E+07	4.37E+07	-1.44E+07
45	4.72E+07	4.58E+07	1.37E+07
48	3.73E+07	4.28E+07	2.55E+07
51	1.98E+07	3.36E+07	2.51E+07
54	-1.14E+07	1.52E+07	1.25E+07

ตาราง ก.1(ต่อ) หน่วยแรงที่เกิดขึ้นเนื่องจากอุณหภูมิในโครงสร้างสะพานแบบคานช่วง
เดียว กรณีใช้วัสดุยืดหยุ่นแบบปากติ

DISP.(m)	หน่วยแรงเนื่องจากอุณหภูมิ (N/m^2)		
	1 ช่วงความยาว	2 ช่วงความยาว	3 ช่วงความยาว
57	-6.70E+07	-1.88E+07	-1.68E+07
60	-1.66E+08	-6.50E+07	-5.87E+07
70	-1.05E+08	-4.35E+07	-3.94E+07
80	-2.69E+07	-1.11E+07	-1.01E+07
90	-6.90E+06	-2.86E+06	-2.59E+06
100	-1.77E+06	-7.32E+05	-6.63E+05
110	-4.53E+05	-1.88E+05	-1.70E+04
120	-1.16E+05	-4.81E+04	-4.36E+04
130	-2.97E+04	-1.23E+04	-1.12E+04

หมายเหตุ ระยะ DISP. ที่ 0 เมตร คือ ระยะเข้าสะพาน

ค่าบวก หมายถึง เกิดหน่วยแรงดึง

ค่าลบ หมายถึง เกิดหน่วยแรงอัด

ตาราง ก.2 หน่วยแรงที่เกิดขึ้นเนื่องจากอุณหภูมิในโครงสร้างสะพานแบบคานต่อเนื่องกรณีใช้วัสดุยึดรางแบบปกติ

DISP.(m)	หน่วยแรงเนื่องจากอุณหภูมิ (N/m^2)		
	1 ช่วงความยาว	2 ช่วงความยาว	3 ช่วงความยาว
-70	-3.53E+03	-3.39E+03	-3.32E+03
-60	-1.38E+04	-1.32E+04	-1.30E+04
-50	-5.37E+04	-5.16E+04	-5.06E+04
-40	-2.10E+05	-2.02E+05	-1.98E+05
-30	-8.18E+05	-7.87E+05	-7.71E+05
-20	-3.19E+06	-3.07E+06	-3.01E+06
-10	-1.25E+07	-1.20E+07	-1.17E+07
0	-4.86E+07	-4.67E+07	-3.42E+07
3	-2.96E+05	7.32E+06	7.68E+06
6	2.67E+07	3.09E+07	3.10E+07
9	4.18E+07	4.40E+07	4.39E+07
12	5.02E+07	5.13E+07	5.10E+07
15	5.48E+07	5.52E+07	5.49E+07
18	5.73E+07	5.73E+07	5.69E+07
21	5.86E+07	5.84E+07	5.80E+07
24	5.92E+07	5.89E+07	5.86E+07
27	5.94E+07	5.89E+07	5.88E+07
30	5.92E+07	5.87E+07	5.87E+07
33	5.87E+07	5.81E+07	5.82E+07
36	5.77E+07	5.70E+07	5.73E+07
39	5.59E+07	5.50E+07	5.53E+07
42	5.27E+07	5.15E+07	5.18E+07
45	4.72E+07	4.53E+07	4.56E+07
48	3.73E+07	3.43E+07	3.45E+07
51	1.98E+07	1.46E+07	1.47E+07
54	-1.14E+07	-2.04E+07	-2.05E+07

ตาราง ก.2(ต่อ) หน่วยแรงที่เกิดขึ้นเนื่องจากอุณหภูมิในโครงสร้างสะพานแบบคานต่อเนื่อง
กรณีเชื้อสุดยึดรวมแบบปกติ

DISP.(m)	หน่วยแรงเนื่องจากอุณหภูมิ (N/m^2)		
	1 ช่วงความยาว	2 ช่วงความยาว	3 ช่วงความยาว
57	-6.70E+07	-8.29E+07	-8.33E+07
60	-1.66E+08	-1.94E+08	-1.95E+08
70	-1.05E+08	-1.05E+08	-1.06E+08
80	-2.69E+07	-2.70E+07	-2.71E+07
90	-6.90E+06	-6.92E+06	-6.95E+06
100	-1.77E+06	-1.77E+06	-1.78E+06
110	-4.53E+05	-4.54E+05	-4.56E+05
120	-1.16E+05	-1.16E+05	-1.17E+05
130	-2.97E+04	-2.98E+04	-2.99E+04

หมายเหตุ ระยะ DISP. ที่ 0 เมตร คือ ระยะเข้าสะพาน

ค่าบวก หมายถึง เกิดหน่วยแรงดึง

ค่าลบ หมายถึง เกิดหน่วยแรงอัด

ตาราง ก.3 หน่วยแรงที่เกิดขึ้นเนื่องจากแรงเบรกในโครงสร้างสะพานแบบคานช่วงเดียว
กรณีใช้รัศมีครองแบบปกติ

DISP.(m)	หน่วยแรงเนื่องจากแรงเบรก (N/m^2)		
	1 ช่วงความยาว	2 ช่วงความยาว	3 ช่วงความยาว
-70	1.57E+03	8.90E+02	8.13E+02
-60	6.11E+03	3.47E+03	3.17E+03
-50	2.39E+04	1.36E+04	1.24E+04
-40	9.31E+04	5.29E+04	4.83E+04
-30	3.63E+05	2.07E+05	1.89E+05
-20	1.42E+06	8.06E+05	7.36E+05
-10	5.53E+06	3.15E+06	2.87E+06
0	2.16E+07	1.17E+07	1.07E+07
3	1.27E+07	6.83E+06	6.26E+06
6	7.34E+06	4.15E+06	3.79E+06
9	4.30E+06	2.74E+06	2.48E+06
12	2.59E+06	2.09E+06	1.87E+06
15	1.62E+06	1.97E+06	1.75E+06
18	1.07E+06	2.34E+06	2.09E+06
21	7.45E+05	3.31E+06	3.12E+06
24	5.50E+05	5.20E+06	4.80E+06
27	4.22E+05	8.67E+06	9.91E+05
30	-4.57E+05	1.49E+07	4.01E+05
33	-5.53E+05	7.97E+06	-9.52E+05
36	-6.71E+05	4.48E+06	-1.71E+06
39	-8.46E+05	2.38E+06	-2.90E+06
42	-1.13E+06	9.56E+05	-1.61E+06
45	-1.62E+06	-1.05E+06	-1.58E+06
48	-2.46E+06	-2.48E+06	-1.92E+06
51	-3.95E+06	-4.58E+06	-2.74E+06
54	-6.60E+06	-8.08E+06	-4.32E+06

ตาราง ก.3(ต่อ) หน่วยแรงที่เกิดขึ้นเนื่องจากแรงเบรกในโครงสร้างสะพานแบบคานช่วง
เดียว การณ์ใช้วัสดุซีดรางแบบปกติ

DISP.(m)	หน่วยแรงเนื่องจากแรงเบรก (N/m^2)		
	1 ช่วงความยาว	2 ช่วงความยาว	3 ช่วงความยาว
57	-1.13E+07	-1.42E+07	-7.22E+06
60	-1.97E+07	-2.22E+07	-1.11E+07
70	-1.15E+07	-1.31E+07	-6.31E+06
80	-2.96E+06	-3.35E+06	-1.62E+06
90	-7.57E+05	-8.58E+05	-4.14E+05
100	-1.94E+05	-2.20E+05	-1.06E+05
110	-4.97E+04	-5.64E+04	-2.72E+04
120	-1.27E+04	-1.44E+04	-6.97E+03
130	-3.26E+03	-3.70E+03	-1.79E+03

หมายเหตุ ระยะ DISP. ที่ 0 เมตร คือ ระยะเข้าสะพาน

ค่าบวก หมายถึง เกิดหน่วยแรงดึง

ค่าลบ หมายถึง เกิดหน่วยแรงอัด

ตาราง ก.4 หน่วยแรงที่เกิดขึ้นเนื่องจากแรงเบรกในโครงสร้างสะพานแบบคานต่อเนื่องกรณีใช้วัสดุปูดรงแบบปกติ

DISP.(m)	หน่วยแรงเนื่องจากแรงเบรก (N/m^2)		
	1 ช่วงความยาว	2 ช่วงความยาว	3 ช่วงความยาว
-70	1.57E+03	1.48E+03	1.46E+03
-60	6.11E+03	5.76E+03	5.71E+03
-50	2.39E+04	2.25E+04	2.23E+04
-40	9.31E+04	8.78E+04	8.69E+04
-30	3.63E+05	3.43E+05	3.39E+05
-20	1.42E+06	1.34E+06	1.32E+06
-10	5.53E+06	5.22E+06	5.17E+06
0	2.16E+07	2.04E+07	1.87E+07
3	1.27E+07	1.08E+07	1.07E+07
6	7.34E+06	6.30E+06	6.29E+06
9	4.30E+06	3.78E+06	3.81E+06
12	2.59E+06	2.38E+06	2.43E+06
15	1.62E+06	1.60E+06	1.67E+06
18	1.07E+06	1.16E+06	1.24E+06
21	7.45E+05	9.22E+05	9.96E+05
24	5.50E+05	7.82E+05	8.28E+05
27	4.22E+05	6.90E+05	7.01E+05
30	-4.57E+05	6.06E+05	5.87E+05
33	-5.53E+05	5.01E+05	4.67E+05
36	-6.71E+05	-4.25E+05	3.16E+05
39	-8.46E+05	-6.41E+05	1.00E+05
42	-1.13E+06	-9.83E+05	-2.36E+05
45	-1.62E+06	-1.55E+06	-7.92E+05
48	-2.46E+06	-2.51E+06	-1.74E+06
51	-3.95E+06	-4.19E+06	-3.40E+06
54	-6.60E+06	-7.14E+06	-6.33E+06

ตาราง ก.4(ต่อ) หน่วยแรงที่เกิดขึ้นเนื่องจากแรงเบรกในโครงสร้างสะพานแบบคานต่อเนื่อง กรณีใช้วัสดุโครงแบบปอกติ

DISP.(m)	หน่วยแรงเนื่องจากแรงเบรก (N/m^2)		
	1 ช่วงความยาว	2 ช่วงความยาว	3 ช่วงความยาว
57	-1.13E+07	-1.24E+07	-1.15E+07
60	-1.97E+07	-2.09E+07	-2.07E+07
70	-1.15E+07	-1.13E+07	-1.12E+07
80	-2.96E+06	-2.90E+06	-2.88E+06
90	-7.57E+05	-7.43E+05	-7.38E+05
100	-1.94E+05	-1.90E+05	-1.89E+05
110	-4.97E+04	-4.88E+04	-4.84E+04
120	-1.27E+04	-1.25E+04	-1.24E+04
130	-3.26E+03	-3.20E+03	-3.18E+03

หมายเหตุ ระยะ DISP. ที่ 0 เมตร คือ ระยะเข้าสะพาน

ค่าบวก หมายถึง เกิดหน่วยแรงดึง

ค่าลบ หมายถึง เกิดหน่วยแรงอัด

ตาราง ก.5 หน่วยแรงที่เกิดขึ้นเนื่องจากการแอล์ตัวในโครงสร้างสะพานแบบคานช่วงเดียว
กรณีเชือดสุดยึดคงแบบปกติ

DISP.(m)	หน่วยแรงเนื่องจากการแอล์ตัว (N/m^2)		
	1 ช่วงความยาว	2 ช่วงความยาว	3 ช่วงความยาว
-70	5.31E+03	1.99E+02	2.60E+02
-60	2.07E+04	7.76E+02	1.01E+03
-50	8.09E+04	3.03E+03	3.96E+03
-40	3.16E+05	1.18E+04	1.55E+04
-30	1.23E+06	4.61E+04	6.03E+04
-20	4.81E+06	1.80E+05	2.35E+05
-10	1.88E+07	7.03E+05	9.19E+05
0	7.32E+07	2.25E+06	3.09E+06
3	3.89E+07	2.10E+05	1.23E+06
6	1.86E+07	-1.24E+06	1.24E+05
9	6.16E+06	-2.20E+06	-3.91E+05
12	-1.62E+06	-2.72E+06	-4.15E+05
15	-6.66E+06	-2.84E+06	1.33E+04
18	-1.00E+07	-2.53E+06	8.94E+05
21	-1.23E+07	-1.78E+06	1.07E+06
24	-1.38E+07	-5.17E+05	3.13E+04
27	-1.47E+07	1.40E+06	-5.83E+05
30	-1.52E+07	4.19E+06	-8.17E+05
33	-1.53E+07	9.08E+05	-7.04E+05
36	-1.51E+07	-8.79E+05	-2.73E+05
39	-1.46E+07	-2.03E+06	4.38E+05
42	-1.39E+07	-2.68E+06	-8.43E+04
45	-1.30E+07	-2.86E+06	-7.51E+05
48	-1.23E+07	-2.59E+06	-1.18E+06
51	-1.20E+07	-1.86E+06	-1.40E+06
54	-1.27E+07	-5.97E+05	-1.47E+06

ตาราง ก.5(ต่อ) หน่วยแรงที่เกิดขึ้นเนื่องจากการแ่อนตัวในโครงสร้างสะพานแบบคานช่วง
เดียว กรณีใช้วัสดุยึดคงแบบปกติ

DISP.(m)	หน่วยแรงเนื่องจากการแ่อนตัว (N/m^2)		
	1 ช่วงความยาว	2 ช่วงความยาว	3 ช่วงความยาว
57	-1.56E+07	1.34E+06	-1.51E+06
60	-2.26E+07	3.54E+06	-1.68E+06
70	-1.35E+07	2.28E+06	-9.52E+05
80	-3.47E+06	5.83E+05	-2.44E+05
90	-8.88E+05	1.49E+05	-6.25E+04
100	-2.28E+05	3.83E+04	-1.60E+04
110	-5.83E+04	9.81E+03	-4.10E+03
120	-1.49E+04	2.51E+03	-1.05E+03
130	-3.83E+03	6.44E+02	-2.69E+02

หมายเหตุ ระยะ DISP. ที่ 0 เมตร คือ ระยะเข้าสะพาน

ค่าบวก หมายถึง เกิดหน่วยแรงดึง

ค่าลบ หมายถึง เกิดหน่วยแรงอัด

ตาราง ก.6 หน่วยแรงที่เกิดขึ้นเนื่องจากการแย่นตัวในโครงสร้างสะพานแบบคานต่อเนื่อง
กรณีใช้วัสดุยีดรางแบบปกติ

DISP.(m)	หน่วยแรงเนื่องจากการแย่นตัว (N/m^2)		
	1 ช่วงความยาว	2 ช่วงความยาว	3 ช่วงความยาว
-70	5.31E+03	3.95E+02	1.72E+02
-60	2.07E+04	1.54E+03	6.70E+02
-50	8.09E+04	6.02E+03	2.61E+03
-40	3.16E+05	2.35E+04	1.02E+04
-30	1.23E+06	9.16E+04	3.98E+04
-20	4.81E+06	3.58E+05	1.55E+05
-10	1.88E+07	1.40E+06	6.07E+05
0	7.32E+07	4.72E+06	2.02E+06
3	3.89E+07	1.94E+06	6.97E+05
6	1.86E+07	2.21E+05	-8.98E+04
9	6.16E+06	-7.60E+05	-4.57E+05
12	-1.62E+06	-1.20E+06	-4.92E+05
15	-6.66E+06	-1.20E+06	-2.82E+05
18	-1.00E+07	-8.73E+05	5.14E+04
21	-1.23E+07	-2.89E+05	3.07E+05
24	-1.38E+07	4.32E+05	2.63E+05
27	-1.47E+07	1.10E+06	1.56E+05
30	-1.52E+07	1.40E+06	1.13E+05
33	-1.53E+07	9.41E+05	1.63E+05
36	-1.51E+07	1.88E+05	2.54E+05
39	-1.46E+07	-5.92E+05	2.23E+05
42	-1.39E+07	-1.25E+06	-1.28E+05
45	-1.30E+07	-1.72E+06	-5.41E+05
48	-1.23E+07	-1.98E+06	-8.67E+05
51	-1.20E+07	-2.04E+06	-1.05E+06
54	-1.27E+07	-2.00E+06	-1.08E+06

ตาราง ก.6(ต่อ) หน่วยแรงที่เกิดขึ้นเนื่องจากการแผ่นดินไหวในโครงสร้างสะพานแบบคาน
ท่อเนื่อง กรณีใช้วัสดุยืดتر่างแบบปกติ

DISP.(m)	หน่วยแรงเนื่องจากการแผ่นดินไหว (N/m^2)		
	1 ช่วงความยาว	2 ช่วงความยาว	3 ช่วงความยาว
57	-1.56E+07	-1.99E+06	-1.05E+06
60	-2.26E+07	-2.29E+06	-1.12E+06
70	-1.35E+07	-1.24E+06	-6.04E+05
80	-3.47E+06	-3.18E+05	-1.55E+05
90	-8.88E+05	-8.15E+04	-3.96E+04
100	-2.28E+05	-2.09E+04	-1.02E+04
110	-5.83E+04	-5.35E+03	-2.60E+03
120	-1.49E+04	-1.37E+03	-6.67E+02
130	-3.83E+03	-3.51E+02	-1.71E+02

หมายเหตุ ระยะ DISP. ที่ 0 เมตร คือ ระยะเข้าสะพาน

ค่าบวก หมายถึง เกิดหน่วยแรงดึง

ค่าลบ หมายถึง เกิดหน่วยแรงอัด

ตาราง ก.7 ผลรวมหน่วยแรงที่เกิดขึ้นเนื่องจากอุณหภูมิ แรงเบรกและการแอ่นตัวในโครงสร้างสะพานแบบคานช่วงเดียว กรณีใช้วัสดุยืดแรงแบบปานกลาง

DISP.(m)	ผลรวมหน่วยแรงที่เกิดขึ้นเนื่องจากอุณหภูมิ แรงเบรกและการแอ่นตัว (N/m^2)		
	1 ช่วงความยาว	2 ช่วงความยาว	3 ช่วงความยาว
-70	3.35E+03	-2.87E+03	9.83E+02
-60	1.31E+04	-1.12E+04	3.84E+03
-50	5.10E+04	-4.38E+04	1.50E+04
-40	1.99E+05	-1.71E+05	6.32E+04
-30	7.77E+05	-6.67E+05	2.28E+05
-20	3.03E+06	-2.60E+06	1.54E+05
-10	1.18E+07	-1.02E+07	3.47E+06
0	4.62E+07	-2.81E+07	1.90E+07
3	5.14E+07	9.98E+06	3.47E+07
6	5.26E+07	3.06E+07	4.13E+07
9	5.22E+07	4.14E+07	4.13E+07
12	5.11E+07	4.62E+07	3.48E+07
15	4.97E+07	4.69E+07	1.97E+07
18	4.83E+07	4.39E+07	-9.43E+06
21	4.71E+07	3.60E+07	-1.76E+07
24	4.60E+07	2.03E+07	1.26E+07
27	4.50E+07	-8.86E+06	2.64E+07
30	4.35E+07	-6.12E+07	2.87E+07
33	4.28E+07	-1.87E+06	1.97E+07
36	4.19E+07	2.33E+07	-1.94E+06
39	4.05E+07	3.63E+07	-4.48E+07
42	3.77E+07	4.20E+07	-1.61E+07
45	3.25E+07	4.19E+07	1.13E+07
48	2.26E+07	3.77E+07	2.24E+07
51	3.86E+06	2.72E+07	2.10E+07
54	-3.07E+07	6.54E+06	6.69E+06

ตาราง ก.7(ต่อ) ผลรวมหน่วยแรงที่เกิดขึ้นเนื่องจากอุณหภูมิ แรงเบรกและการแ่อนตัวในโครงสร้างสะพานแบบคานช่วงเดียว กรณีใช้รัศมีครองแบบปกติ

DISP.(m)	ผลรวมหน่วยแรงที่เกิดขึ้นเนื่องจากอุณหภูมิ แรงเบรกและการแ่อนตัว (N/m^2)		
	1 ช่วงความยาว	2 ช่วงความยาว	3 ช่วงความยาว
57	-9.39E+07	-3.17E+07	-2.55E+07
60	-2.09E+08	-8.37E+07	-7.15E+07
70	-1.30E+08	-5.43E+07	-4.67E+07
80	-3.33E+07	-1.39E+07	-1.20E+07
90	-8.54E+06	-3.57E+06	-3.07E+06
100	-2.19E+06	-9.14E+05	-7.86E+05
110	-5.61E+05	-2.34E+05	-4.83E+04
120	-1.44E+05	-6.00E+04	-5.16E+04
130	-3.68E+04	-1.54E+04	-1.32E+04

หมายเหตุ ระยะ DISP. ที่ 0 เมตร คือ ระยะเข้าสะพาน

ค่าบวก หมายถึง เกิดหน่วยแรงดึง

ค่าลบ หมายถึง เกิดหน่วยแรงอัด

ตาราง ก.8 ผลรวมหน่วยแรงที่เกิดขึ้นเนื่องจากอุณหภูมิ แรงเบรกและการแอล์ตัวในโครงสร้างสะพานแบบคานต่อเนื่อง กรณีใช้รัศมีครองแบบปกติ

DISP.(m)	ผลรวมหน่วยแรงที่เกิดขึ้นเนื่องจากอุณหภูมิ แรงเบรกและการแอล์ตัว (N/m^2)		
	1 ช่วงความยาว	2 ช่วงความยาว	3 ช่วงความยาว
-70	3.35E+03	-1.52E+03	-1.69E+03
-60	1.31E+04	-5.92E+03	-6.59E+03
-50	5.10E+04	-2.31E+04	-2.57E+04
-40	1.99E+05	-9.02E+04	-1.00E+05
-30	7.77E+05	-3.52E+05	-3.92E+05
-20	3.03E+06	-1.37E+06	-1.53E+06
-10	1.18E+07	-5.36E+06	-5.97E+06
0	4.62E+07	-2.17E+07	-1.34E+07
3	5.14E+07	2.01E+07	1.91E+07
6	5.26E+07	3.74E+07	3.72E+07
9	5.22E+07	4.70E+07	4.72E+07
12	5.11E+07	5.25E+07	5.29E+07
15	4.97E+07	5.56E+07	5.62E+07
18	4.83E+07	5.76E+07	5.82E+07
21	4.71E+07	5.90E+07	5.93E+07
24	4.60E+07	6.01E+07	5.97E+07
27	4.50E+07	6.07E+07	5.96E+07
30	4.35E+07	6.07E+07	5.94E+07
33	4.28E+07	5.95E+07	5.89E+07
36	4.19E+07	5.67E+07	5.78E+07
39	4.05E+07	5.38E+07	5.57E+07
42	3.77E+07	4.93E+07	5.15E+07
45	3.25E+07	4.20E+07	4.43E+07
48	2.26E+07	2.98E+07	3.19E+07
51	3.86E+06	8.40E+06	1.03E+07
54	-3.07E+07	-2.95E+07	-2.79E+07

ตาราง ก.8(ต่อ) ผลรวมหน่วยแรงที่เกิดขึ้นเนื่องจากอุณหภูมิ แรงเบรกและการแย่นตัวในโครงสร้างสะพานแบบคานต่อเนื่อง กรณีใช้วัสดุบีดรงแบบปากติ

DISP.(m)	ผลรวมหน่วยแรงที่เกิดขึ้นเนื่องจากอุณหภูมิ แรงเบรกและการแย่นตัว (N/m^2)		
	1 ช่วงความยาว	2 ช่วงความยาว	3 ช่วงความยาว
57	-9.39E+07	-9.73E+07	-9.59E+07
60	-2.09E+08	-2.18E+08	-2.17E+08
70	-1.30E+08	-1.18E+08	-1.18E+08
80	-3.33E+07	-3.02E+07	-3.01E+07
90	-8.54E+06	-7.74E+06	-7.72E+06
100	-2.19E+06	-1.98E+06	-1.98E+06
110	-5.61E+05	-5.08E+05	-5.07E+05
120	-1.44E+05	-1.30E+05	-1.30E+05
130	-3.68E+04	-3.34E+04	-3.33E+04

หมายเหตุ ระยะ DISP. ที่ 0 เมตร คือ ระยะเข้าสะพาน

ค่าบวก หมายถึง เกิดหน่วยแรงดึง

ค่าลบ หมายถึง เกิดหน่วยแรงอัด

ตาราง ก.9 หน่วยแรงที่เกิดขึ้นเนื่องจากอุณหภูมิในโครงสร้างสะพานแบบคานช่วงเดียว
กรณีใช้รัศมีครามแบบยอมให้เคลื่อนที่ได้ตามยาว (Zero Longitudinal Restraint)

DISP. (m.)	หน่วยแรงที่เกิดขึ้นเนื่องจากอุณหภูมิ (N/m^2)		
	1 ช่วงความยาว	2 ช่วงความยาว	3 ช่วงความยาว
-70	-9.97E-13	-2.54E-13	-2.45E-13
-60	-3.89E-12	-9.90E-13	-9.56E-13
-50	-1.52E-11	-3.87E-12	-3.70E-12
-40	-5.93E-11	-1.51E-11	-1.46E-11
-30	-2.31E-10	-5.89E-11	-5.68E-11
-20	-9.03E-10	-2.30E-10	-2.22E-10
-10	-3.52E-09	-8.97E-10	-1.71E-09
0	-2.18E-08	-1.08E-08	-7.09E-09
3	-2.18E-08	-1.08E-08	-7.09E-09
6	-2.18E-08	-1.08E-08	-7.09E-09
9	-2.18E-08	-1.08E-08	-7.09E-09
12	-2.18E-08	-1.08E-08	-7.09E-09
15	-2.18E-08	-1.08E-08	-7.09E-09
18	-2.18E-08	-1.08E-08	-7.09E-09
21	-2.18E-08	-1.08E-08	-7.09E-09
24	-2.18E-08	-1.08E-08	-7.09E-09
27	-2.18E-08	-1.08E-08	-7.09E-09
30	-2.18E-08	-1.08E-08	-7.09E-09
33	-2.18E-08	-1.08E-08	-7.09E-09
36	-2.18E-08	-1.08E-08	-7.09E-09
39	-2.18E-08	-1.08E-08	-7.09E-09
42	-2.18E-08	-1.08E-08	-7.09E-09
45	-2.18E-08	-1.08E-08	-7.09E-09
48	-2.18E-08	-1.08E-08	-7.09E-09
51	-2.18E-08	-1.08E-08	-7.09E-09
54	-2.18E-08	-1.08E-08	-7.09E-09

ตาราง ก.9(ต่อ) หน่วยแรงที่เกิดขึ้นเนื่องจากอุณหภูมิในโครงสร้างสะพานแบบคานช่วงเดียว การณ์เชิงสอดยึดระบบยอมให้เคลื่อนที่ได้ตามยาว (Zero Longitudinal Restraint)

DISP. (m.)	หน่วยแรงที่เกิดขึ้นเนื่องจากอุณหภูมิ (N/m^2)		
	1 ช่วงความยาว	2 ช่วงความยาว	3 ช่วงความยาว
57	-2.18E-08	-1.08E-08	-7.09E-09
60	-2.18E-08	-1.08E-08	-7.09E-09
70	1.11E-07	5.31E-08	3.54E-08
80	2.83E-08	1.36E-08	9.06E-09
90	7.26E-09	3.49E-09	2.32E-09
100	1.32E-09	8.93E-10	5.95E-10
110	4.76E-10	2.29E-10	1.53E-10
120	1.22E-10	5.87E-11	3.91E-11
130	3.13E-11	1.50E-11	1.00E-11

หมายเหตุ ระยะ DISP. ที่ 0 เมตร คือ ระยะเข้าสะพาน

ค่าบวก หมายถึง เกิดหน่วยแรงดึง

ค่าลบ หมายถึง เกิดหน่วยแรงอัด

ตาราง ก.10 หน่วยแรงที่เกิดขึ้นเนื่องจากอุณหภูมิในโครงสร้างสะพานแบบคานต่อเนื่อง กรณีใช้รัศมีครองแบบยอมให้เคลื่อนที่เดินตามยาว (Zero Longitudinal Restraint)

DISP. (m.)	หน่วยแรงที่เกิดขึ้นเนื่องจากอุณหภูมิ (N/m^2)		
	1 ช่วงความยาว	2 ช่วงความยาว	3 ช่วงความยาว
-70	-9.97E-13	-8.74E-13	-9.29E-13
-60	-3.89E-12	-3.41E-12	-3.62E-12
-50	-1.52E-11	-1.33E-11	-1.41E-11
-40	-5.93E-11	-5.20E-11	-5.52E-11
-30	-2.31E-10	2.03E-10	-2.15E-10
-20	-9.03E-10	-7.91E-10	-8.41E-10
-10	-3.52E-09	-3.09E-09	-3.28E-09
0	-2.18E-08	-2.18E-08	-2.17E-08
3	-2.18E-08	-2.18E-08	-2.17E-08
6	-2.18E-08	-2.18E-08	-2.17E-08
9	-2.18E-08	-2.18E-08	-2.17E-08
12	-2.18E-08	-2.18E-08	-2.17E-08
15	-2.18E-08	-2.18E-08	-2.17E-08
18	-2.18E-08	-2.18E-08	-2.17E-08
21	-2.18E-08	-2.18E-08	-2.17E-08
24	-2.18E-08	-2.18E-08	-2.17E-08
27	-2.18E-08	-2.18E-08	-2.17E-08
30	-2.18E-08	-2.18E-08	-2.17E-08
33	-2.18E-08	-2.18E-08	-2.17E-08
36	-2.18E-08	-2.18E-08	-2.17E-08
39	-2.18E-08	-2.18E-08	-2.17E-08
42	-2.18E-08	-2.18E-08	-2.17E-08
45	-2.18E-08	-2.18E-08	-2.17E-08
48	-2.18E-08	-2.18E-08	-2.17E-08
51	-2.18E-08	-2.18E-08	-2.17E-08
54	-2.18E-08	-2.18E-08	-2.17E-08

ตาราง ก.10(ต่อ) หน่วยแรงที่เกิดขึ้นเนื่องจากอุณหภูมิในโครงสร้างสะพานแบบคาน
ต่อเนื่อง กรณีใช้สัดส่วนแบบยกให้เคลื่อนที่ได้ตามยาว (Zero Longitudinal Restraint)

DISP. (m.)	หน่วยแรงที่เกิดขึ้นเนื่องจากอุณหภูมิ (N/m^2)		
	1 ช่วงความยาว	2 ช่วงความยาว	3 ช่วงความยาว
57	-2.18E-08	-2.18E-08	-2.17E-08
60	-2.18E-08	-2.18E-08	-2.17E-08
70	1.11E-07	1.10E-07	1.10E-07
80	2.83E-08	2.81E-08	2.81E-08
90	7.26E-09	7.20E-09	7.19E-09
100	1.32E-09	1.85E-09	1.84E-09
110	4.76E-10	4.73E-10	4.72E-10
120	1.22E-10	1.21E-10	1.21E-10
130	3.13E-11	3.10E-11	3.10E-11

หมายเหตุ ระยะ DISP. ที่ 0 เมตร คือ ระยะเข้าสะพาน

ค่าบวก หมายถึง เกิดหน่วยแรงดึง

ค่าลบ หมายถึง เกิดหน่วยแรงอัด

ตาราง ก.11 หน่วยแรงที่เกิดขึ้นเนื่องจากแรงเบรกในโครงสร้างสะพานแบบคานช่วงเดียว
กรณีใช้สตูปีตรางแบบยอมให้เคลื่อนที่ได้ตามยาว (Zero Longitudinal Restraint)

DISP. (m.)	หน่วยแรงที่เกิดขึ้นเนื่องจากแรงเบรก (N/m^2)		
	1 ช่วงความยาว	2 ช่วงความยาว	3 ช่วงความยาว
-70	2.83E+03	2.83E+03	2.83E+03
-60	1.10E+04	1.10E+04	1.10E+04
-50	4.31E+04	4.31E+04	4.31E+04
-40	1.68E+05	1.68E+05	1.68E+05
-30	6.56E+05	6.56E+05	6.56E+05
-20	2.56E+06	2.56E+06	2.56E+06
-10	1.00E+07	1.00E+07	1.98E+07
0	3.90E+07	3.90E+07	3.90E+07
3	3.59E+07	3.51E+07	3.51E+07
6	3.20E+07	3.12E+07	3.12E+07
9	2.81E+07	2.73E+07	2.73E+07
12	2.42E+07	2.34E+07	2.34E+07
15	2.03E+07	1.95E+07	1.95E+07
18	1.64E+07	1.56E+07	1.56E+07
21	1.25E+07	1.17E+07	1.17E+07
24	8.58E+06	7.80E+06	7.80E+06
27	4.68E+06	3.90E+06	3.90E+06
30	7.80E+05	-7.80E+05	-7.80E+05
33	-3.90E+06	-4.68E+06	-4.68E+06
36	-7.80E+06	-8.58E+06	-8.58E+06
39	-1.17E+07	-1.25E+07	-1.25E+07
42	-1.56E+07	-1.64E+07	-1.64E+07
45	-1.95E+07	-2.03E+07	-2.03E+07
48	-2.34E+07	-2.42E+07	-2.42E+07
51	-2.73E+07	-2.81E+07	-2.81E+07
54	-3.12E+07	-3.20E+07	-3.20E+07

ตาราง ก.11(ต่อ) หน่วยแรงที่เกิดขึ้นเนื่องจากแรงเบรกในโครงสร้างสะพานแบบคานช่วง เดียว กรณีใช้สครูยึดร่างแบบบอมให้เหลื่อนที่ได้ตามยาว (Zero Longitudinal Restraint)

DISP. (m.)	หน่วยแรงที่เกิดขึ้นเนื่องจากแรงเบรก (N/m^2)		
	1 ช่วงความยาว	2 ช่วงความยาว	3 ช่วงความยาว
57	-3.51E+07	-3.59E+07	-3.59E+07
60	-3.90E+07	-3.90E+07	-3.90E+07
70	-2.11E+07	-2.11E+07	-2.11E+07
80	-5.42E+06	-5.42E+06	-5.42E+06
90	-1.39E+06	-1.39E+06	-1.39E+06
100	-2.53E+05	-3.56E+05	-3.56E+05
110	-9.11E+04	-9.11E+04	-9.11E+04
120	-2.34E+04	-2.34E+04	-2.34E+04
130	-5.98E+03	-5.98E+03	-5.98E+03

หมายเหตุ ระยะ DISP. ที่ 0 เมตร คือ ระยะเข้าสะพาน

ค่าบาก หมายถึง เกิดหน่วยแรงดึง

ค่าลบ หมายถึง เกิดหน่วยแรงอัด

ตาราง ก.12 หน่วยแรงที่เกิดขึ้นเนื่องจากแรงเบรกในโครงสร้างสะพานแบบคานต่อเนื่อง
กรณีใช้วัสดุยืดหยุ่นแบบยอมให้เคลื่อนที่ได้ตามยาว (Zero Longitudinal Restraint)

DISP	หน่วยแรงที่เกิดขึ้นเนื่องจากแรงเบรก (N/m^2)		
	1 ช่วงความยาว	2 ช่วงความยาว	3 ช่วงความยาว
-70	2.83E+03	2.83E+03	2.83E+03
-60	1.10E+04	1.10E+04	1.10E+04
-50	4.31E+04	4.31E+04	4.31E+04
-40	1.68E+05	1.68E+05	1.68E+05
-30	6.56E+05	6.56E+05	6.56E+05
-20	2.56E+06	2.56E+06	2.56E+06
-10	1.00E+07	1.00E+07	1.00E+07
0	3.90E+07	3.90E+07	3.90E+07
3	3.59E+07	3.51E+07	3.51E+07
6	3.20E+07	3.12E+07	3.12E+07
9	2.81E+07	2.73E+07	2.73E+07
12	2.42E+07	2.34E+07	2.34E+07
15	2.03E+07	1.95E+07	1.95E+07
18	1.64E+07	1.56E+07	1.56E+07
21	1.25E+07	1.17E+07	1.17E+07
24	8.58E+06	7.80E+06	7.80E+06
27	4.68E+06	3.90E+06	3.90E+06
30	7.80E+05	-7.80E+05	-7.80E+05
33	-3.90E+06	-3.90E+06	-3.90E+06
36	-7.80E+06	-7.80E+06	-7.80E+06
39	-1.17E+07	-1.17E+07	-1.17E+07
42	-1.56E+07	-1.56E+07	-1.56E+07
45	-1.95E+07	-1.95E+07	-1.95E+07
48	-2.34E+07	-2.34E+07	-2.34E+07
51	-2.73E+07	-2.73E+07	-2.73E+07
54	-3.12E+07	-3.12E+07	-3.12E+07

ตาราง ก.12(ต่อ) หน่วยแรงที่เกิดขึ้นเนื่องจากแรงเบรกในโครงสร้างสะพานแบบคาน
ต่อเนื่อง กรณีใช้วัสดุยืดหยุ่นแบบยอมให้เคลื่อนที่ได้ตามยาว (Zero Longitudinal Restraint)

DISP	หน่วยแรงที่เกิดขึ้นเนื่องจากแรงเบรก (N/m^2)		
	1 ช่วงความยาว	2 ช่วงความยาว	3 ช่วงความยาว
57	-3.51E+07	-3.51E+07	-3.51E+07
60	-3.90E+07	-3.90E+07	-3.90E+07
70	-2.11E+07	-2.11E+07	-2.11E+07
80	-5.42E+06	-5.42E+06	-5.42E+06
90	-1.39E+06	-1.39E+06	-1.39E+06
100	-2.53E+05	-3.56E+05	-3.56E+05
110	-9.11E+04	-9.11E+04	-9.11E+04
120	-2.34E+04	-2.34E+04	-2.34E+04
130	-5.98E+03	-5.98E+03	-5.98E+03

หมายเหตุ ระยะ DISP. ที่ 0 เมตร คือ ระยะเข้าสะพาน

ค่าบวก หมายถึง เกิดหน่วยแรงดึง

ค่าลบ หมายถึง เกิดหน่วยแรงอัด

ตาราง ก.13 หน่วยแรงที่เกิดขึ้นเนื่องจากการแอ่นตัวในโครงสร้างสะพานแบบคานช่วงเดียว
กรณีใช้วัสดุยึดคงแบบยอมให้เคลื่อนที่ได้ตามยาว (Zero Longitudinal Restraint)

DISP. (m.)	หน่วยแรงที่เกิดขึ้นเนื่องจากการแอ่นตัว (N/m^2)		
	1 ช่วงความยาว	2 ช่วงความยาว	3 ช่วงความยาว
-70	-1.70E-01	3.90E-01	3.00E-01
-60	-6.80E-01	1.54E+00	1.19E+00
-50	-2.65E+00	6.01E+00	4.63E+00
-40	-1.04E+01	2.35E+01	1.81E+01
-30	-4.04E+01	9.16E+01	7.06E+01
-20	-1.58E+02	3.57E+02	2.57E+02
-10	-6.16E+02	1.40E+03	2.12E+03
0	4.63E+02	-1.25E+03	-9.89E+02
3	4.63E+02	-1.25E+03	-9.89E+02
6	4.63E+02	-1.25E+03	-9.89E+02
9	4.63E+02	-1.25E+03	-9.89E+02
12	4.63E+02	-1.25E+03	-9.89E+02
15	4.63E+02	-1.25E+03	-9.89E+02
18	4.63E+02	-1.25E+03	-9.89E+02
21	4.63E+02	-1.25E+03	-9.89E+02
24	4.63E+02	-1.25E+03	-9.89E+02
27	4.63E+02	-1.25E+03	-9.89E+02
30	4.63E+02	-1.25E+03	-9.89E+02
33	4.63E+02	-1.25E+03	-9.89E+02
36	4.63E+02	-1.25E+03	-9.89E+02
39	4.63E+02	-1.25E+03	-9.89E+02
42	4.63E+02	-1.25E+03	-9.89E+02
45	4.63E+02	-1.25E+03	-9.89E+02
48	4.63E+02	-1.25E+03	-9.89E+02
51	4.63E+02	-1.25E+03	-9.89E+02
54	4.63E+02	-1.25E+03	-9.89E+02

ตาราง ก.13(ต่อ) หน่วยแรงที่เกิดขึ้นเนื่องจากการแย่นตัวในโครงสร้างสะพานแบบคานช่วง
เชิง กรณีเชือกสุดยึดรวมแบบยอมให้เคลื่อนที่ได้ตามยาว (Zero Longitudinal Restraint)

DISP. (m.)	หน่วยแรงที่เกิดขึ้นเนื่องจากการแย่นตัว (N/m^2)		
	1 ช่วงความยาว	2 ช่วงความยาว	3 ช่วงความยาว
57	4.63E+02	-1.25E+03	-9.89E+02
60	4.63E+02	-1.25E+03	-9.89E+02
70	-1.30E+03	2.77E+03	2.27E+03
80	-3.34E+02	7.09E+02	5.83E+02
90	-8.55E+01	1.82E+02	1.49E+02
100	-1.56E+01	4.65E+01	3.83E+01
110	-5.61E+00	1.19E+01	9.80E+00
120	-1.44E+00	3.05E+00	2.51E+00
130	-3.70E-01	7.80E-01	6.40E-01

หมายเหตุ ระยะ DISP. ที่ 0 เมตร คือ ระยะเข้าสะพาน

ค่าบวก หมายถึง เกิดหน่วยแรงดึง

ค่าลบ หมายถึง เกิดหน่วยแรงอัด

ตาราง ก.14 หน่วยแรงที่เกิดขึ้นเนื่องจากการแอ่นตัวในโครงสร้างสะพานแบบคานต่อเนื่องกรณีใช้วัสดุยึดคงแบบยอนให้เคลื่อนที่ได้ตามยาว (Zero Longitudinal Restraint)

DISP. (m.)	หน่วยแรงที่เกิดขึ้นเนื่องจากการแอ่นตัว (N/m^2)		
	1 ช่วงความยาว	2 ช่วงความยาว	3 ช่วงความยาว
-70	-1.70E-01	3.10E-01	2.70E-01
-60	-6.80E-01	1.22E+00	1.04E+00
-50	-2.65E+00	4.74E+00	4.06E+00
-40	-1.04E+01	1.85E+01	1.58E+01
-30	-4.04E+01	7.23E+01	6.18E+01
-20	-1.58E+02	2.82E+02	2.41E+02
-10	-6.16E+02	1.10E+03	9.41E+02
0	4.63E+02	-1.02E+03	-8.66E+02
3	4.63E+02	-1.02E+03	-8.66E+02
6	4.63E+02	-1.02E+03	-8.66E+02
9	4.63E+02	-1.02E+03	-8.66E+02
12	4.63E+02	-1.02E+03	-8.66E+02
15	4.63E+02	-1.02E+03	-8.66E+02
18	4.63E+02	-1.02E+03	-8.66E+02
21	4.63E+02	-1.02E+03	-8.66E+02
24	4.63E+02	-1.02E+03	-8.66E+02
27	4.63E+02	-1.02E+03	-8.66E+02
30	4.63E+02	-1.02E+03	-8.66E+02
33	4.63E+02	-1.02E+03	-8.66E+02
36	4.63E+02	-1.02E+03	-8.66E+02
39	4.63E+02	-1.02E+03	-8.66E+02
42	4.63E+02	-1.02E+03	-8.66E+02
45	4.63E+02	-1.02E+03	-8.66E+02
48	4.63E+02	-1.02E+03	-8.66E+02
51	4.63E+02	-1.02E+03	-8.66E+02
54	4.63E+02	-1.02E+03	-8.66E+02

ตาราง ก.14(ต่อ) น้ำยแรงที่เกิดขึ้นเนื่องจากการแยกตัวในโครงสร้างสะพานแบบคาน
ท่อน่อง กรณีใช้วัสดุยืดหยุ่นแบบบยอนให้เคลื่อนที่ได้ตามยาว (Zero Longitudinal Restraint)

DISP. (m.)	หน่วยแรงที่เกิดขึ้นเนื่องจากการแยกตัว (N/m^2)		
	1 ช่วงความยาว	2 ช่วงความยาว	3 ช่วงความยาว
57	4.63E+02	-1.02E+03	-8.66E+02
60	4.63E+02	-1.02E+03	-8.66E+02
70	-1.30E+03	2.33E+03	1.99E+03
80	-3.34E+02	5.96E+02	5.10E+02
90	-8.55E+01	1.53E+02	1.31E+02
100	-1.56E+01	3.92E+01	3.35E+01
110	-5.61E+00	1.00E+01	8.58E+00
120	-1.44E+00	2.57E+00	2.20E+00
130	-3.70E-01	6.60E-01	5.60E-01

หมายเหตุ ระยะ DISP. ที่ 0 เมตร คือ ระยะเข้าสะพาน

ค่าบวก หมายถึง เกิดหน่วยแรงดึง

ค่าลบ หมายถึง เกิดหน่วยแรงอัด

ตาราง ก.15 ผลรวมหน่วยแรงที่เกิดขึ้นเนื่องจากอุณหภูมิ แรงเบรกและการแอ่นตัวในโครงสร้างสะพานแบบคานช่วงเดียว กรณีใช้วัสดุยืดแรงแบบยอมให้เคลื่อนที่ได้ตามยาว (Zero Longitudinal Restraint)

DISP. (m.)	ผลรวมหน่วยแรงที่เกิดขึ้นเนื่องจากอุณหภูมิ แรงเบรกและการแอ่นตัว (N/m^2)		
	1 ช่วงความยาว	2 ช่วงความยาว	3 ช่วงความยาว
-70	2.83E+03	2.83E+03	2.83E+03
-60	1.10E+04	1.10E+04	1.10E+04
-50	4.31E+04	4.31E+04	4.31E+04
-40	1.68E+05	1.68E+05	1.68E+05
-30	6.56E+05	6.57E+05	6.57E+05
-20	2.56E+06	2.56E+06	2.56E+06
-10	1.00E+07	1.00E+07	1.98E+07
0	3.90E+07	3.90E+07	3.90E+07
3	3.59E+07	3.51E+07	3.51E+07
6	3.20E+07	3.12E+07	3.12E+07
9	2.81E+07	2.73E+07	2.73E+07
12	2.42E+07	2.34E+07	2.34E+07
15	2.03E+07	1.95E+07	1.95E+07
18	1.64E+07	1.56E+07	1.56E+07
21	1.25E+07	1.17E+07	1.17E+07
24	8.59E+06	7.80E+06	7.80E+06
27	4.68E+06	3.90E+06	3.90E+06
30	7.81E+05	-7.82E+05	-7.81E+05
33	-3.90E+06	-4.68E+06	-4.68E+06
36	-7.80E+06	-8.59E+06	-8.59E+06
39	-1.17E+07	-1.25E+07	-1.25E+07
42	-1.56E+07	-1.64E+07	-1.64E+07
45	-1.95E+07	-2.03E+07	-2.03E+07
48	-2.34E+07	-2.42E+07	-2.42E+07
51	-2.73E+07	-2.81E+07	-2.81E+07
54	-3.12E+07	-3.20E+07	-3.20E+07

ตาราง ก.15(ต่อ) ผลรวมหน่วยแรงที่เกิดขึ้นเนื่องจากอุณหภูมิ แรงเบรกและการแอ่นตัวในโครงสร้างสะพานแบบคานช่วงเดียว กรณีใช้วัสดุยึดรางแบบย้อมให้เคลื่อนที่ได้ตามยาว (Zero Longitudinal Restraint)

DISP. (m.)	ผลรวมหน่วยแรงที่เกิดขึ้นเนื่องจากอุณหภูมิ แรงเบรกและการแอ่นตัว (N/m^2)		
	1 ช่วงความยาว	2 ช่วงความยาว	3 ช่วงความยาว
57	-3.51E+07	-3.59E+07	-3.59E+07
60	-3.90E+07	-3.90E+07	-3.90E+07
70	-2.11E+07	-2.11E+07	-2.11E+07
80	-5.42E+06	-5.42E+06	-5.42E+06
90	-1.39E+06	-1.39E+06	-1.39E+06
100	-2.53E+05	-3.56E+05	-3.56E+05
110	-9.11E+04	-9.11E+04	-9.11E+04
120	-2.34E+04	-2.33E+04	-2.34E+04
130	-5.98E+03	-5.98E+03	-5.98E+03

หมายเหตุ ระยะ DISP. ที่ 0 เมตร คือ ระยะเข้าสะพาน

ค่าบวก หมายถึง เกิดหน่วยแรงดึง

ค่าลบ หมายถึง เกิดหน่วยแรงอัด

ตาราง ก.16 ผลรวมหน่วยแรงที่เกิดขึ้นเนื่องจากอุณหภูมิ แรงเบรกและการแอนต์ว่าในโครงสร้างสะพานแบบคานต่อเนื่อง กรณีใช้วัสดุยืดหยุ่นแบบยอมให้เคลื่อนที่ได้ตามยาว (Zero Longitudinal Restraint)

DISP. (m.)	ผลรวมหน่วยแรงที่เกิดขึ้นเนื่องจากอุณหภูมิ แรงเบรกและการแอนต์ว่า (N/m^2)		
	1 ช่วงความยาว	2 ช่วงความยาว	3 ช่วงความยาว
-70	2.83E+03	2.83E+03	2.83E+03
-60	1.10E+04	1.10E+04	1.10E+04
-50	4.31E+04	4.31E+04	4.31E+04
-40	1.68E+05	1.68E+05	1.68E+05
-30	6.56E+05	6.57E+05	6.57E+05
-20	2.56E+06	2.56E+06	2.56E+06
-10	1.00E+07	1.00E+07	1.00E+07
0	3.90E+07	3.90E+07	3.90E+07
3	3.59E+07	3.51E+07	3.51E+07
6	3.20E+07	3.12E+07	3.12E+07
9	2.81E+07	2.73E+07	2.73E+07
12	2.42E+07	2.34E+07	2.34E+07
15	2.03E+07	1.95E+07	1.95E+07
18	1.64E+07	1.56E+07	1.56E+07
21	1.25E+07	1.17E+07	1.17E+07
24	8.59E+06	7.80E+06	7.80E+06
27	4.68E+06	3.90E+06	3.90E+06
30	7.81E+05	-7.81E+05	-7.81E+05
33	-3.90E+06	-3.90E+06	-3.90E+06
36	-7.80E+06	-7.81E+06	-7.81E+06
39	-1.17E+07	-1.17E+07	-1.17E+07
42	-1.56E+07	-1.56E+07	-1.56E+07
45	-1.95E+07	-1.95E+07	-1.95E+07
48	-2.34E+07	-2.34E+07	-2.34E+07
51	-2.73E+07	-2.73E+07	-2.73E+07
54	-3.12E+07	-3.12E+07	-3.12E+07

ตาราง ก.16(ต่อ) ผลรวมหน่วยแรงที่เกิดขึ้นเนื่องจากอุณหภูมิ แรงเบรกและการแอ่นตัวในโครงสร้างสะพานแบบคานต่อเนื่อง กรณีใช้วัสดุยึดรวมแบบยอนให้เคลื่อนที่ได้ตามยาว (Zero Longitudinal Restraint)

DISP. (m.)	ผลรวมหน่วยแรงที่เกิดขึ้นเนื่องจากอุณหภูมิ แรงเบรกและการแอ่นตัว (N/m^2)		
	1 ช่วงความยาว	2 ช่วงความยาว	3 ช่วงความยาว
57	-3.51E+07	-3.51E+07	-3.51E+07
60	-3.90E+07	-3.90E+07	-3.90E+07
70	-2.11E+07	-2.11E+07	-2.11E+07
80	-5.42E+06	-5.42E+06	-5.42E+06
90	-1.39E+06	-1.39E+06	-1.39E+06
100	-2.53E+05	-3.56E+05	-3.56E+05
110	-9.11E+04	-9.11E+04	-9.11E+04
120	-2.34E+04	-2.34E+04	-2.34E+04
130	-5.98E+03	-5.98E+03	-5.98E+03

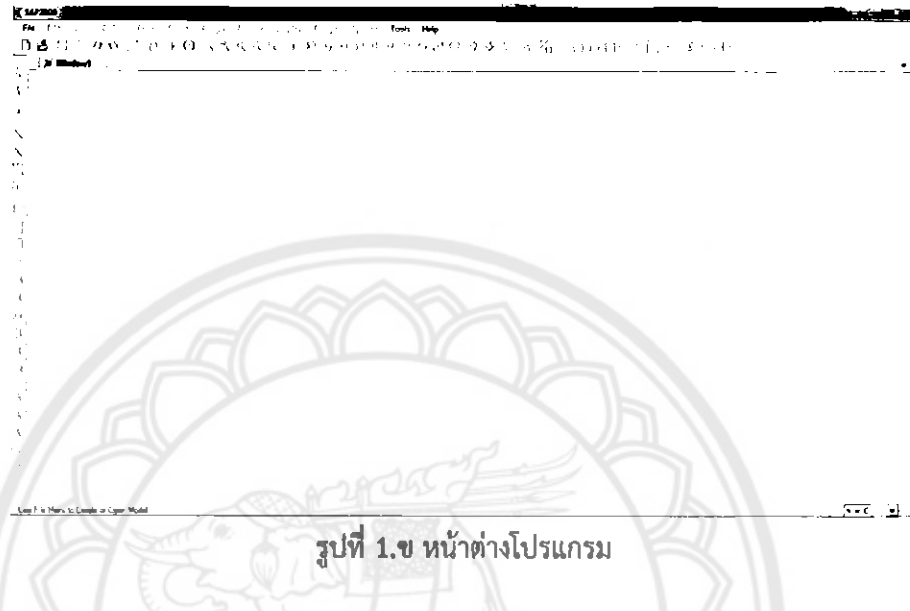
หมายเหตุ ระยะ DISP. ที่ 0 เมตร คือ ระยะเข้าสะพาน

ค่าบวก หมายถึง เกิดหน่วยแรงดึง

ค่าลบ หมายถึง เกิดหน่วยแรงอัด

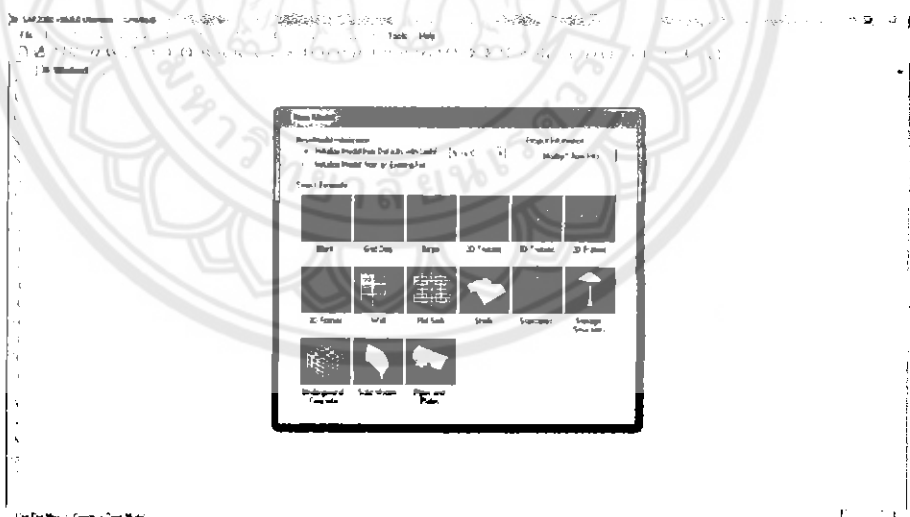
ภาคผนวก ข การจำลองแบบโครงสร้าง

1. เปิดโปรแกรมโดยคลิกที่ไอคอน SAP2000 จะปรากฏหน้าโปรแกรม ดังรูป 1.๙



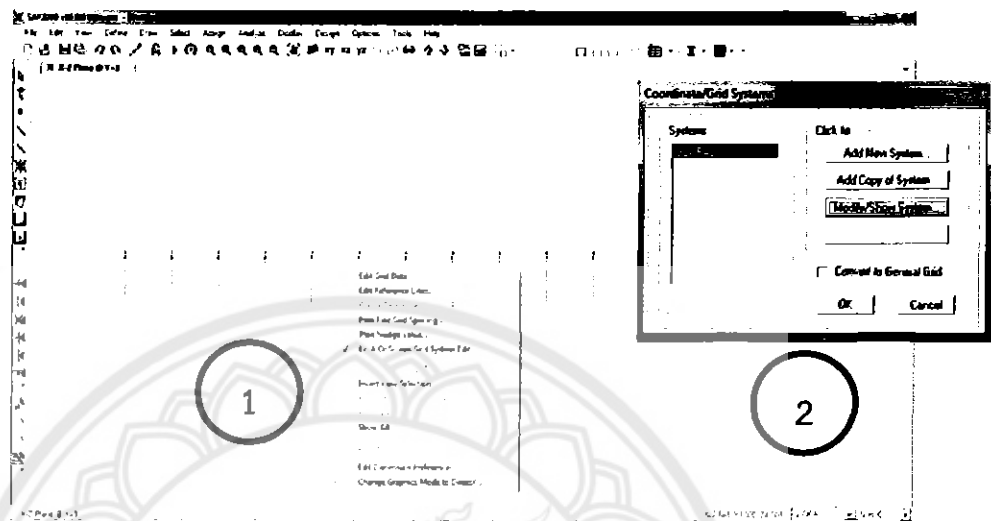
รูปที่ 1.๙ หน้าต่างโปรแกรม

2. สร้าง Grid Line โดยคลิกที่ File → New Model → Grid Only กำหนดหน่วยเป็น N,m,c

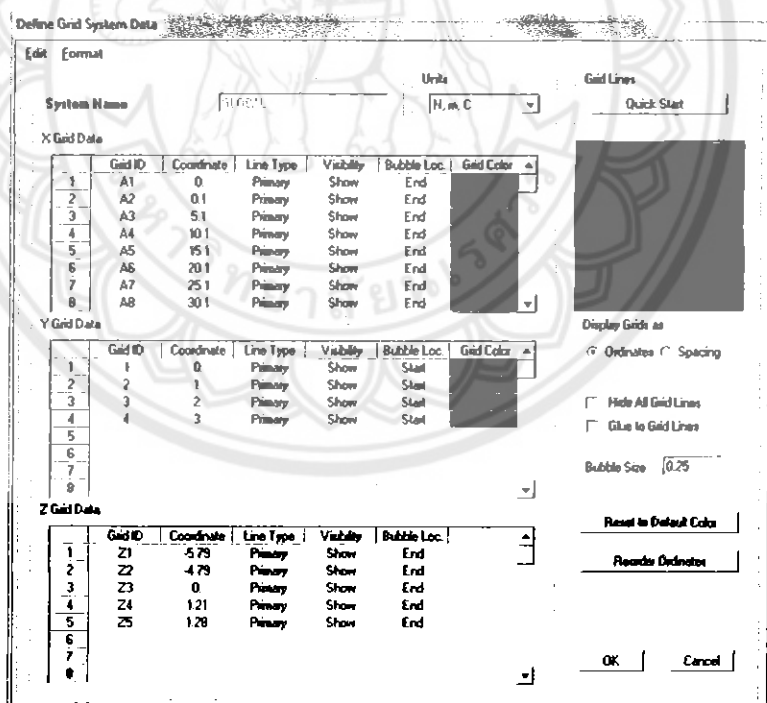


รูปที่ 2.๙ หน้าต่าง New Models เพื่อเลือกรูปแบบที่ต้องการ

3. จะปรากฏ Grid Line ดังรูป 3.๖ จากนั้นคลิกขวาที่ตำแหน่งใดก็ได้ คลิก Edit Grid Data → Modify/Show System.. จะปรากฏหน้าต่าง Define Grid System Data ดังรูป 4.๖

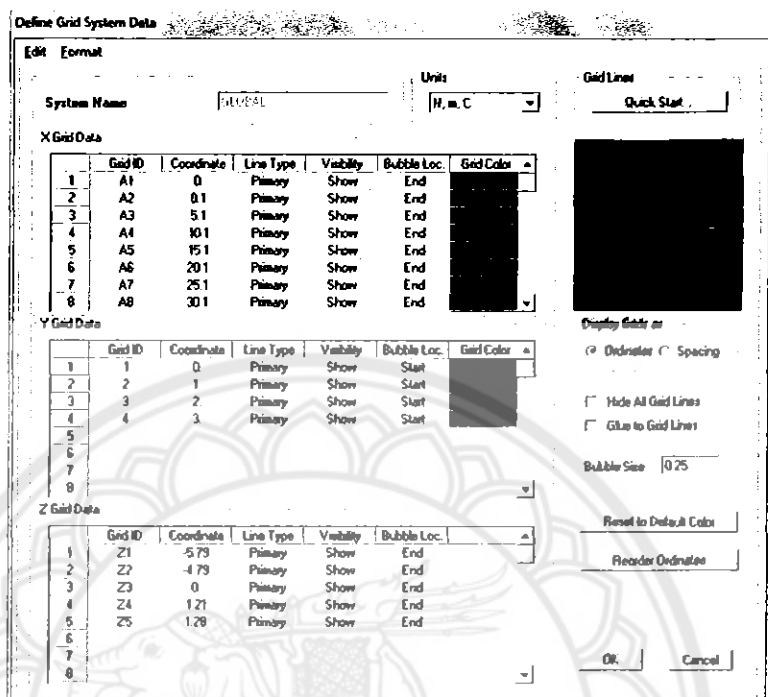


รูปที่ 3.๖ แสดง Grid Line และขั้นตอนการปรับแก้

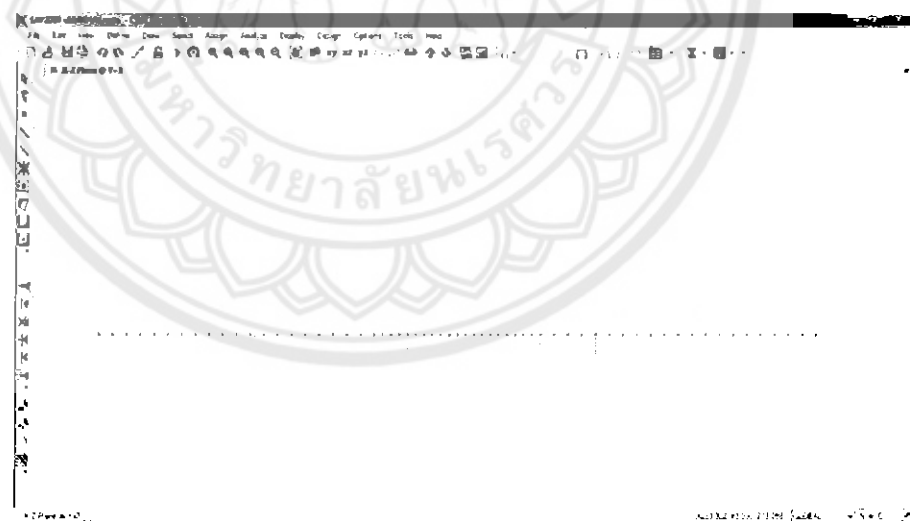


รูปที่ 4.๖ แสดง Grid Line ในแกน X Y และ Z

4. ปรับแก้ Grid ID และ Coordinate จากรูป 4.๔ ให้ได้ดังรูป 5.๔

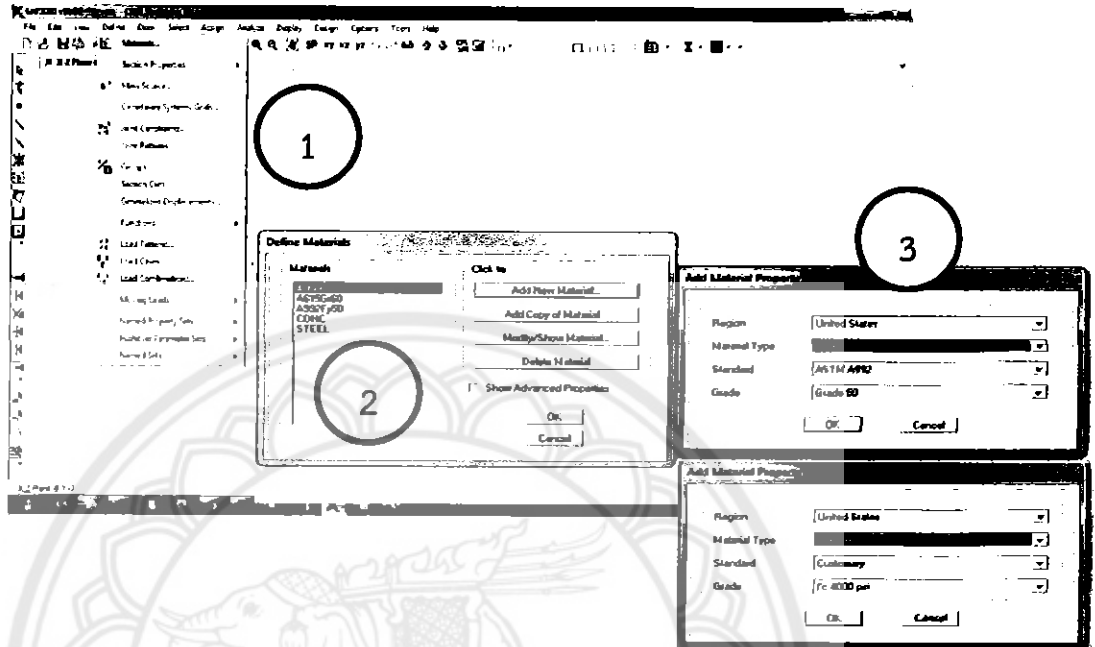


รูปที่ 5.๔ หน้าต่าง Define Grid System Data หลังปรับแก้ค่า

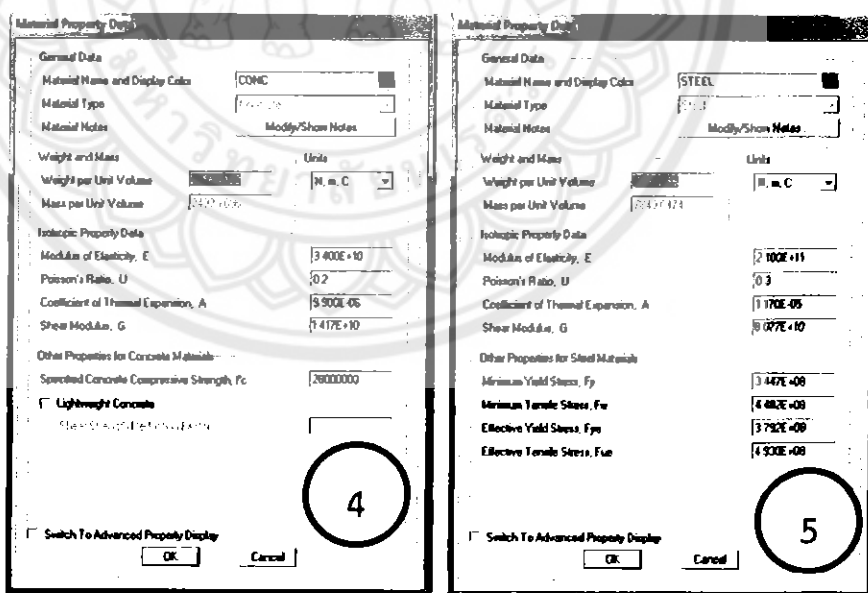


รูปที่ 6.๔ หน้าต่างโปรแกรมแสดง Grid Line

5. กำหนดแบบจำลองวัสดุที่ใช้โดยคลิก Define → Materials → Add New Materials
เลือกเป็น Steel และ Concrete

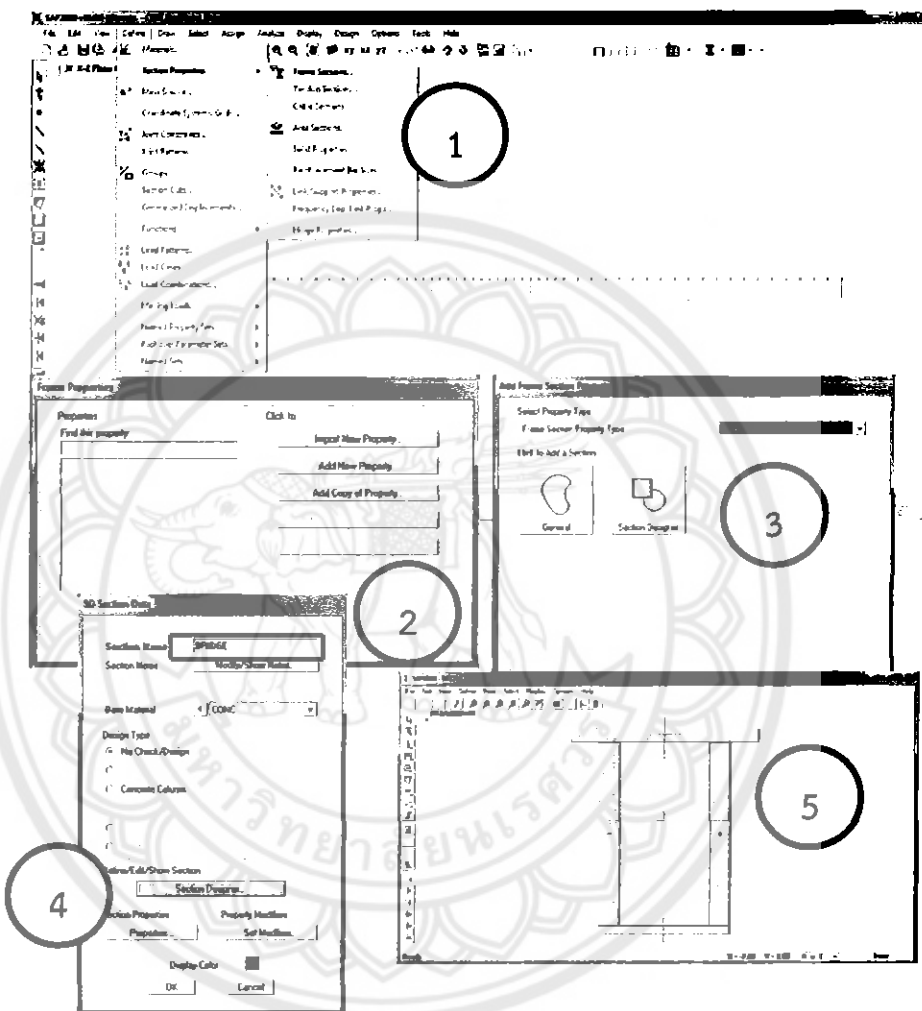


รูปที่ 7.๙ กำหนดแบบจำลองวัสดุ



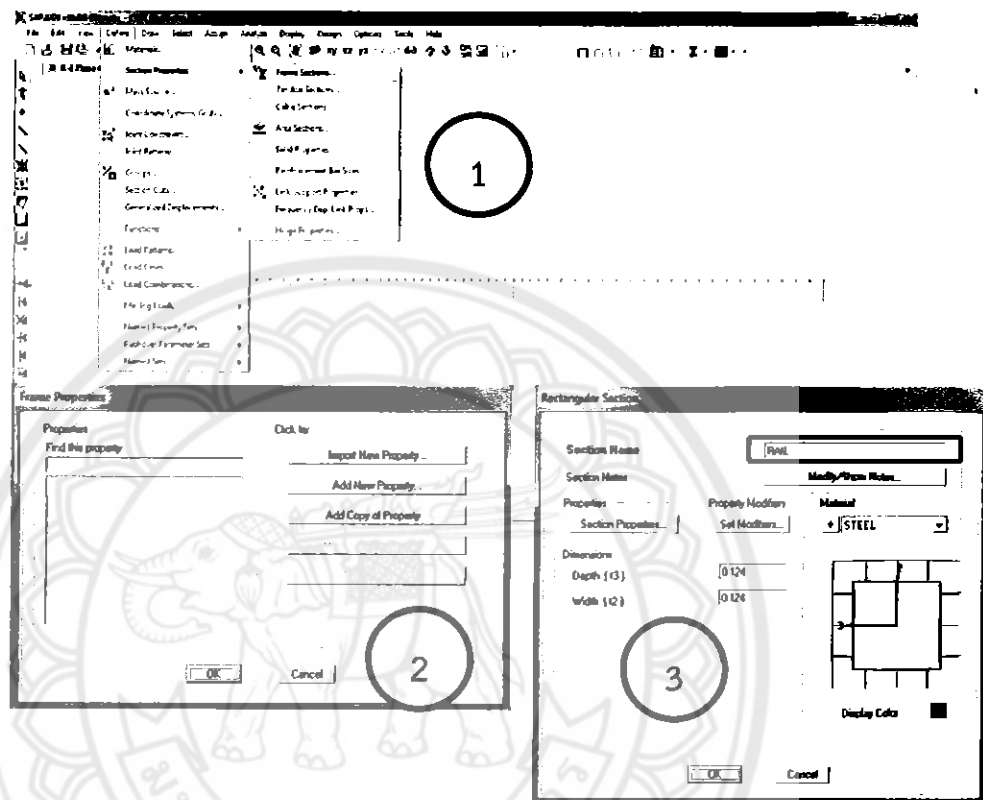
รูปที่ 8.๙ แสดงคุณสมบัติของวัสดุคอนกรีตและเหล็ก

6. กำหนดหน้าตัดวัสดุสำหรับสะพานคอนกรีต คลิกที่ Define → Section Properties → Frame Sections → Add New Properties กำหนด Frame Section Property Type เป็น Other → Section Designer จะปรากฏหน้าต่าง SD Section Data เปลี่ยนชื่อเป็น Bridge จากนั้นคลิก Section Designer → ออกแบบหน้าตัดสะพาน ดังรูป 9.๙



รูปที่ 9.๙ กำหนดหน้าตัดวัสดุสำหรับสะพานคอนกรีต

7. กำหนดหน้าตัดวัสดุสำหรับรางเหล็ก คลิกที่ Define → Section Properties
 → Frame Sections → Add New Properties เปลี่ยนชื่อเป็น Rail จากนั้นกำหนด
 Frame Section Property Type เป็น Steel ตามขั้นตอนที่ 3 ดังรูป 10.๙

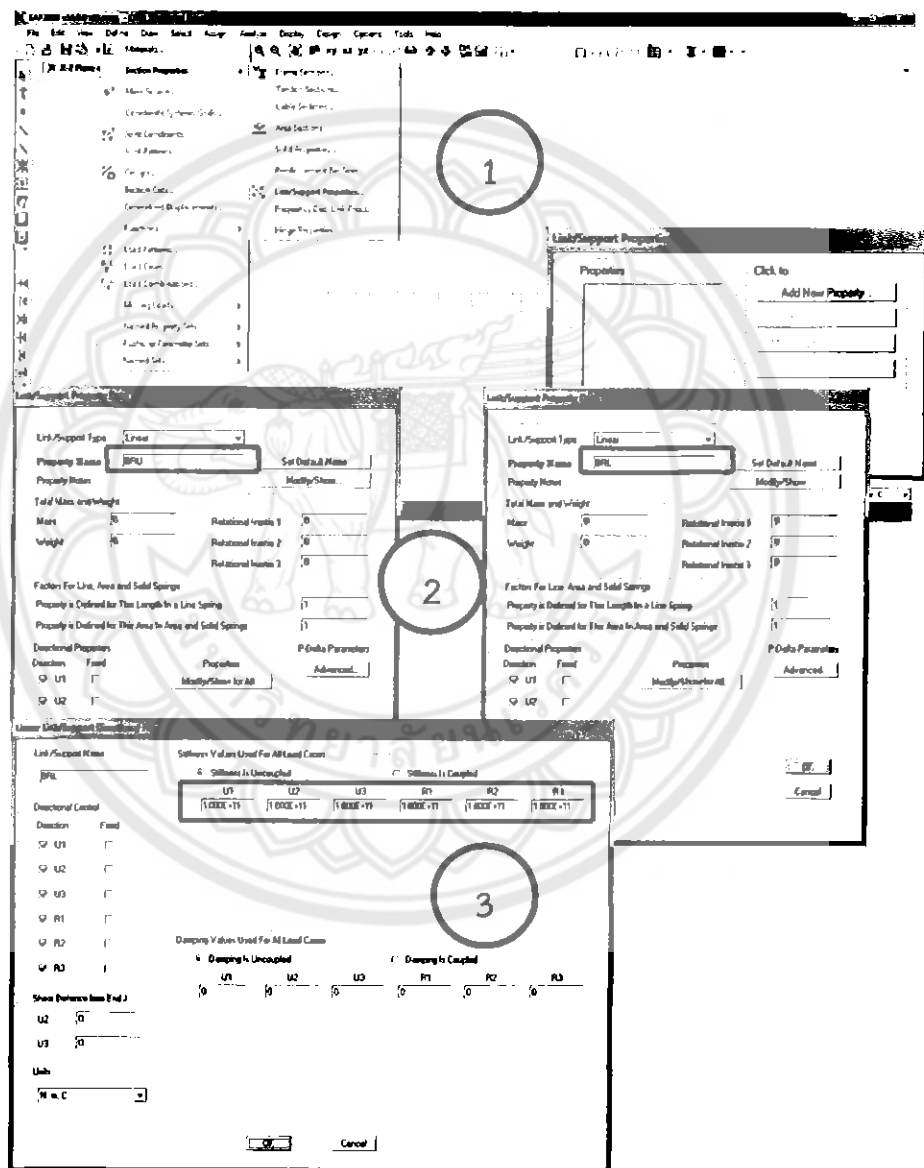


รูปที่ 10.๙ กำหนดหน้าตัดวัสดุสำหรับรางเหล็ก

8. กำหนดจุดเชื่อมชิ้นส่วนแข็งเกร็ง (Rigid Link) สำหรับเชื่อมต่อวัสดุ

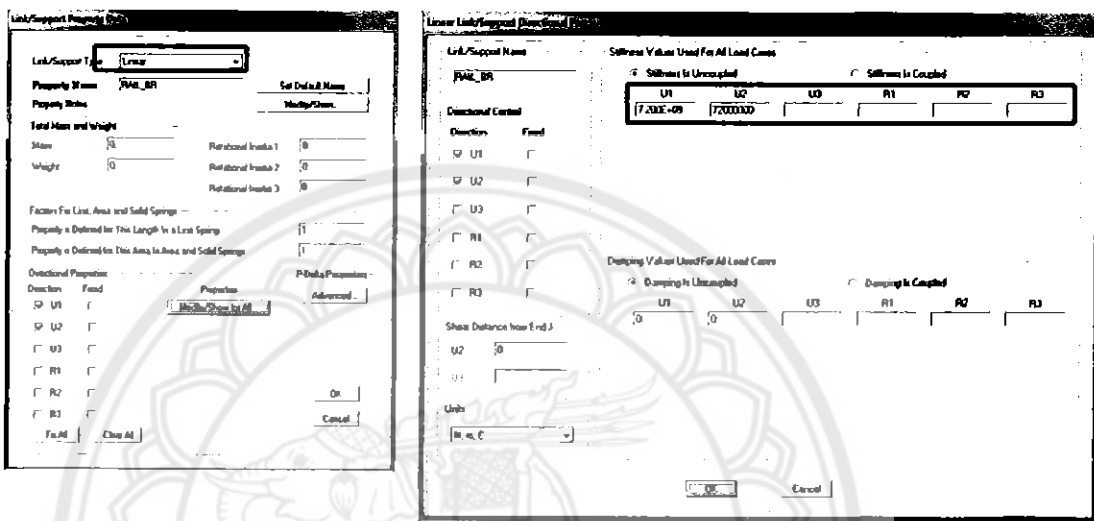
8.1 คลิก Define → Section Properties → Link/Support Properties → Add New Property กำหนด ชิ้นส่วนแข็งเกร็ง (Rigid Link) ใช้แทนโครงสร้างสะพานเชื่อมต่อระหว่างรางกับฐานรองรับ

กำหนดชื่อเป็น BRU และ BRL จากนั้นคลิก Modify/Show for All.. → กำหนดค่า Stiffness (U)
 $U1 = 1.1 \times 10^{11}$ $U2 = 1.1 \times 10^{11}$ $U3 = 1.1 \times 10^{11}$ ตามขั้นตอนที่ 3 ดังรูป 11.๔



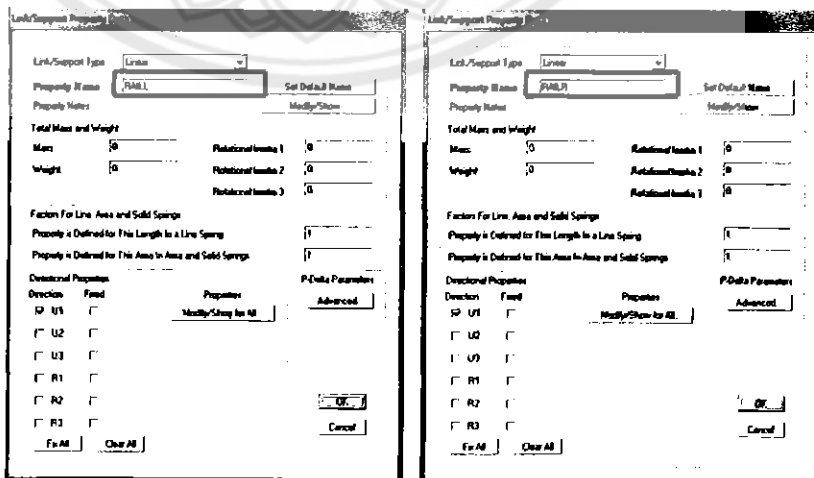
รูปที่ 11.๔ กำหนด ชิ้นส่วนแข็งเกร็ง (Rigid Link) ใช้แทนโครงสร้างสะพานเชื่อมต่อระหว่างรางกับฐานรองรับ

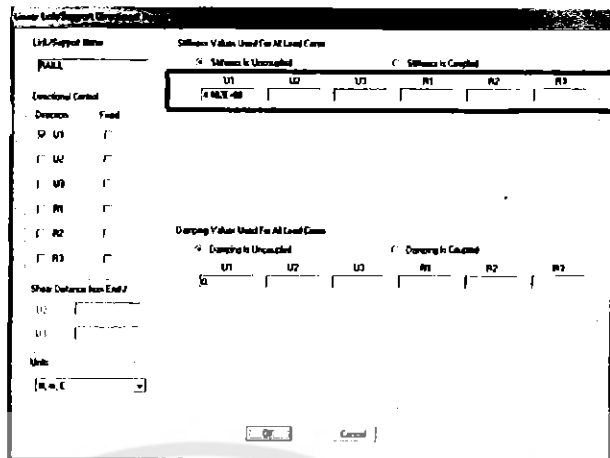
8.2 คลิก Define → Section Properties → Link/Support Properties → Add New Property กำหนดชื่อส่วนแข็งเกร็ง (Rigid Link) เชื่อมต่อระหว่างโครงสร้างสะพานและทิ่นโรงทางกับรางรถไฟ
กำหนดชื่อเป็น Rail_BR คลิก Modify/Show for All.. → กำหนดค่า Stiffness (U)
 $U1 = 7.2 \times 10^9$ $U2 = 7.2 \times 10^6$ ตั้งรูป 12.๙



รูปที่ 12.๙ กำหนดชื่อส่วนแข็งเกร็ง (Rigid Link) เชื่อมต่อระหว่างโครงสร้างสะพานและทิ่นโรงทาง กับรางรถไฟ

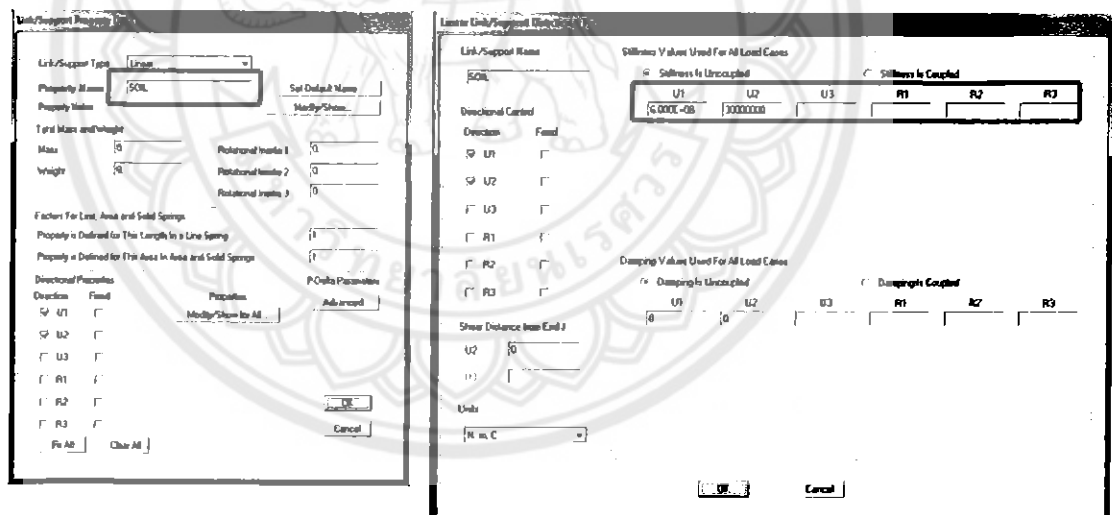
8.3 คลิก Define → Section Properties → Link/Support Properties → Add New Property กำหนดชื่อส่วนแข็งเกร็ง (Rigid Link) เชื่อมต่ออยู่ตรงรถไฟที่ปลายห้องส่องด้าน กับหนันดี RAIL และ RAILR คลิก Modify/Show for All.. → กำหนดค่า Stiffness (U)
 $U1 = 4.402 \times 10^8$





รูปที่ 13.ข กำหนดชิ้นส่วนแข็งเกร็ง (Rigid Link) เชื่อมต่ออยู่ด้วยทางกับโครงสร้าง

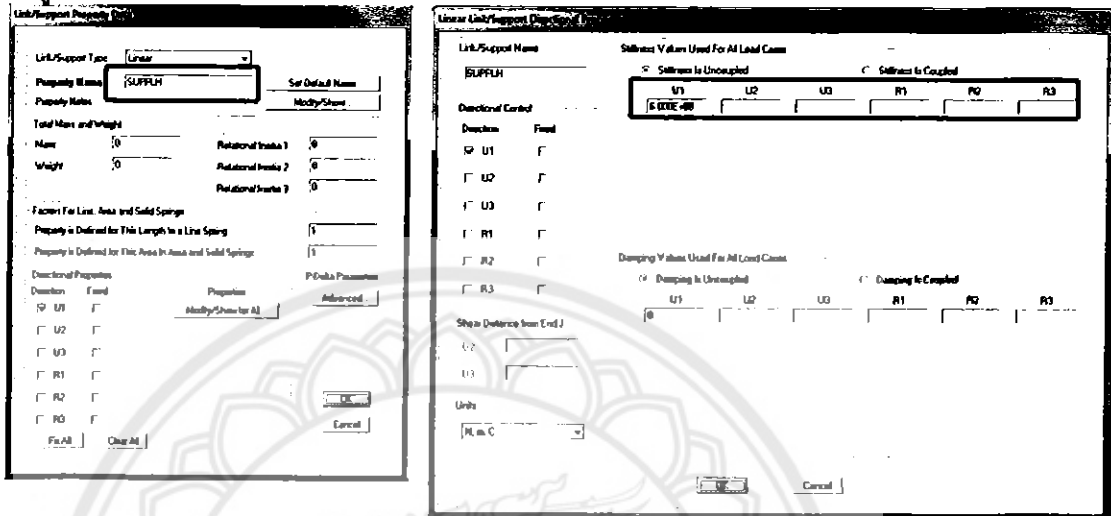
8.4 คลิก Define → Section Properties → Link/Support Properties → Add New Property กำหนดชิ้นส่วนแข็งเกร็ง (Rigid Link) เชื่อมต่อระหว่างทินโลหะกับกระดานไฟ กำหนดชื่อ SOIL คลิก Modify/Show for Alt.. → กำหนดค่า Stiffness (U) $U_1 = 6.0 \times 10^8$ $U_2 = 3.0 \times 10^7$ ดังรูป 14.ข



รูปที่ 14.ข กำหนดชิ้นส่วนแข็งเกร็ง (Rigid Link) เชื่อมต่อระหว่างทินโลหะกับกระดานไฟ

8.5 คลิก Define → Section Properties → Link/Support Properties → Add New Property กำหนด Rigid Link สำหรับเชื่อมต่อ Hinge Support ตามแนวอน
กำหนดชื่อ SUPPLH คลิก Modify/Show for All.. → กำหนดค่า Stiffness (U) U1= 6.0×10^8

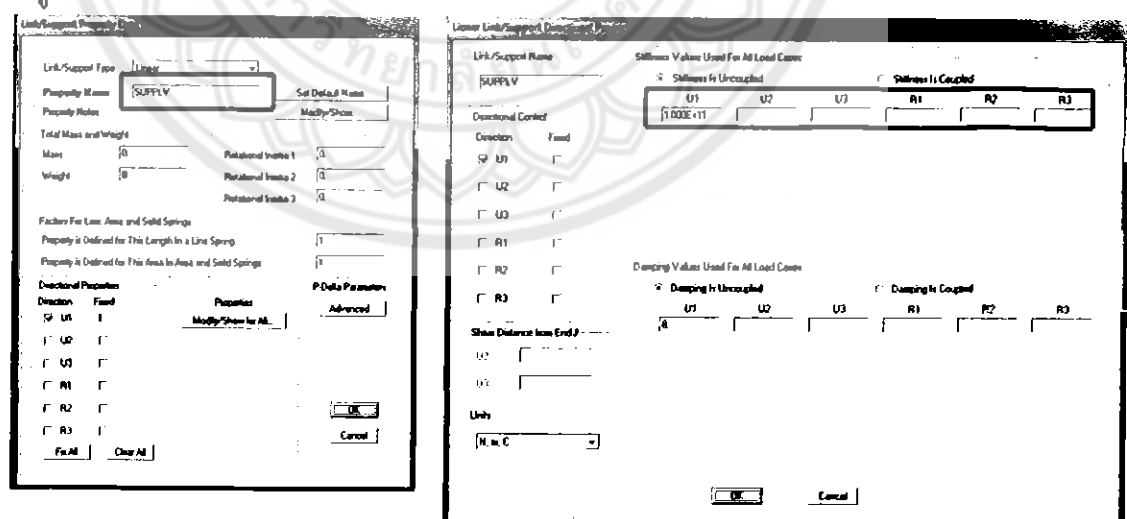
ดังรูป 15.๗



รูปที่ 15.๗ กำหนด Rigid Link สำหรับเชื่อมต่อ Hinge Support ตามแนวอน

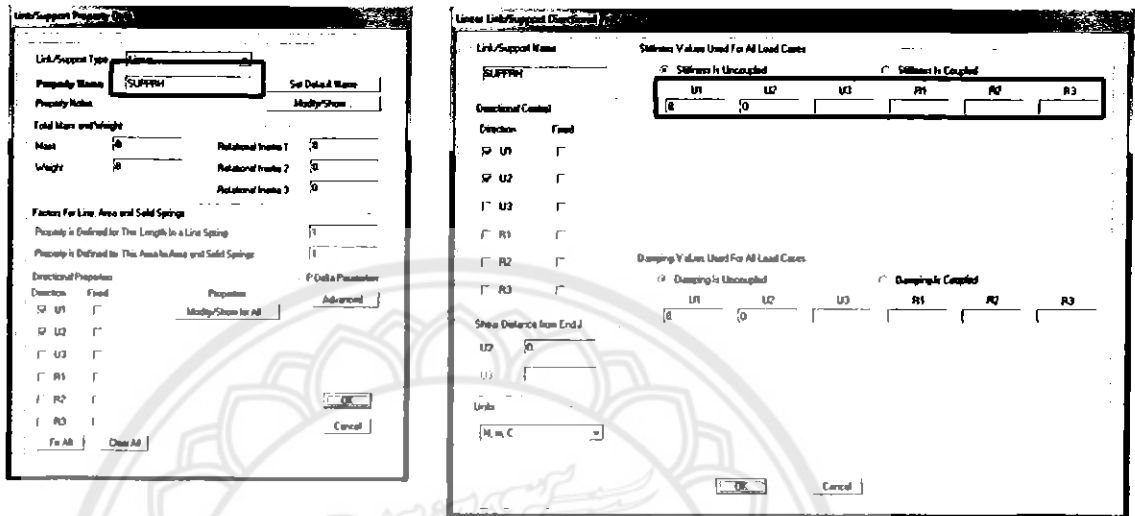
8.6 คลิก Define → Section Properties → Link/Support Properties → Add New Property กำหนด Rigid Link สำหรับเชื่อมต่อ Hinge Support ตามแนวตั้ง
กำหนดชื่อ SUPPLV คลิก Modify/Show for All.. → กำหนดค่า Stiffness (U) U1= 1.0×10^{11}

ดังรูป 16.๘



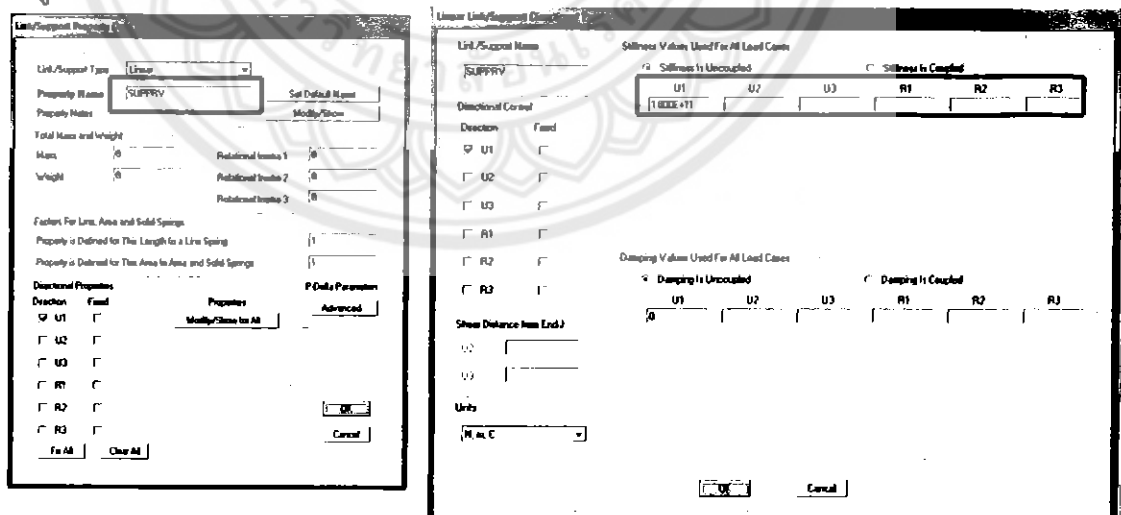
รูปที่ 16.๘ กำหนด Rigid Link สำหรับเชื่อมต่อ Hinge Support ตามแนวตั้ง

8.7 คลิก Define → Section Properties → Link/Support Properties → Add New Property กำหนด Rigid Link สำหรับเชื่อมต่อ Roller Support ตามแนวอน
กำหนดชื่อ SUPPRH คลิก Modify/Show for All.. → กำหนดค่า Stiffness (U) U1=0,U2=0
ดังรูป 17.๗



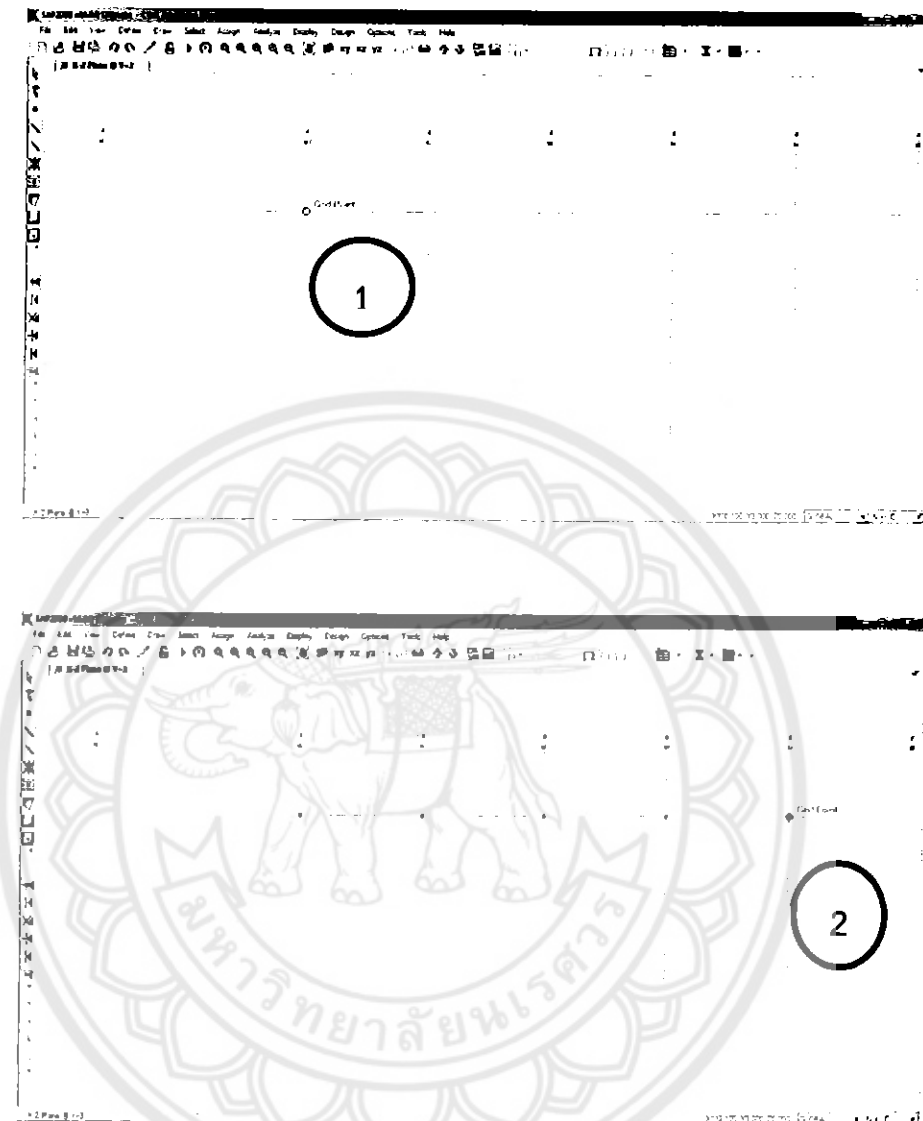
รูปที่ 17.๗ กำหนด Rigid Link สำหรับเชื่อมต่อ Roller Support ตามแนวอน

8.8 คลิก Define → Section Properties → Link/Support Properties → Add New Property กำหนด Rigid Link สำหรับเชื่อมต่อ Roller Support ตามแนวดิ่ง¹¹
กำหนดชื่อ SUPPRV คลิก Modify/Show for All.. → กำหนดค่า Stiffness (U) U1=1.0 × 10¹¹
ดังรูป 18.๘



รูปที่ 18.๘ กำหนด Rigid Link สำหรับเชื่อมต่อ Roller Support ตามแนวดิ่ง

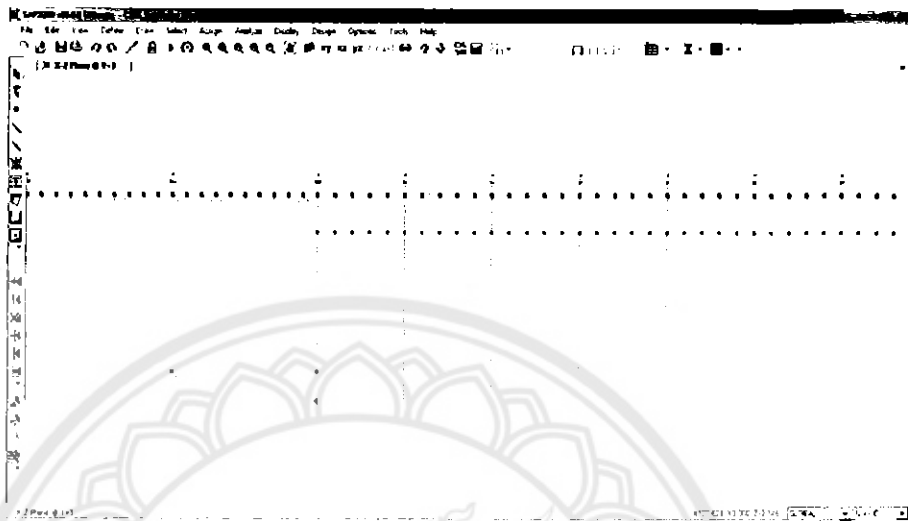
9.3 ลากเส้นทำแพนงที่เป็นโครงสร้างสะพานและร่างจากจุดเริ่มต้นไปยังจุดต่อไปดังรูป 20.๙



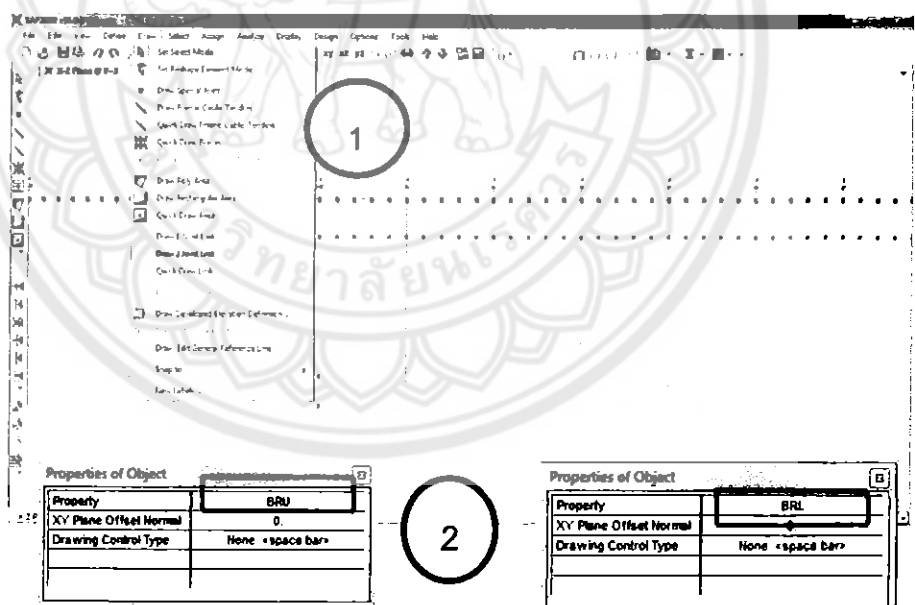
รูปที่ 20.๙ การลากเส้นทำแพนงที่เป็นโครงสร้างสะพานและร่างจากจุดเริ่มต้นไปยังจุดต่อไป

10. ลากเส้นแบบจำลองชิ้นส่วนแข็งเกร็ง (Rigid Link) หลังจากลากเส้นแบบจำลองสะพานและรังสีเรเจียบร้อย

10.1 ขยายหน้าจอไปเต็มหน้าที่ต้องการลากเส้นวัสดุลงใน Grid Line

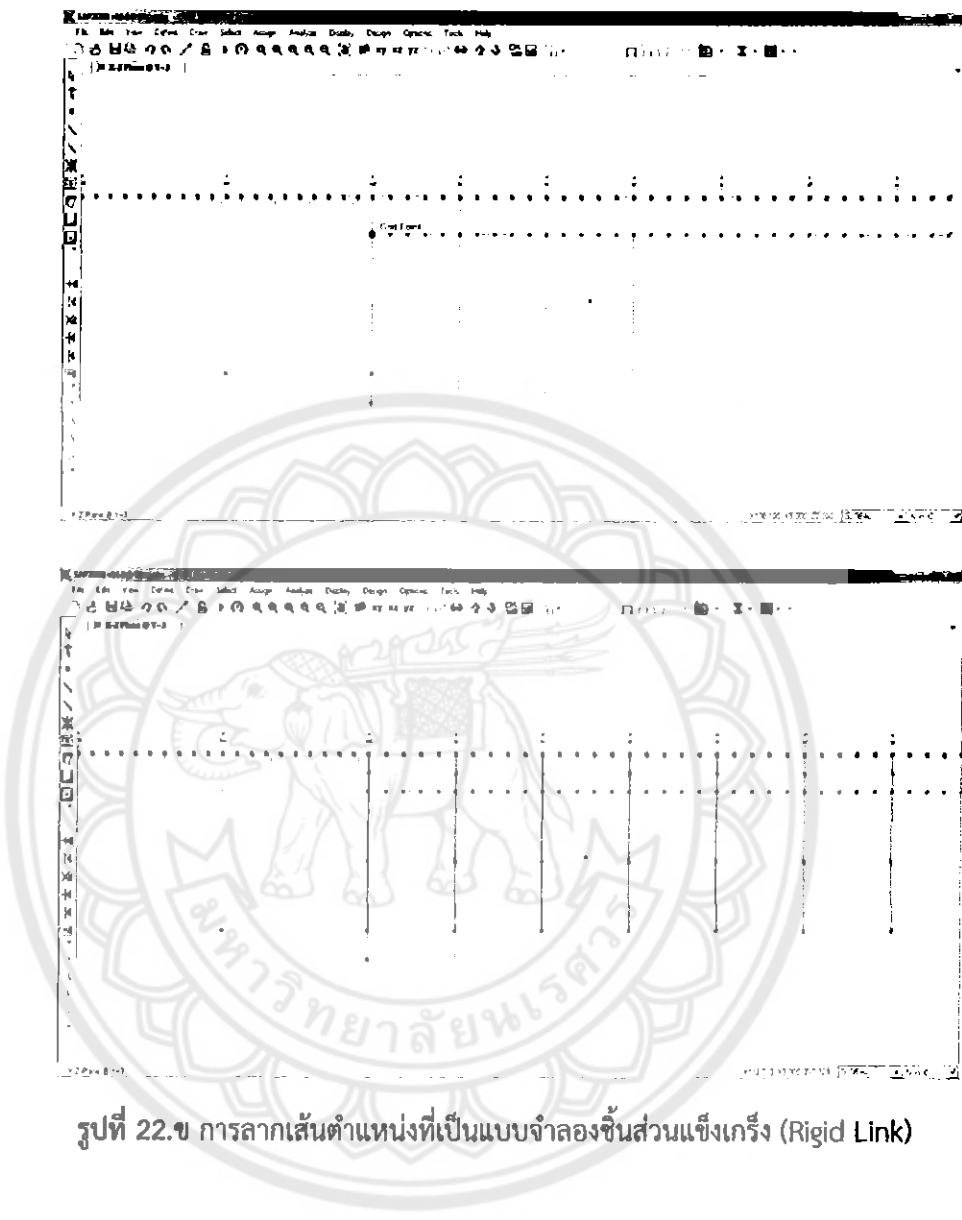


10.2 คลิก Draw → Draw 2 Joint Link → เลือก X Y Plane offset Normal เป็นค่าชิ้นส่วนแข็งเกร็ง (Rigid Link) ที่ต้องการ



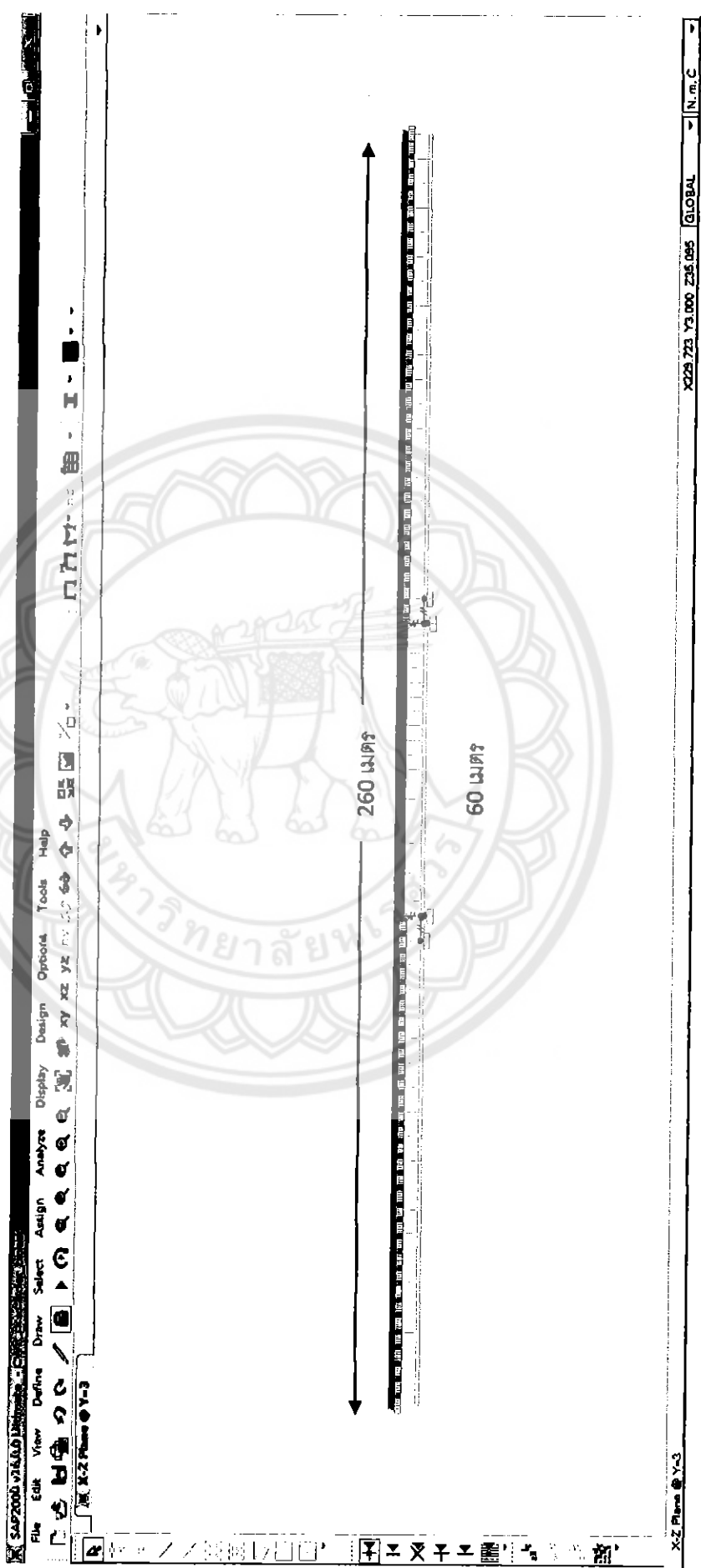
รูปที่ 21.๙ กำหนดรูปแบบชิ้นส่วนแข็งเกร็ง (Rigid Link) ที่ต้องการ

10.3 ลากเส้นทำแท่นงที่เป็นแบบจำลองขั้นส่วนแข็ง (Rigid Link) ดังรูป 22.๖

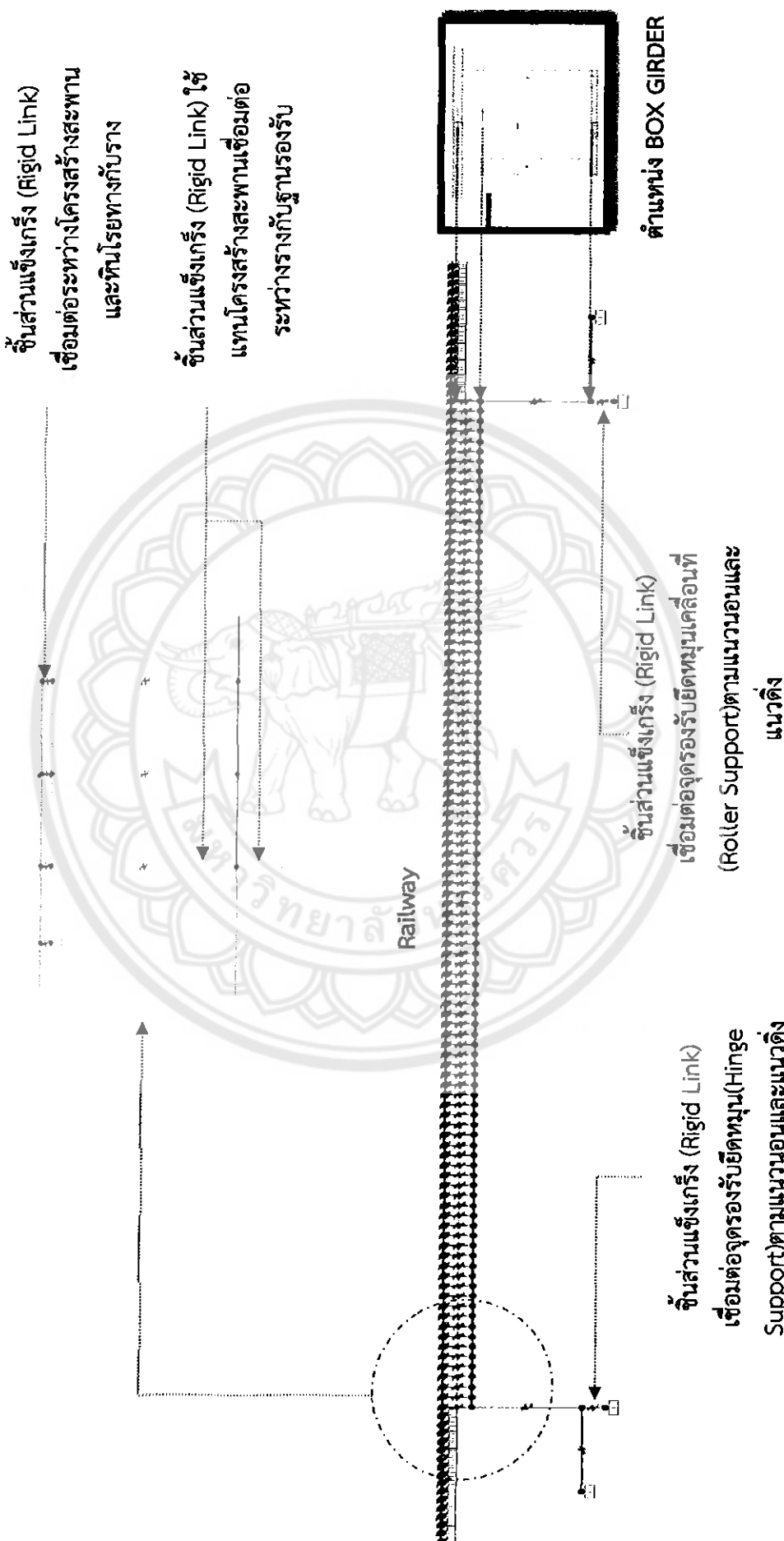


รูปที่ 22.๖ การลากเส้นทำแท่นงที่เป็นแบบจำลองขั้นส่วนแข็ง (Rigid Link)

11. ផ្នែកវាតិបច្ចុប្បន្នទូទៅរបស់ក្រសួងរៀងរាល់នៃក្រសួងពេទ្យនៃក្រសួងពេទ្យនៃក្រសួងពេទ្យ តម្លៃ 23.៤



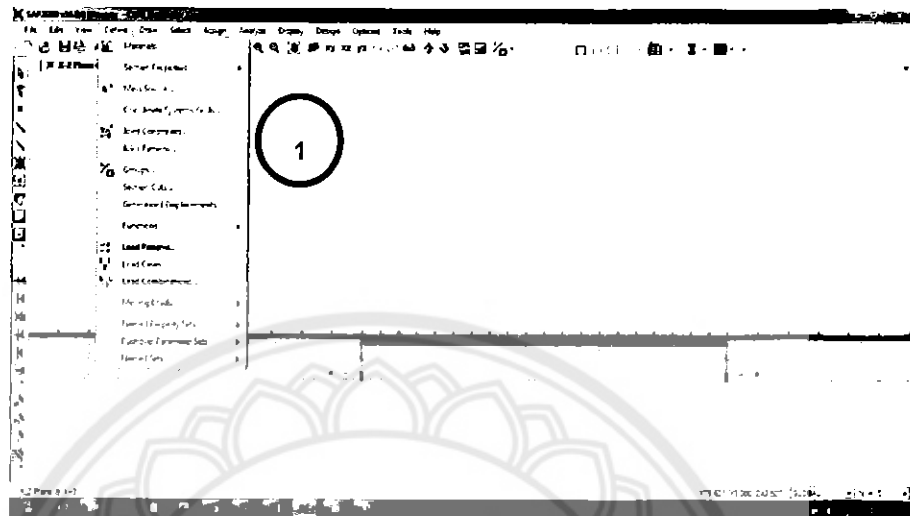
រូប៖ 23.៤ ផលិតការរូបរាងបំបាត់នៃក្រសួងពេទ្យនៃក្រសួងពេទ្យ ការរថយកនៃគ្រប់គ្រង (Rigged Link)



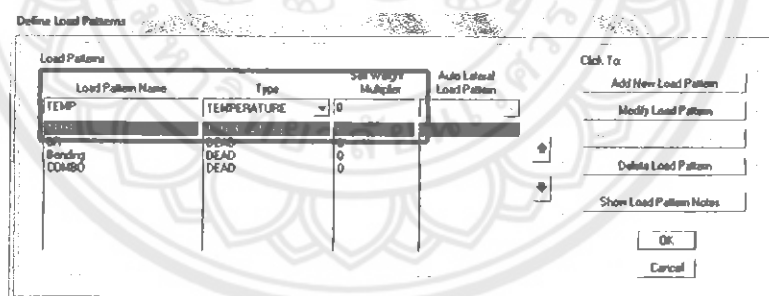
รูปที่ 24๔. แต่งแบบขยายสะพานความยาว 60 เมตร

12. การสร้างแบบจำลองอุณหภูมิ แรงเบรกและการแอนต์ตัวของสะพาน

12.1 คลิก Define → Load Pattern

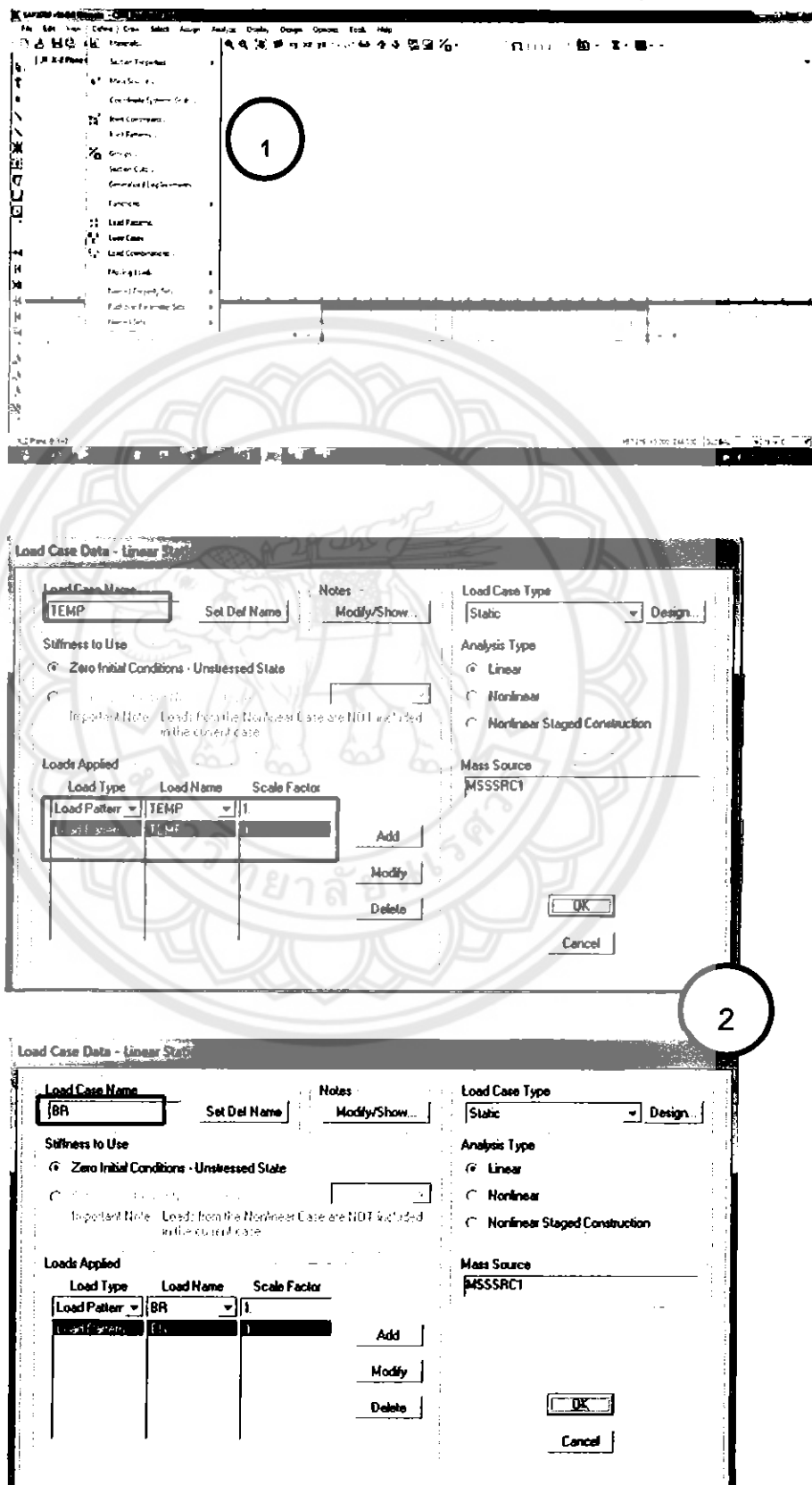


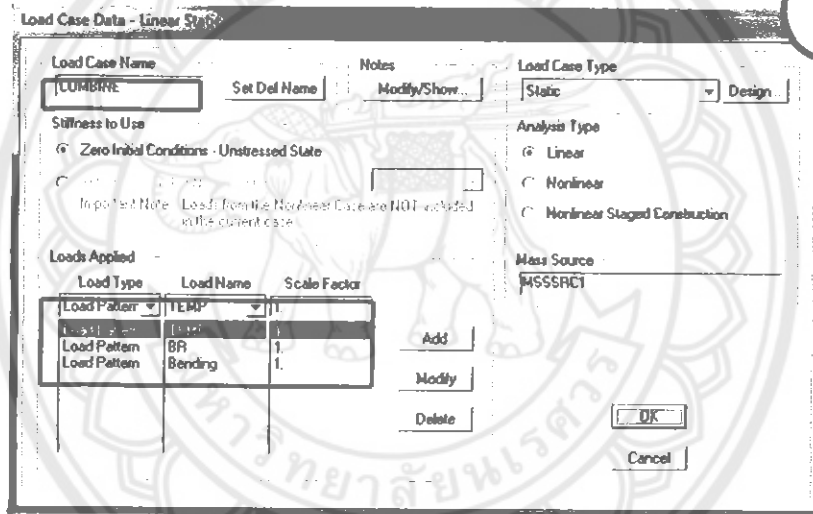
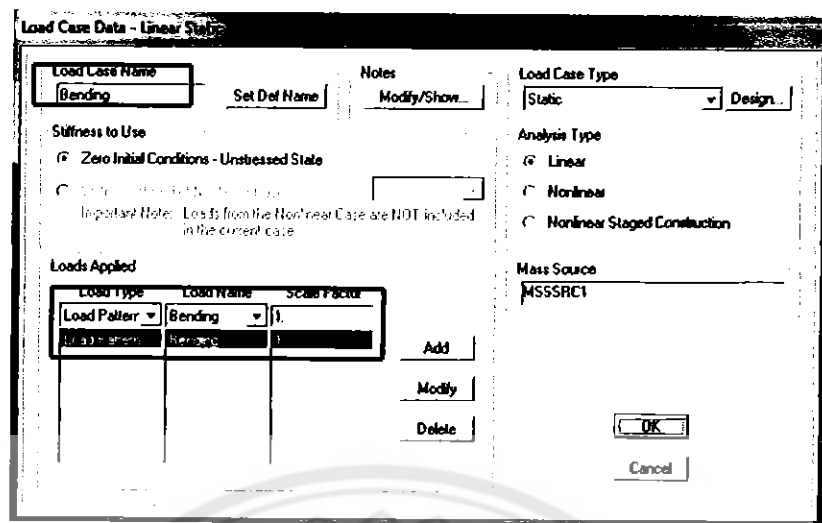
อุณหภูมิ ใช้ชื่อ TEMP เลือก Type เป็น TEMPERATURE
 แรงเบรก ใช้ชื่อ BR เลือก Type เป็น DEAD
 การแอนต์ตัว ใช้ชื่อ Bending เลือก Type เป็น DEAD
 ผลรวมจาก อุณหภูมิ แรงเบรก การแอนต์ตัว ใช้ชื่อ COMBO เลือก Type เป็น DEAD
 จากนั้น Add New Load Pattern



รูปที่ 25.๙ การสร้างแบบจำลองอุณหภูมิ แรงเบรกและการแอนต์ตัวของสะพาน

12.2 คลิก Define → Load Cases → Add New Load Cases จากนั้นตั้งค่า Load Case สำหรับ อุณหภูมิ แรงเบรก การແຍ່ນຕົວແລະຜລຽມທັງໝົດ ທີ່ຈຸປ່າ 26.໗

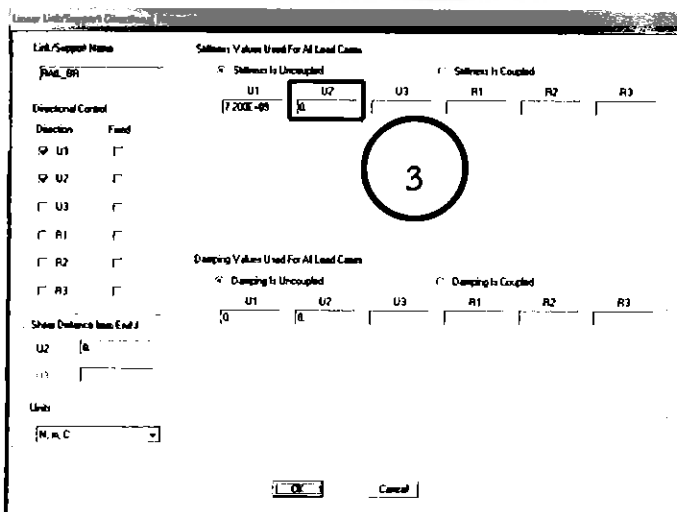
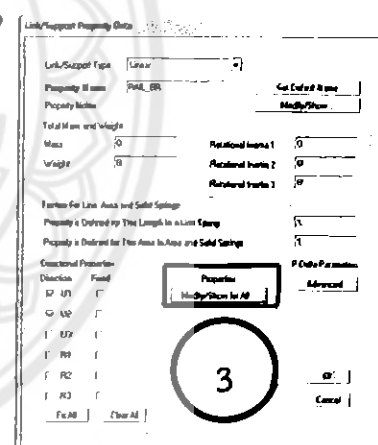
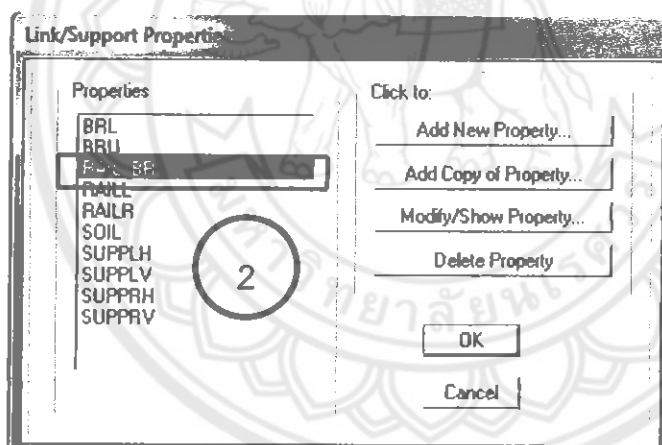
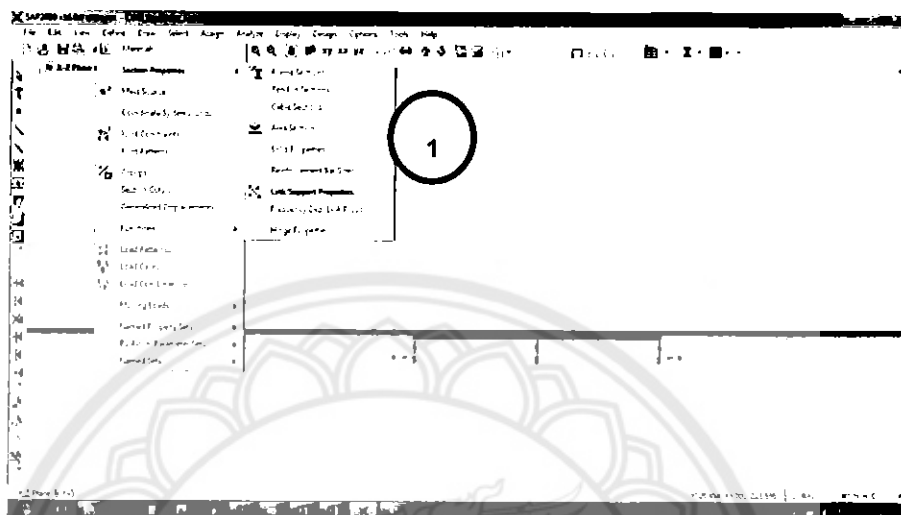




รูปที่ 26.๖ การตั้งค่า Load Case สำหรับ อุณหภูมิ แรงเบรก การแอ่นตัวและผลรวมทั้งหมด

13. กรณีที่ใช้วัสดุยึดคงที่ยอมให้เคลื่อนที่ตามแนวยาวได้ (Zero Longitudinal Restraint)

คลิก Define → Section Properties → Link/Support Properties → เลือก RAIL_BR → Modify/Show Property → Modify/Show for All → เปลี่ยนค่า Stiffness U2 เป็น 0 → OK



รูปที่ 27.๗ การเปลี่ยนรูปแบบ
วัสดุยึดคงแบบปกติเป็นวัสดุที่
ยอมให้เคลื่อนที่ได้ตามยาว
(ZLR)

ประวัติผู้ดำเนินโครงการ

1. ชื่อ : นายเชาวฤทธิ์ หาสินปี
ที่อยู่ : บ้านเลขที่ 289 หมู่ 5 ตำบลลอกบาท อําเภอชาญวารลักษบุรี จังหวัด
กำแพงเพชร
การศึกษา : จบชั้นมัธยมศึกษาตอนปลายจากโรงเรียน
: กำลังศึกษาอยู่ที่มหาวิทยาลัยนเรศวร คณะวิศวกรรมศาสตร์
สาขาวิศวกรรมโยธา ชั้นปีที่ 4
2. ชื่อ : นายณัฐวุฒิ สำราญใจ
ที่อยู่ : บ้านเลขที่ 104 หมู่ 2 ตำบลขาดิน อําเภอเก้าเลี้ยว จังหวัดนครสวรรค์
การศึกษา : จบชั้นมัธยมศึกษาตอนปลายจากโรงเรียนนวมินทรราชูทิศ มัธยม
: กำลังศึกษาอยู่ที่มหาวิทยาลัยนเรศวร คณะวิศวกรรมศาสตร์
สาขาวิศวกรรมโยธา ชั้นปีที่ 4
3. ชื่อ : นายสุรชาติ ลี้ทะฎุล
ที่อยู่ : บ้านเลขที่ 56 ตำบลชุมแสง อําเภอชุมแสง จังหวัดนครสวรรค์
การศึกษา : จบชั้นมัธยมศึกษาตอนปลายจากโรงเรียนชุมแสงชุมทิศ
: กำลังศึกษาอยู่ที่มหาวิทยาลัยนเรศวร คณะวิศวกรรมศาสตร์
สาขาวิศวกรรมโยธา ชั้นปีที่ 4
4. ชื่อ : นายปวิณ ตันสาระนันนิช
ที่อยู่ : 564/62 หมู่ 7 ตำบลหนองหลิง อําเภอเมือง จังหวัดนครสวรรค์
การศึกษา : จบชั้นมัธยมศึกษาตอนปลายจากโรงเรียนนวมินทรราชูทิศ มัธยม
: กำลังศึกษาอยู่ที่มหาวิทยาลัยนเรศวร คณะวิศวกรรมศาสตร์
สาขาวิศวกรรมโยธา ชั้นปีที่ 4